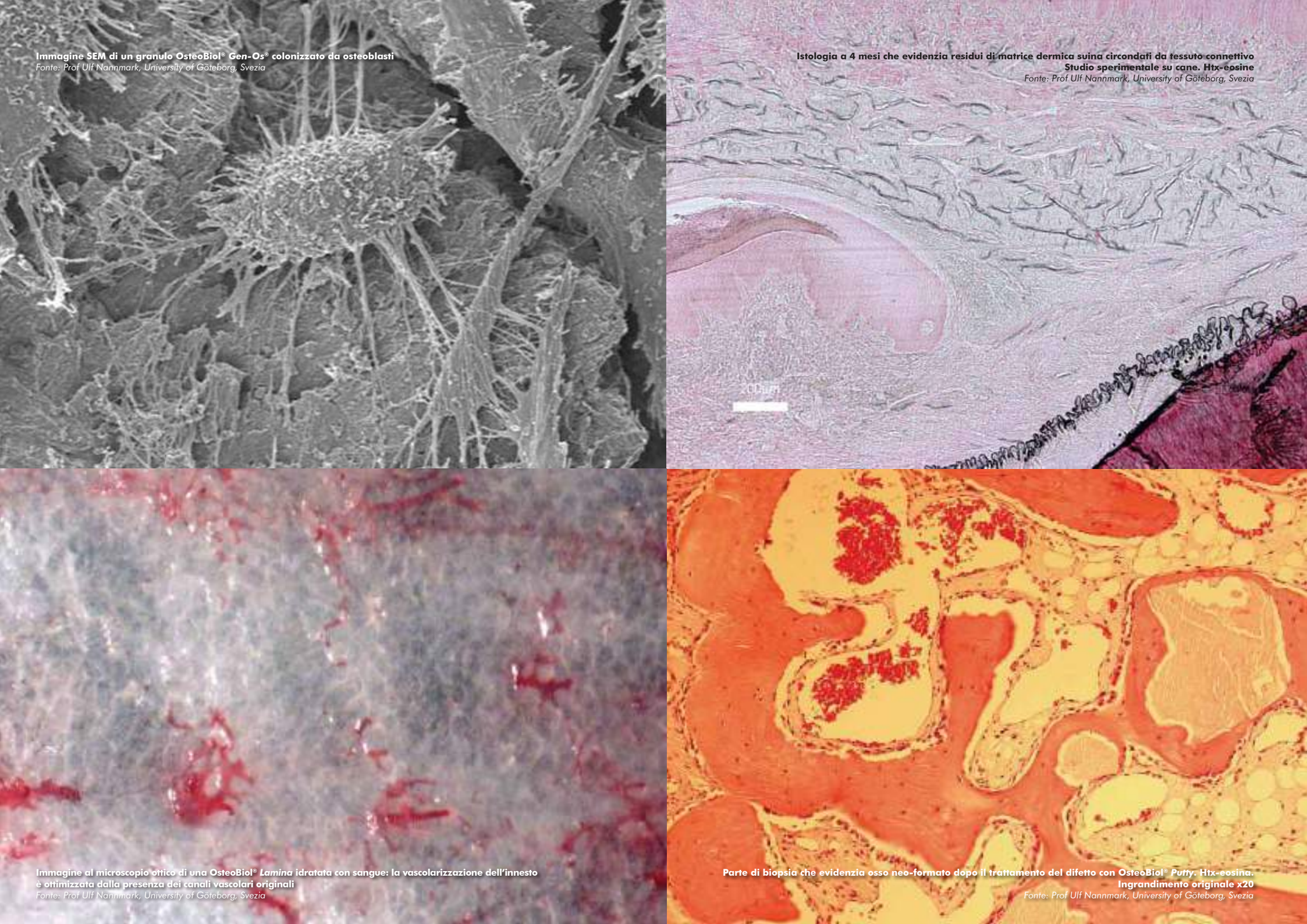


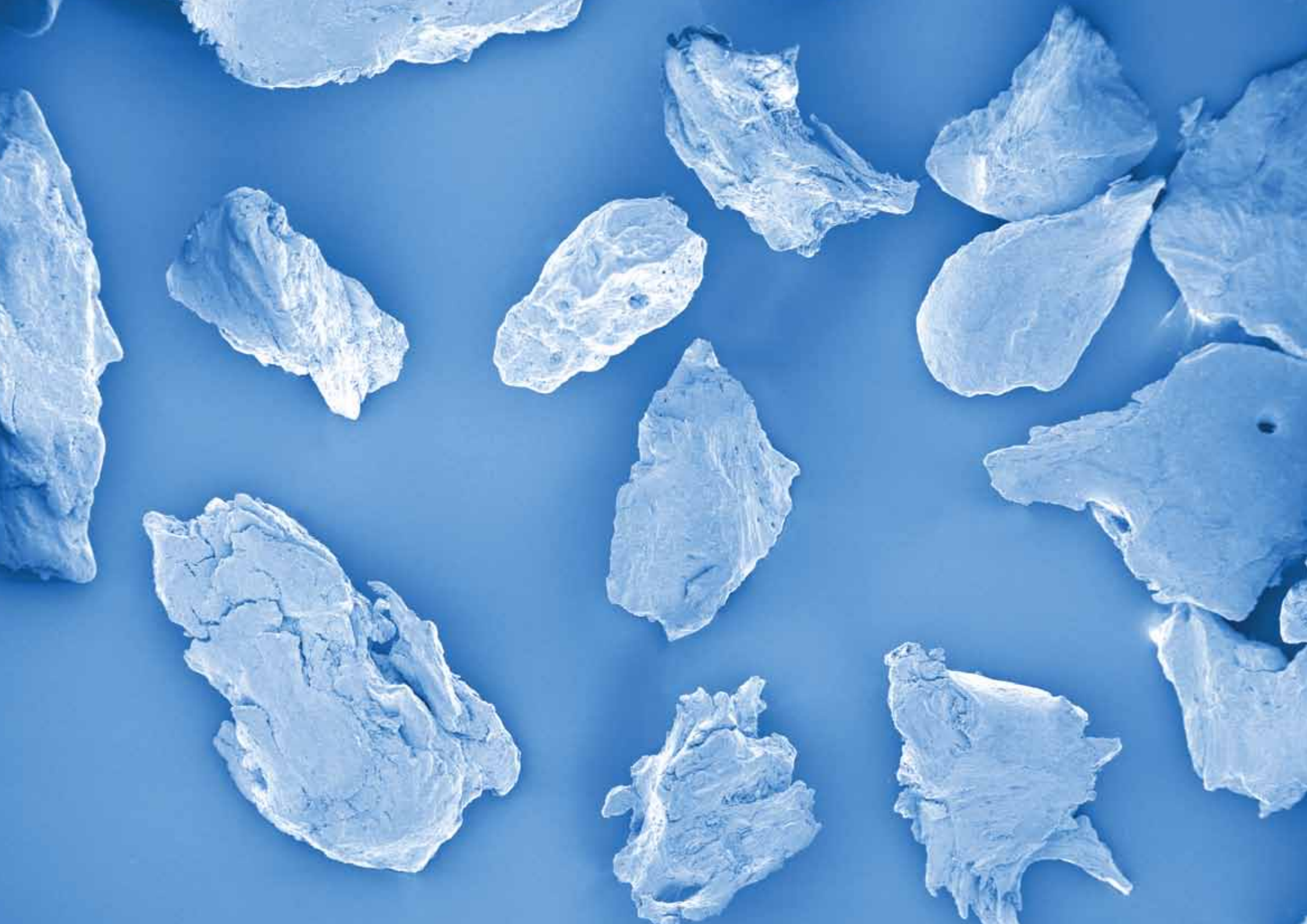
Bone Grafting Materials



LA NOSTRA MISSIONE

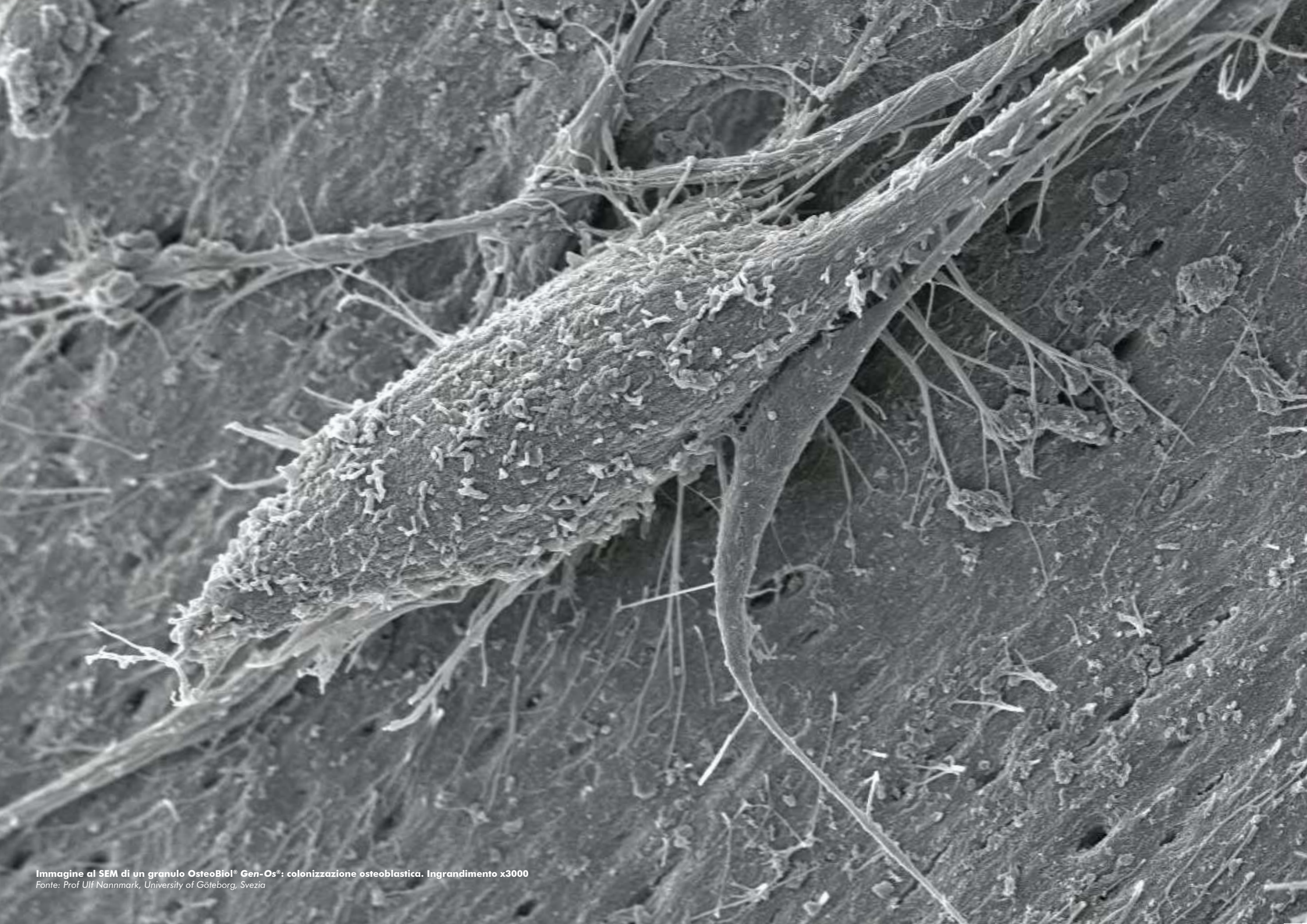
«Produrre un sostituto osseo eterologo il più simile possibile all'osso autologo»

Giuseppe Oliva MD R&D Director **Tecnoss S.r.I.**



LA MATRICE OSSEA ETEROLOGA DUAL-PHASE OSTEOBIOL®

OsteoBiol® è la famiglia di biomateriali prodotta da Tecnoss® per la chirurgia odontoiatrica e maxillo-facciale. In ogni granulo OsteoBiol®, oltre alla fase minerale, il processo Tecnoss® preserva anche la fase collagenica con tutte le sue preziose proprietà biologiche, rendendolo biocompatibile e ideale per innesti e procedure di rigenerazione ossea. Evitando elevate temperature di processo, la matrice ossea OsteoBiol® evita la ceramizzazione, mantenendo una composizione chimica estremamente simile all'osso autologo®, e pertanto gradualmente riassorbibile e sostituibile dall'osso neo-formato.



ECCELLENTE BIOCOMPATIBILITA'

La struttura chimica, la porosità ideale e il contenuto collagenico, rendono ogni granulo dual-phase OsteoBiol® uno scaffold/substrato eccellente per l'ancoraggio e la proliferazione degli osteoblasti deputati alla neo-formazione ossea⁽²⁾.

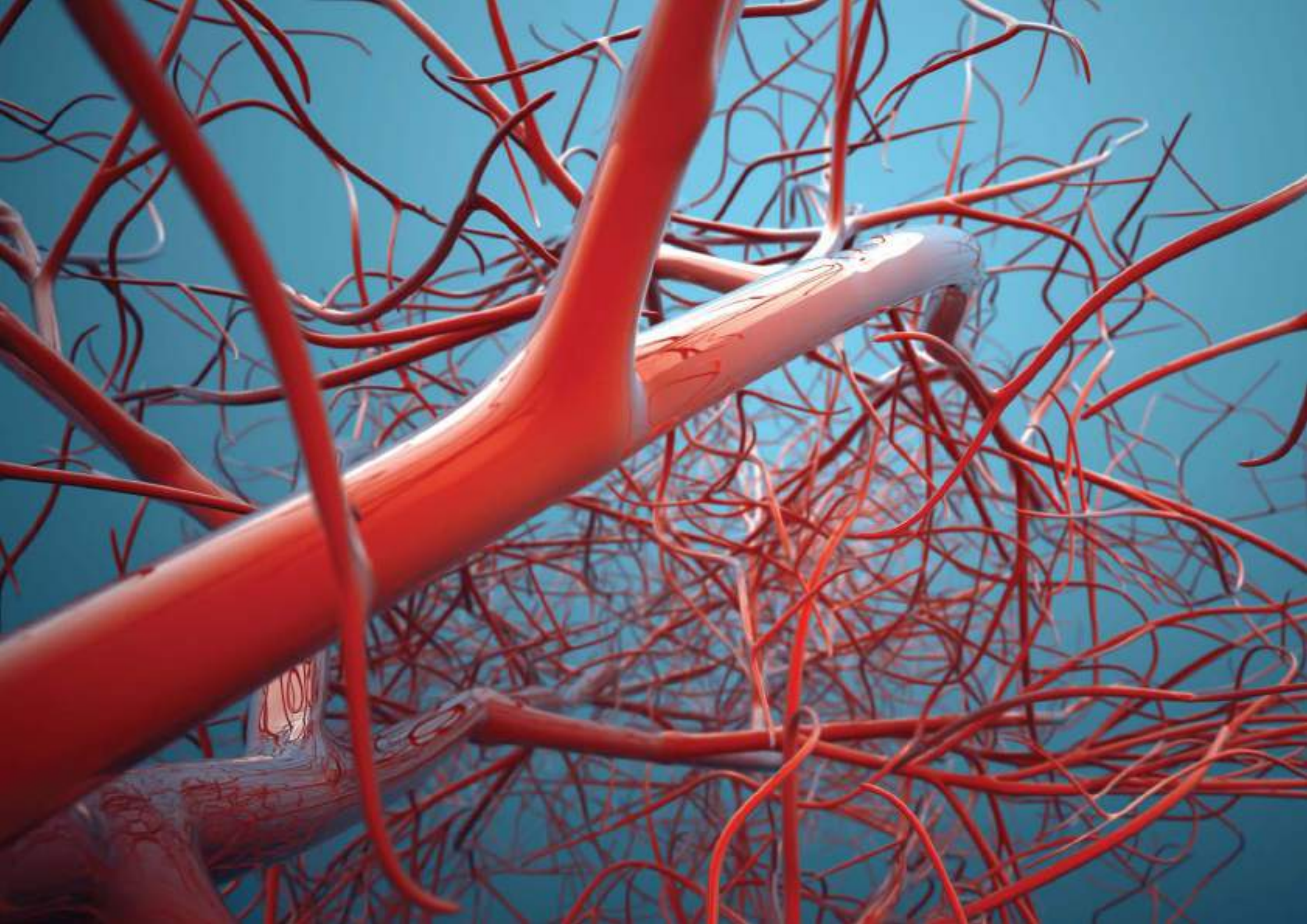


RIASSORBIMENTO GRADUALE

L'osso autologo viene gradualmente sostituito da osso neo-formato: analogamente, la matrice ossea OsteoBiol® permette un riassorbimento osteoclastico progressivo, con simultanea apposizione di nuovo osso.

Le cellule ricevono nutrienti dai vasi neo-formati, che riescono a colonizzare adeguatamente il sito di innesto.

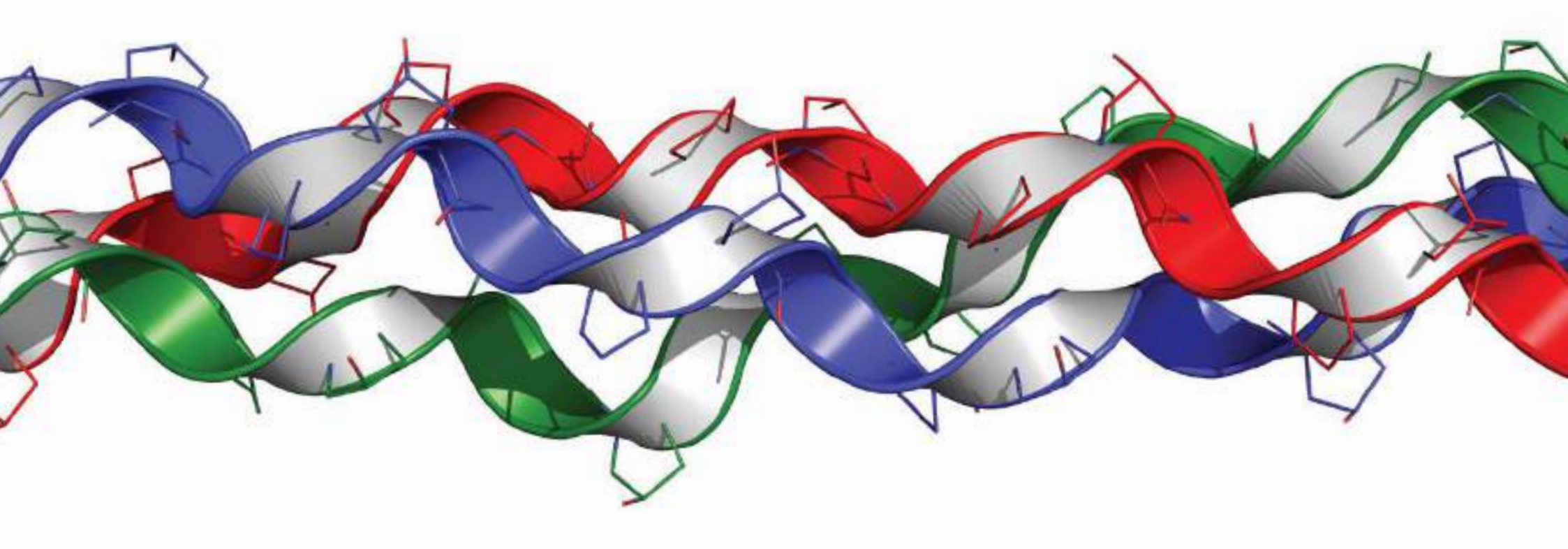
L'osso neo-formato cresce all'interno e attorno ai granuli⁽³⁾ OsteoBiol[®], che vengono parzialmente ma significativamente sostituiti da osso vitale al tempo del rientro.



LA VASCOLARIZZAZIONE E' LA CHIAVE DEL SUCCESSO CLINICO

I biomateriali Dual-Phase vengono progressivamente riassorbiti dagli osteoclasti e sostituiti da osso neo-formato vitale prodotto dagli osteoblasti, analogamente a quanto succede agli innesti di osso autologo. Entrambi i tipi di cellule vivono grazie all'apporto ematico, che è critico ed essenziale per il successo di qualsiasi procedura di rigenerazione ossea.

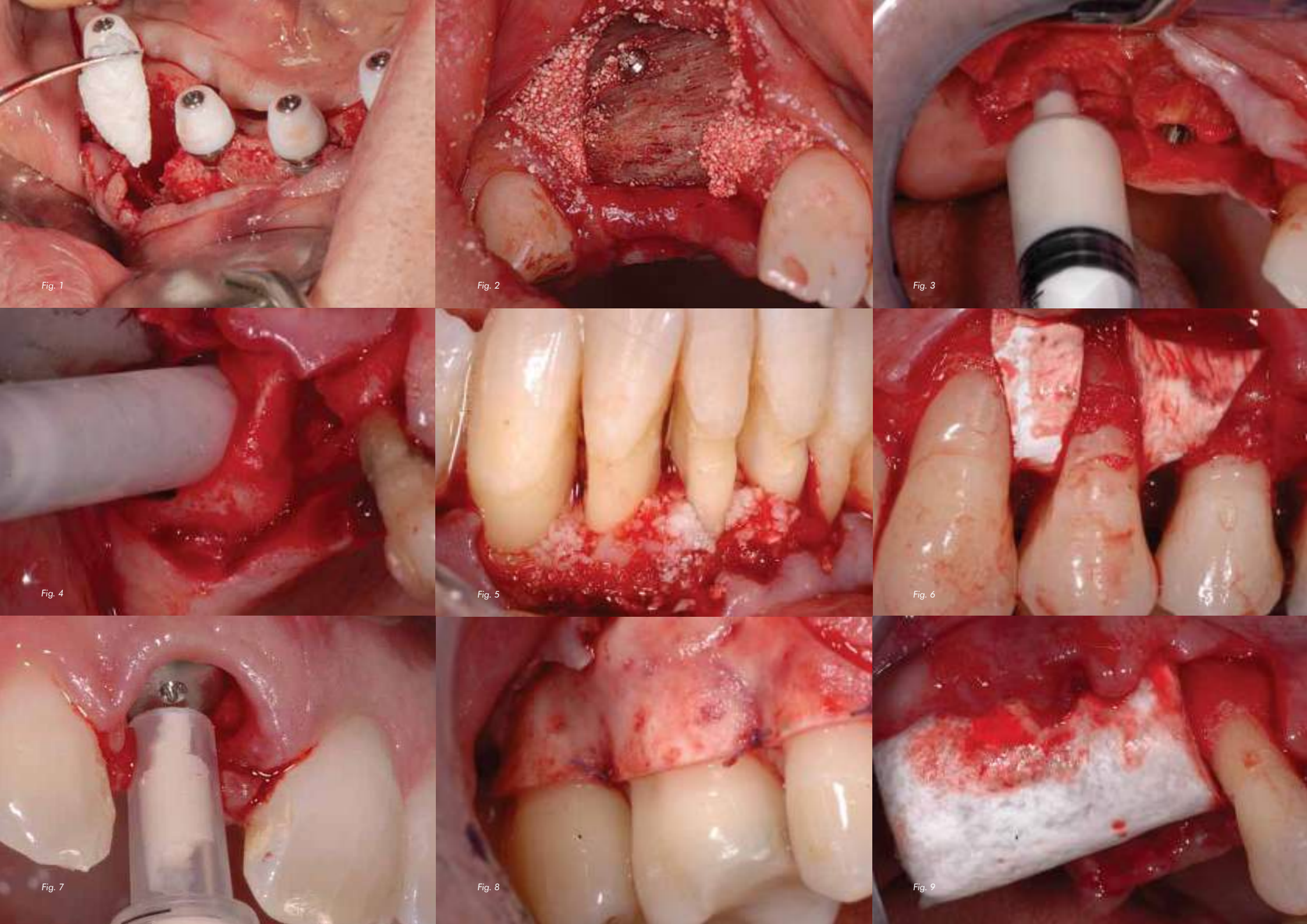
Il riassorbimento progressivo dei granuli OsteoBiol® permette una adeguata colonizzazione del sito di innesto da parte dei vasi neo-formati, ed è pertanto un fattore biologico significativo e positivo del processo rigenerativo⁴.



IL RUOLO DEL COLLAGENE

Il collagene attrae le cellule mesenchimali staminali favorendone la differenziazione e aumenta il tasso di proliferazione degli osteoblasti^(5,6): è considerato il substrato ideale per le cellule deputate alla formazione ossea. I sostituti ossei granulari Dual-Phase OsteoBiol® contengono circa il 22% di collagene.

Inoltre, il gel collagene miscelato con i granuli collagenati Dual-Phase e il confezionamento in siringa migliorano notevolmente la maneggevolezza e la stabilità dell'innesto, riducendo nel contempo il tempo operatorio e il rischio di contaminazione.



UN PRODOTTO SPECIFICO PER OGNI INDICAZIONE CLINICA

OsteoBiol® non è solo una meravigliosa matrice ossea collagenata: è una famiglia completa di biomateriali specificamente sviluppata per la rigenerazione ossea e dei tessuti molli in odontoiatria. Per ogni indicazione clinica è stato sviluppato un prodotto dedicato, con l'obiettivo di offrire al chirurgo la migliore maneggevolezza, la granulometria e consistenza ideale, e infine risultati rigenerativi ottimali in tempi di rientro adeguati.

Affidatevi a una delle gamme di xenoinnesti più ampie e complete al mondo, con la sicurezza e il supporto di 15 anni di ricerca clinica: potrete finalmente apprezzare nella vostra pratica quotidiana che oggi è finalmente possibile ottenere un successo clinico predicibile⁷⁷ e riproducibile anche senza incorrere nelle limitazioni quantitative e biologiche dell'osso autologo.

OsteoBiol® e l'osso umano hanno la stessa densità e proprietà fisico-chimiche molto simili

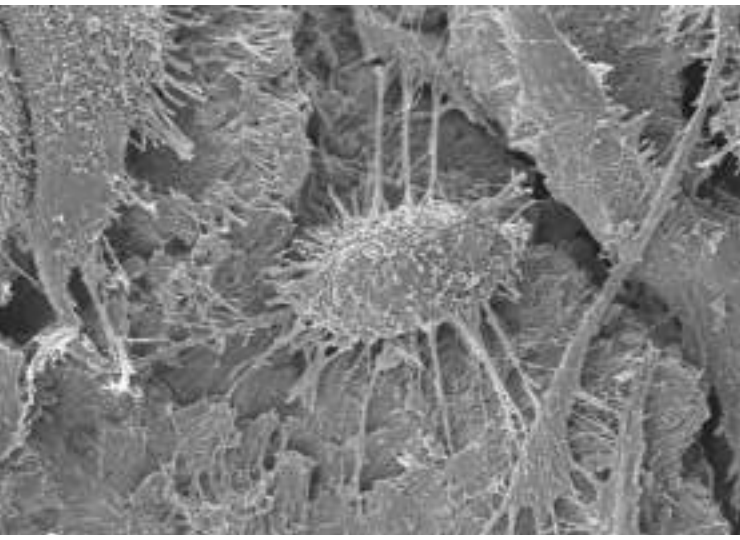
Figueiredo et al. J Biomed Mater Res B: Appl Biomater, 2010 Feb; 92(2):409-19



Figueiredo et al. J Biomed Mater Res B: Appl Biomater, 2010 Feb; 92(2):409-19

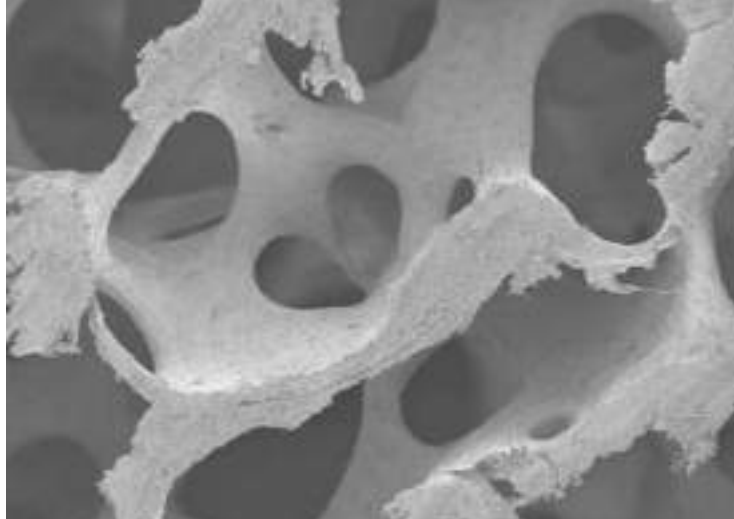
Gen-Os® ha un potenziale angiogenico superiore rispetto ai sostituti ossei inorganici

Rombouts et al. Dent mater J, 2016 Dec 1;35(6):900-907



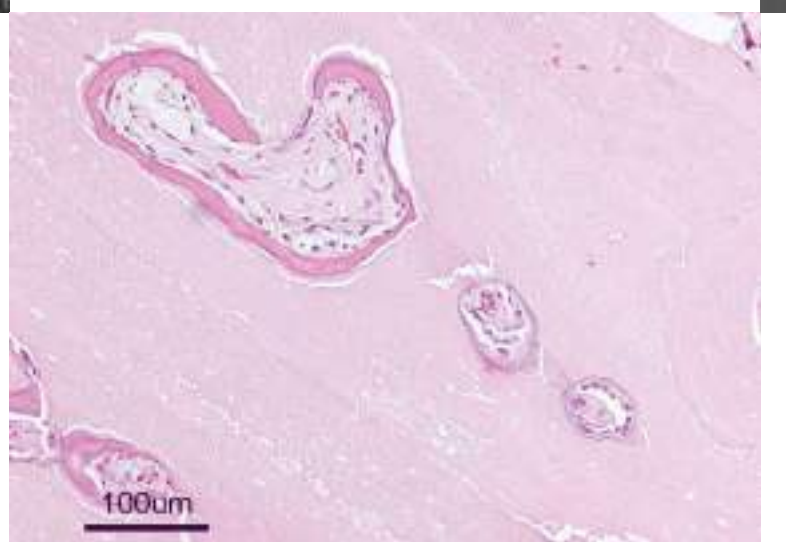
Nella ridge preservation i biomateriali collagenati evidenziano minore riduzione di volume e di superficie basale rispetto agli innesti eterologhi a lento riassorbimento

Barone et al. Clin Oral Implants Res, 2016 Nov;27(11):E105-E115



La matrice ossea **OsteoBiol**® promuove la differenziazione degli osteoblasti e la rigenerazione ossea

Brunelli et al. Eur J Inflamm, 2011, Vol. 9, no. 3 (S), 103-107



Gli scaffold ossei **OsteoBiol**® assorbono i fattori di crescita secreti dalle cellule MSC e migliorano la riparazione tissutale ossea

Mijiritsky et al. Materials, 2017 Sep 8;10(9)

PRINCIPALI DATI SCIENTIFICI

Oltre 200 articoli sono stati pubblicati su riviste scientifiche internazionali durante gli ultimi 15 anni, dimostrando con studi in-vitro, sperimentali e clinici le straordinarie proprietà biologiche e performance cliniche dei biomateriali collagenati OsteoBiol®.



PRIMA DI TUTTO I PAZIENTI

La chiave del successo clinico è la combinazione delle migliori conoscenze chirurgiche con i migliori materiali, entro i limiti e le direttive forniti dall'evidenza scientifica: tuttavia non dobbiamo mai dimenticare che i pazienti sono e saranno sempre il centro di tutte le nostre attenzioni.

Realizzare le loro aspettative, aiutarli a recuperare funzione ed estetica con successi riabilitativi a lungo termine^(8,9) può e deve essere la massima ambizione di ogni chirurgo oltre ché il compimento della nostra missione aziendale.

Evidenza clinica* dei prodotti OsteoBiol®

Gen-Os®

Mix di osso cortico-spongioso suino collagenato Granulometria 250-1000 μm Per informazioni su OsteoBiol® Gen-Os® vedere pag 24

mp3®

Mix di osso cortico-spongioso suino collagenato pre-idratato Granulometria 600-1000 µm Per informazioni su OsteoBiol® mp3® vedere pag 32

GTO[®]

Mix di osso cortico-spongioso suino collagenato pre-idratato Granulometria 600-1000 µm Per informazioni su OsteoBiol® GTO® vedere pag 36

Putty

collagenato pre-idratato Granulometria ≤ 300 µm Per informazioni su OsteoBiol® Putty vedere pag 40

Gel 40

Pasta di osso cortico-spongioso suino Gel di osso cortico-spongioso suino collagenato pre-idratato Granulometria ≤ 300 µm Per informazioni su OsteoBiol® Gel 40 vedere pag 44

RIGENERAZIONE **ALVEOLARE**











SINUS LIFT









DIFETTI **PERI-IMPLANTARI**









RIGENERAZIONE **ORIZZONTALE**









RIGENERAZIONE **VERTICALE**

INLAY TECHNIQUE







DIFETTI A 3 PARETI



SOFT TISSUE AUGMENTATION

^{*} Basata sulla letteratura scientifica pubblicata e sulla esperienza clinica di chirurghi esperti.

Apatos

Osso suino cortico-spongioso e corticale Granulometria 600-1000 μ m Per informazioni su OsteoBiol® Apatos vedere pag 48

Sp-Block

Blocco spongioso collagenato equino Per informazioni su OsteoBiol® Sp-Block vedere pag 54

Evolution

Membrana eterologa in collagene Per informazioni su OsteoBiol* Evolution vedere pag 62

Lamina

Osso corticale suino collagenato Per informazioni su OsteoBiol* Lamina vedere pag 70

Derma

Matrice collagenata di derma suino Per informazioni su OsteoBio!* Derma vedere pag 66





































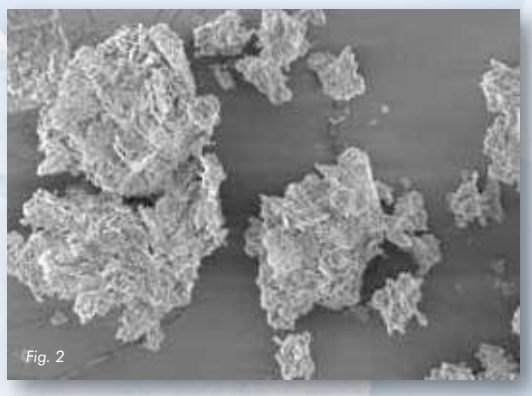




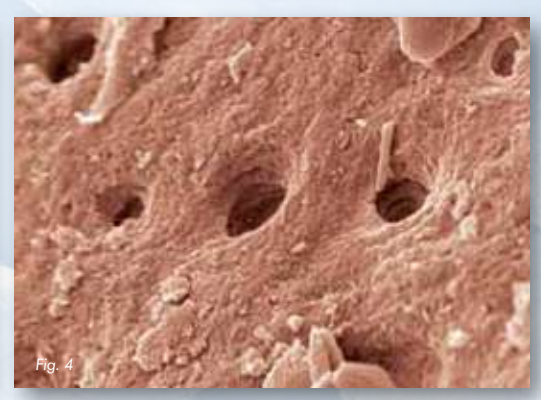


SOSTITUTI OSSEI













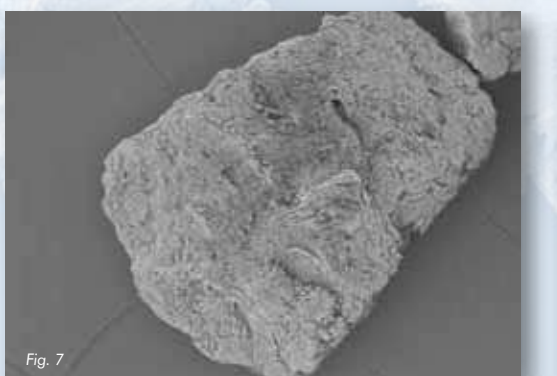


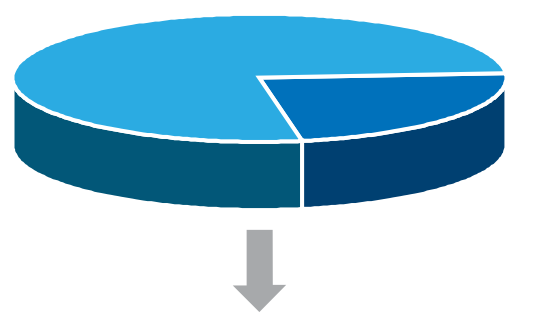


Fig. 1,6,8 Fonte: Tecnoss® Dental Media Library | Fig. 2,4,7 Autore: Prof Ulf Nannmark, University of Göteborg, Svezia | Fig. 3,5 Fonte: Nobil Bio Ricerche, Villafranca d'Asti, Italia

Sostituti ossei OsteoBiol® Dual-Phase

MATRICE OSSEA ETEROLOGA

Componente inorganica (fase minerale)



Componente organica (fase collagenica)

Matrice collagenata cortico-spongiosa TSV Gel Gel collagene Osso corticale Gen-Os® GTO® Mp3® Putty Gel 40 Apatos Mix

100% mix di osso collagenato

~80% granulato mix ~20% TSV Gel

~90% granulato mix ~10% gel collagene

~80% granulato mix ~20% gel collagene

~60% granulato mix ~40% gel collagene

mix cortico-spongioso



Mix di osso suino cortico-spongioso collagenato Per informazioni su OsteoBiol® Gen-Os®



Mix di osso suino cortico-spongioso collagenato pre-idratato Per informazioni su OsteoBiol® GTO

vedere pag 36



Mix di osso suino cortico-spongioso collagenato pre-idratato Per informazioni su OsteoBiol® mp3



Pasta di osso suino cortico-spongioso collagenato pre-idratato Per informazioni su OsteoBiol® Putty

vedere pag 40



Gel di osso suino cortico-spongioso collagenato pre-idratato Per informazioni su OsteoBiol® Gel 4 vedere pag 44



Idrossiapatite
eterologa
nanocristallina
Per informazioni su OsteoBiol® Apate
vedere pag 48



Gen-Os®





I vantaggi di un biomateriale Dual-Phase

Mix di osso suino cortico-spongioso collagenato



Tessuto di origine

Mix di osso cortico spongioso suino collagenato

Collagene tissutale

Preservato

Forma fisica

Granuli leggermente radiopachi

Composizione

100% granulato mix

Granulometria

250-1000 μm

Tempi di rientro

4/5 mesi, a seconda delle caratteristiche del sito di innesto

Packaging

Flaconi da: 0.25 g, 0.5 g, 1.0 g, 2.0 g

Codici prodotto

TOFOF	-	E1	1005	
IGE25	- 1	Flacone	0.25 g	Suino
TGE05	1	Flacone	0.5 a	Suino
IGEIO	- 1	Flacone	1.0 g	Suino
TGF20	1	Flacone	2.0 a	Suino

GMDN code CND code 46425 P900402

Caratteristiche ed uso

CARATTERISTICHE

Naturale replica dell'osso autologo, Gen-Os® ne conserva le medesime strutture intime⁽¹⁾ (matrice, porosità) ed è caratterizzato da una elevata osteoconduttività^(2,3). E' biocompatibile e biodisponibile, come dimostrato dai test svolti secondo la metodica ISO 10993 effettuati presso Eurofins Biolab. Gradualmente riassorbibile, svolge azione di supporto alla neoformazione ossea contribuendo a preservare la forma e il volume originario dell'innesto⁽⁴⁾. Inoltre. grazie contenuto di collagene, il prodotto agevola la formazione del coagulo ematico e la successiva invasione delle cellule riparatrici e rigenerative, favorendo la completa "restitutio ad integrum" del deficit osseo. Dotato di marcata "idrofilia"(5) può fungere da carrier di medicamenti e farmaci specifici⁽⁶⁾ ed è ideale da miscelare con i fattori di crescita⁽⁷⁾.

UTILIZZO

Gen-Os® deve essere sempre pre-idratato tramite una energica miscelazione con alcune gocce di soluzione fisiologica sterile (oppure con il sangue del paziente) per permettere l'attivazione della matrice collagenica e per migliorarne l'adesività; può inoltre essere miscelato con TSV Gel per incrementare la stabilità dell'innesto nei difetti non contenitivi. Se necessario può essere infine miscelato con il farmaco prescelto per il tipo di intervento.



Immagine SEM di granuli OsteoBiol® Gen-Os®. Ingrandimento x50 Autore: Prof Ulf Nannmark, University of Göteborg, Svezia



Fonte: Tecnoss® Dental Media Library

Informazioni cliniche

video animazioni gratuite sulla APP OsteoBiol®



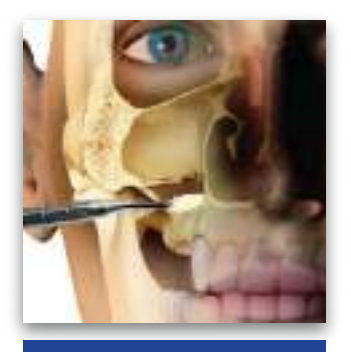


Gen-Os®, una miscela di cortico-spongioso, è stato il primo prodotto sviluppato con la biotecnologia innovativa Tecnoss®. Gen-Os® è stato utilizzato e documentato con successo per la preservazione della cresta alveolare⁽⁸⁾ in combinazione con le membrane Evolution: l'applicazione di questo biomateriale limita in modo significativo la riduzione dell'ampiezza della cresta alveolare che si verifica in natura durante la guarigione spontanea, preservando così il volume della cresta alveolare e permettendo il corretto posizionamento di un impianto nella seconda fase chirurgica⁽⁹⁾. Gen-Os[®] è stato utilizzato anche per il rialzo di seno con accesso laterale⁽³⁾ e la rigenerazione di deiscenze⁽¹⁰⁾, sempre in associazione con le membrane Evolution.

L'efficacia di Gen-Os® è stata documentata anche nella rigenerazione parodontale di difetti infraossei profondi⁽¹¹⁾. Grazie al suo contenuto di collagene, una volta reidratato Gen-Os® diventa molto appiccicoso e idrofilo⁽⁵⁾: si combina quindi estremamente bene con il sangue e risulta molto stabile una volta applicato nel sito d'innesto.

La composizione cortico-spongiosa permette un riassorbimento progressivo di tipo osteoclastico, con in parallelo un tasso molto simile di neo-formazione ossea⁽²⁾: queste proprietà uniche permettono di ottenere una ottima preservazione del volume innestato, un osso neo-formato sano e ben vascolarizzato e infine, il successo nella riabilitazione implantare.

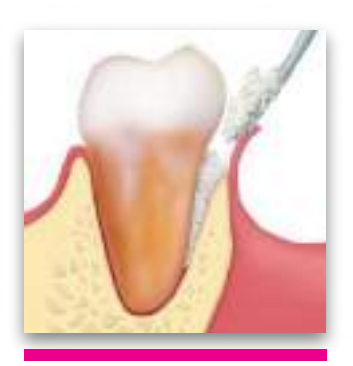
Gen-Os® è infatti in grado di stimolare significativamente la vascolarizzazione: test in vitro⁽¹²⁾ hanno dimostrato un incremento nella secrezione di VEGF da parte delle cellule del legamento parodontale (PDL) in presenza di Gen-Os®.



RIALZO DI SENO MASCELLARE grande rialzo di seno mascellare



DEISCENZE E FENESTRAZIONI



RIGENERAZIONE PARODONTALE difetti infraossei



RIALZO DI SENO CON ACCESSO CRESTALE mini rialzo di seno mascellare



RIGENERAZIONE ORIZZONTALE difetti a due pareti



RIGENERAZIONE ALVEOLARE alveoli post-estrattivi



BIBLIOGRAFIA

(1) FIGUEIREDO M, HENRIQUES J, MARTINS G, GUERRA F, JUDAS F,

PHYSICOCHEMICAL CHARACTERIZATION OF BIOMATERIALS COMMONLY USED IN DENTISTRY AS BONE SUBSTITUTES -COMPARISON WITH HUMAN BONE

J BIOMED MATER RES B APPL BIOMATER, 2010 FEB: 92(2):409-19

(2) NANNMARK U, SENNERBY L

THE BONE TISSUE RESPONSES TO PREHYDRATED AND COLLAGENATED CORTICO-CANCELLOUS PORCINE BONE **GRAFTS: A STUDY IN RABBIT MAXILLARY DEFECTS**

CLIN IMPLANT DENT RELAT RES, 2008 DEC;10(4):264-70

(3) CASSETTA M, PERROTTI V, CALASSO S, PIATTELLI A, SINJARI B, IEZZI G BONE FORMATION IN SINUS AUGMENTATION PROCEDURES USING AUTOLOGOUS BONE, PORCINE BONE, AND A 50:50 MIXTURE: A HUMAN CLINICAL AND HISTOLOGICAL **EVALUATION AT 2 MONTHS**

CLIN ORAL IMPLANTS RES, 2015 OCT;26(10):1180-4

(4) CARDAROPOLI D. CARDAROPOLI G

PRESERVATION OF THE POSTEXTRACTION ALVEOLAR RIDGE: A CLINICAL AND HISTOLOGIC STUDY

INT J PERIODONTICS RESTORATIVE DENT, 2008 OCT: 28(5):469-77

(5) FIGUEIREDO A, COIMBRA P, CABRITA A, GUERRA F, FIGUEIREDO M COMPARISON OF A XENOGENEIC AND AN ALLOPLASTIC MATERIAL USED IN DENTAL IMPLANTS IN TERMS OF PHYSICO-CHEMICAL CHARACTERISTICS AND IN VIVO **INFLAMMATORY RESPONSE**

MATER SCI ENG C MATER BIOL APPL, 2013 AUG 1;33(6):3506-13

(6) FISCHER KR, STAVROPOULOS A, CALVO GUIRADO JL, SCHNEIDER D, FICKL S

INFLUENCE OF LOCAL ADMINISTRATION OF PAMIDRONATE ON EXTRACTION SOCKET HEALING - A HISTOMORPHOMETRIC PROOF-OF-PRINCIPLE PRE-CLINICAL IN VIVO EVALUATION CLIN ORAL IMPLANTS RES, 2015 OCT;26(10):1135-42

(7) MIJIRITSKY E. FERRONI L. GARDIN C. BRESSAN E. ZANETTE G. PIATTELLI A, ZAVAN B

PORCINE BONE SCAFFOLDS ADSORB GROWTH FACTORS SECRETED BY MSCS AND IMPROVE BONE TISSUE REPAIR MATERIALS, 2017 SEP 8:10(9)

(8) CHECCHI V, FELICE P, ZUCCHELLI G, BARAUSSE C, PIATTELLI M, PISTILLI R, GRANDI G, ESPOSITO M

WIDE DIAMETER IMMEDIATE POST-EXTRACTIVE IMPLANTS VS DELAYED PLACEMENT OF NORMAL-DIAMETER IMPLANTS IN PRESERVED SOCKETS IN THE MOLAR REGION: 1-YEAR POST-LOADING OUTCOME OF A RANDOMISED CONTROLLED TRIAL

EUR J ORAL IMPLANTOL, 2017;10(3):263-278

(9) FESTA VM, ADDABBO F, LAINO L, FEMIANO F, RULLO R PORCINE-DERIVED XENOGRAFT COMBINED WITH A SOFT CORTICAL MEMBRANE VERSUS EXTRACTION ALONE FOR IMPLANT SITE DEVELOPMENT: A CLINICAL STUDY IN HUMANS CLIN IMPLANT DENT RELAT RES, 2013 OCT;15(5):707-13

(10) CASSETTA M, RICCI L, IEZZI G, DELL'AQUILA D, PIATTELLI A,

RESONANCE FREQUENCY ANALYSIS OF IMPLANTS INSERTED WITH A SIMULTANEOUS GRAFTING PROCEDURE: A 5-YEAR FOLLOW-UP STUDY IN MAN

INT J PERIODONTICS RESTORATIVE DENT, 2012 OCT;32(5):581-9

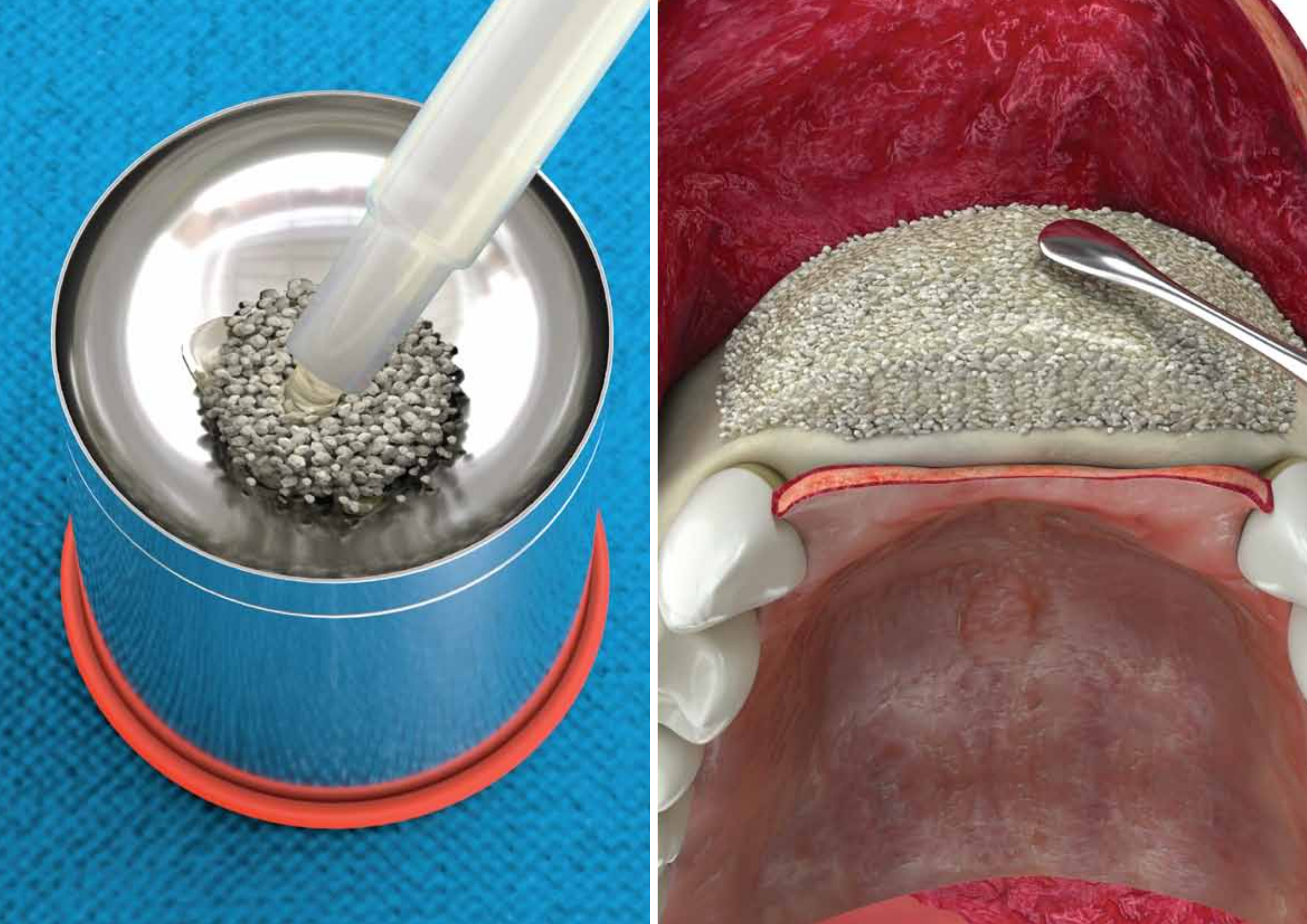
(11) ESPOSITO M. GRUSOVIN MG. LAMBERT F. MATOS S. PIETRUSKA M. ROSSI R. SALHI L. BUTI J

THE EFFECTIVENESS OF A RESORBABLE BONE SUBSTITUTE WITH A RESORBABLE MEMBRANE IN THE TREATMENT OF PERIODONTAL INFRABONY DEFECT - A MULTICENTER RANDOMISED CONTROLLED TRIAL

EUR J ORAL IMPLANTOL, 2015;8(3):233-244

(12) ROMBOUTS C, JEANNEAU C, CAMILLERI J, LAURENT P, ABOUT I CHARACTERIZATION AND ANGIOGENIC POTENTIAL OF XENOGENEIC BONE GRAFTING MATERIALS: ROLE OF PERIODONTAL LIGAMENT CELLS

DENT MATER J, 2016 DEC 1;35(6):900-907



TSV Gel





La soluzione per ottimizzare la stabilità dell'innesto

Gel termosensibile riassorbibile





Composizione

Gel collagene di tipo I e III Copolimero sintetico biocompatibile termogelificante

Forma fisica

Fase di bassa viscosità a <8°C Viscosità tipo gel >13°C

Packaging

Siringa: 0.5 cc, 1.0 cc

Disponibile solo in combinazione con OsteoBiol® Gen-Os® 0.5 g, 1.0 g

Codici prodotto

TTS05 | 1 Siringa | 0.5 cc | Suino TTS10 | 1 Siringa | 1.0 cc | Suino

GMDN code 46425 **CND code** P900402



Caratteristiche ed uso

CARATTERISTICHE

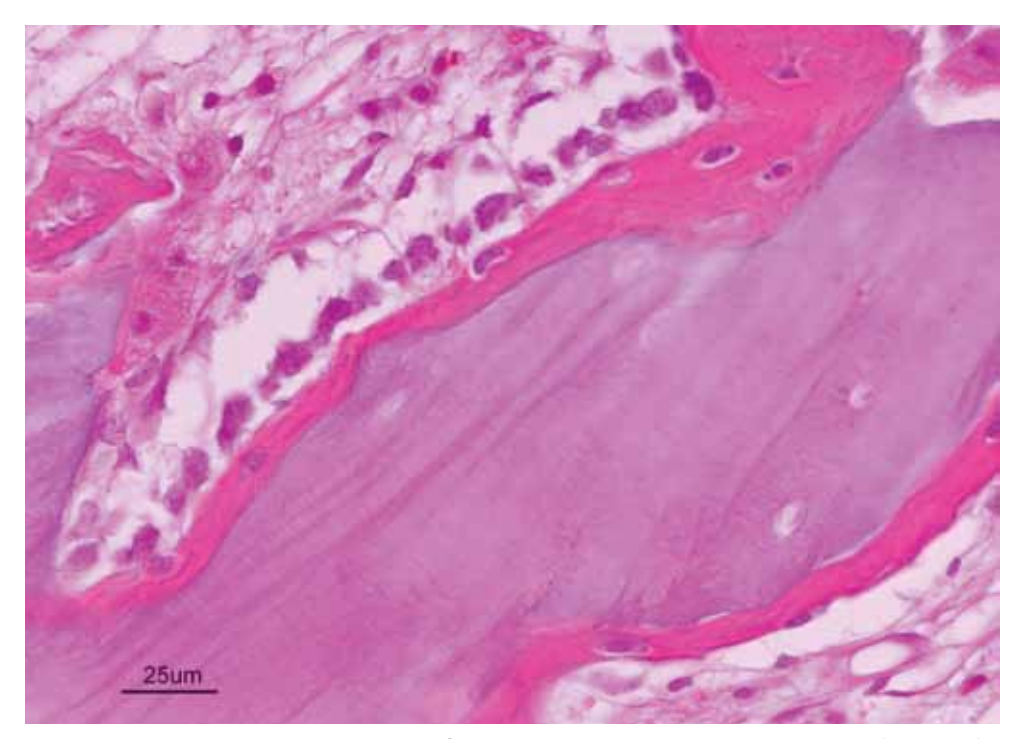
La funzione di questo prodotto è di conferire stabilità meccanica ai sostituti ossei e alle membrane.

OsteoBiol® TSV Gel è sterilizzato a raggi gamma ed è radiotrasparente. Contiene collagene eterologo di tipo l e III con acidi grassi poli-insaturi diluito in una soluzione acquosa contenente un copolimero sintetico biocompatibile, con proprietà termo-reversibili e termo-gelificanti. A bassa temperatura (+4° C) il gel è relativamente fluido e semplice da miscelare con i granuli di biomateriale, ma diventa più viscoso appena posto in situ a contatto con la temperatura corporea.

UTILIZZO

OsteoBiol® TSV Gel deve essere refrigerato per almeno 20 minuti a +4°C prima dell'uso, in modo che possa raggiungere la fase di bassa viscosità che lo rende idoneo per essere miscelato con OsteoBiol® Gen-Os®.

A temperatura ambiente il prodotto rimane nella fase di bassa viscosità per pochi minuti, mentre una volta innestato in situ la sua viscosità aumenta rapidamente grazie alla temperatura corporea. OsteoBiol® TSV Gel dopo essere stato refrigerato può essere utilizzato al posto della soluzione fisiologica per idratare OsteoBiol® Gen-Os®. Il risultato sarà una miscela collosa facile da posizionare ed estremamente stabile una volta in situ. OsteoBiol® TSV Gel può anche essere applicato sul lato microrugoso della membrana OsteoBiol® Evolution per stabilizzarla durante le fasi di copertura dell'innesto e di sutura.



Parte di biopsia che evidenzia l'osso neoformato attorno a un granulo di OsteoBiol® Gen-Os® miscelato con OsteoBiol® TSV Gel due settimane dopo l'innesto su coniglio. Ematossilina-eosina.

Fonte: Prof Ulf Nannmark, Università di Göteborg, Svezia



Fonte: Tecnoss® Dental Media Library



Fonte: Tecnoss® Dental Media Library

Informazioni cliniche

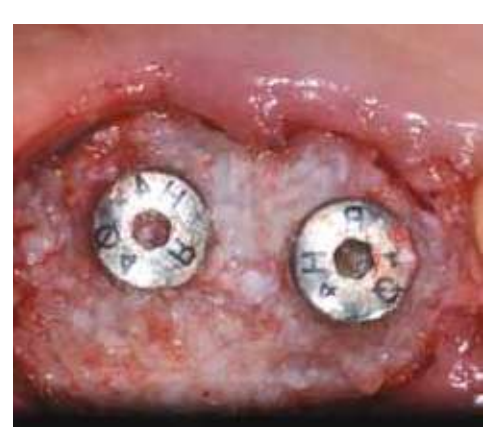




video animazioni gratuite sulla APP OsteoBiol®

OsteoBiol® TSV Gel può essere usato nelle procedure di GBR in associazione con i sostituti ossei e membrane OsteoBiol® per migliorare la stabilità dell'innesto. La viscosità raggiunta dal OsteoBiol® TSV Gel a temperatura corporea migliora significativamente la stabilità dei granuli di Gen-Os® ed è particolarmente utile nei casi ove vi sia insufficiente supporto osseo attorno al difetto, come ad esempio rigenerazioni orizzontali, alveoli con la corticale vestibolare compromessa, deiscenze e difetti parodontali a una o due pareti. Inoltre la viscosità di OsteoBiol® TSV Gel migliora sia la stabilità che la maneggevolezza delle membrane Evolution, in particolare durante la delicata fase di sutura dei lembi.

Le informazioni cliniche suindicate sono basate sulla esperienza clinica di chirurghi esperti.



Difetto peri-implantare trattato con OsteoBiol® Gen-Os® miscelato TSV Gel Autore: Dr Roberto Rossi, Genova, Italy



DEISCENZE E FENESTRAZIONI
difetti peri-implantari



RIGENERAZIONE PARODONTALE difetti infraossei

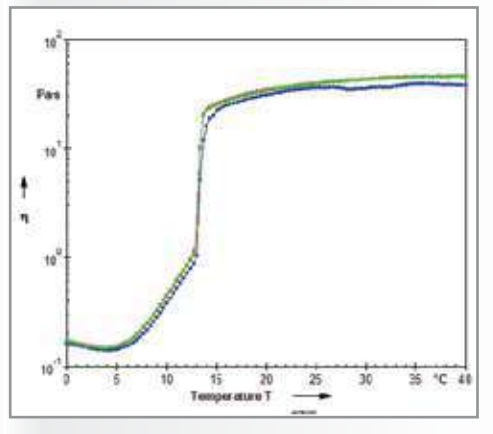


RIGENERAZIONE ALVEOLARE socket preservation



RIGENERAZIONE ORIZZONTALE
difetti a due pareti

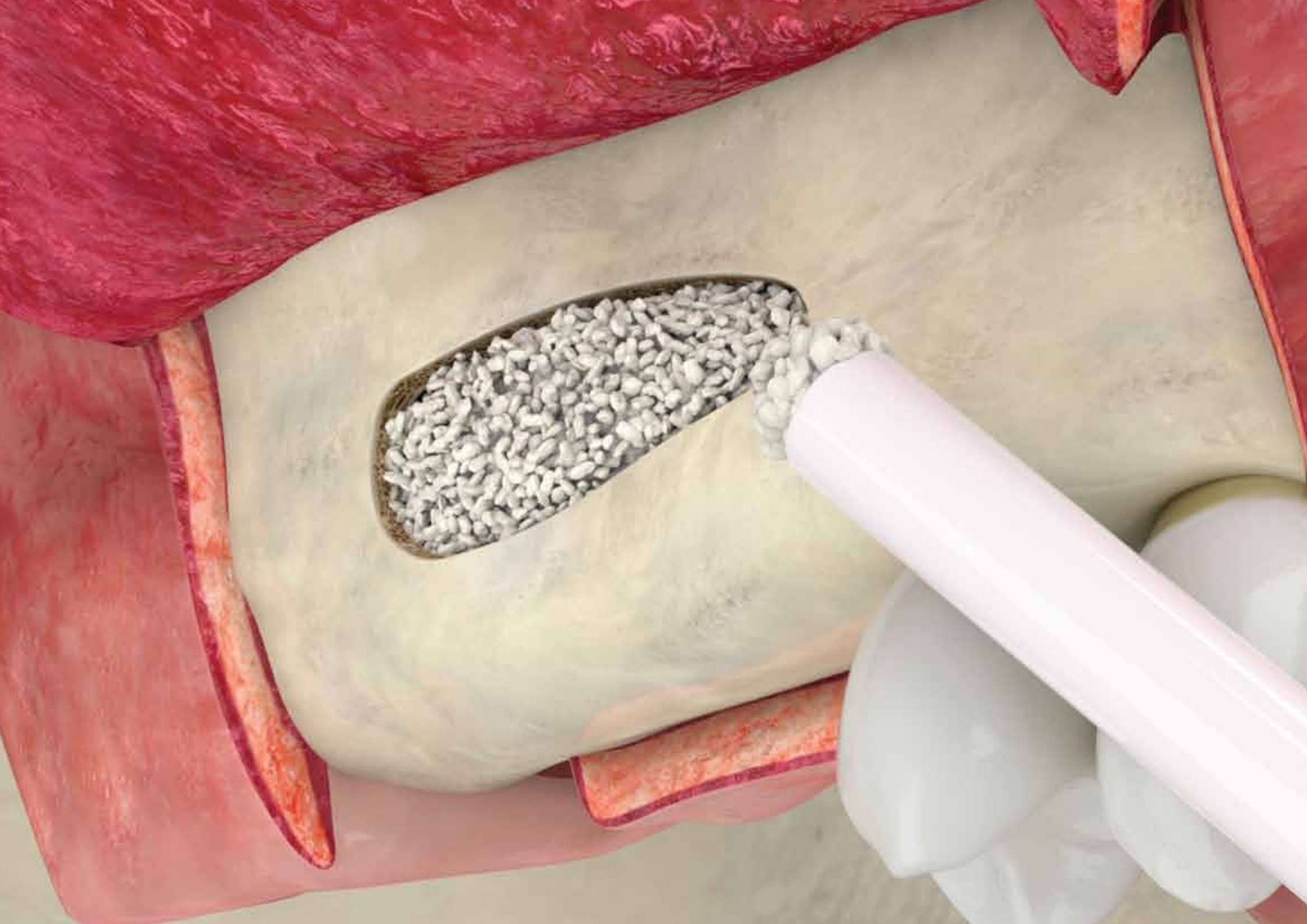
OsteoBiol® TSV Gel CINETICA DI GELIFICAZIONE



Fonte: Politecnico di Torino, Italia

Il grafico evidenzia l'effetto del cambiamento di temperatura su 3 campioni di OsteoBiol® *TSV Gel*. Con l'aumentare della temperatura da 0°C (1°C/min), la viscosità del gel raggiunge il minimo a +4°C.

In seguito la viscosità aumenta rapidamente fino a stabilizzarsi oltre i 13° C. A temperatura ambiente e corporea OsteoBiol® TSV Gel ha consistenza di gel colloso: non indurisce mai e mantiene una viscosità che ne permette la miscela con i granuli OsteoBiol® Gen-Os®. Grazie alle proprietà idrofile dei sostituti ossei OsteoBiol®, questa miscela diventa un conglomerato stabile e colloso, che può essere facilmente innestato e stabilizzato nel difetto. OsteoBiol® TSV Gel è biocompatibile e rapidamente riassorbibile.



mp3®





Eccellente performance e maneggevolezza

Mix di osso suino cortico-spongioso preidratato collagenato



Tessuto di origine

Mix di osso cortico-spongioso suino collagenato pre-idratato

Collagene tissutale

Preservato + 10% gel collagene addizionato

Forma fisica

Granuli pre-idratati e gel collagene

Composizione

90% granulato mix, 10% gel collagene

Granulometria

600-1000 μm

Tempi di rientro

Circa 5 mesi

Packaging

Siringhe da: 3 x 0.25 cc, 3 x 0.5 cc, 3 x 1.0 cc

Codici prodotto

TMP25T | 3 Siringhe | 3 x 0.25 cc | Suino TMP05T | 3 Siringhe | 3 x 0.5 cc | Suino TMP10T | 3 Siringhe | 3 x 1.0 cc | Suino

GMDN code 46425 **CND code** P900402

Caratteristiche ed uso

CARATTERISTICHE

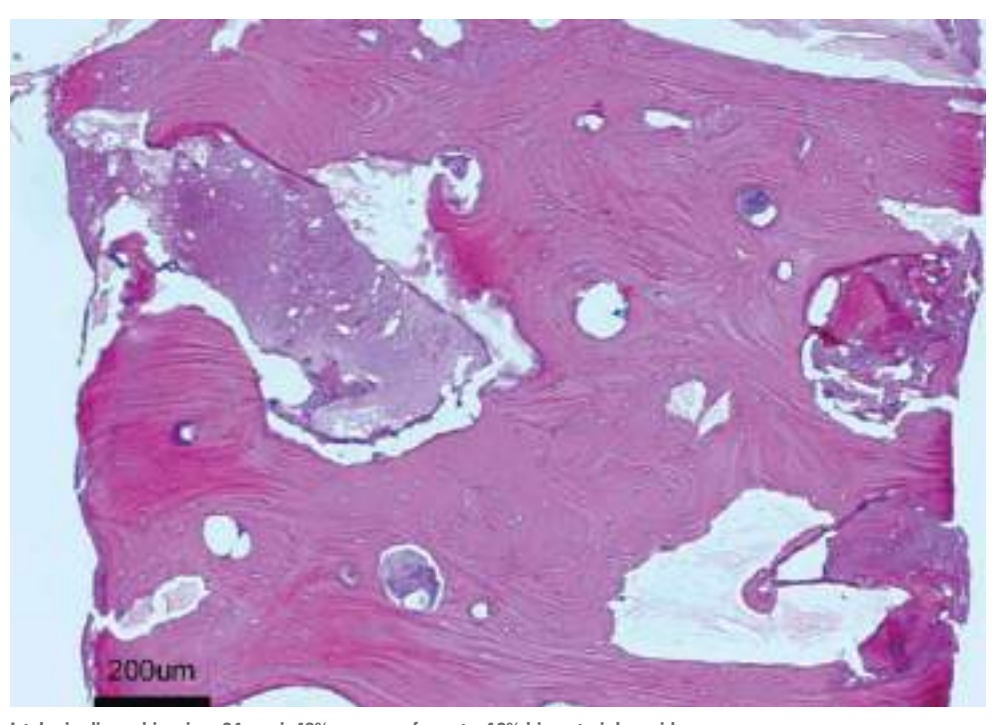
Biomateriale di origine eterologa composto da granuli pre-idratati collagenati cortico-spongiosi da $600-1000 \, \mu \text{m}$, adequatamente miscelati con gel collagene. Grazie a queste caratteristiche, è possibile evitare la fase di idratazione e diminuire il rischio di esposizione accidentale del materiale ai patogeni durante la fase preparazione; inoltre la siringa è flessibile e semplifica l'applicazione dell'innesto nel sito ricevente. I granuli sono dotati di caratteristiche molto simili a quelle dell'osso minerale umano e possono quindi essere usati come alternativa all'osso autologo.

La loro consistenza naturale microporosa facilita la formazione di nuovo tessuto osseo nell'area del difetto⁽¹⁾, accelerando così il processo di rigenerazione.

Gradualmente riassorbibile^(2,3), preserva la forma e il volume dell'innesto originale (proprietà osteoconduttiva)^(4,5). Inoltre, grazie al suo contenuto di collagene, il prodotto facilita il coagulo ematico e la successiva invasione delle cellule riparative e rigenerative.

UTILIZZO

mp3® è disponibile in siringhe pronte all'uso e può essere applicato facilmente senza idratazione e manipolazione. Dopo aver adattato il materiale alla forma del difetto, è necessario rimuovere i residui non stabili prima di procedere con la sutura dei tessuti molli. Si raccomanda di compattare sempre mp3® dopo l'innesto per ottenere una stabilità ottimale.



Istologia di una biopsia a 24 mesi. 48% osso neo-formato, 13% biomateriale residuo. Autori: Biopsia Dr Roberto Rossi, Genova. Istologia Prof Ulf Nannmark, Università di Göteborg, Svezia



Fonte: Tecnoss® Dental Media Library

Informazioni cliniche





video animazioni gratuite

sulla APP OsteoBiol®

mp3[®], una miscela di osso cortico-spongioso preidratata e addizionata con un 10% di gel collagene, è stato sviluppato con questa biotecnologia innovativa ed è un prodotto "pronto all'uso". L'indicazione principale di mp3® è il rialzo di seno mascellare con acceso laterale^(1,6), sempre in associazione alle membrane Evolution: la siringa di mp3® può essere applicata direttamente nella finestra ossea senza bisogno di miscelare i granuli con soluzione salina.

Grazie al suo contenuto di gel di collagene, mp3® permette un'eccellente stabilità dell'innesto, mentre la sua idrofilia garantisce un rapido assorbimento ematico e quindi la necessaria vascolarizzazione dell'innesto.

mp3® è stato utilizzato con successo in combinazione con le membrane Evolution per la preservazione della cresta alveolare(3,7,8): l'applicazione di questo biomateriale limita in modo significativo la riduzione dell'ampiezza della cresta alveolare che si verifica in natura durante la guarigione spontanea, preservando così il volume della cresta alveolare e permettendo il corretto posizionamento di un impianto nella seconda fase chirurgica. Infine, mp3® è stato documentato per l'incremento orizzontale (difetti a due pareti) in combinazione con blocchi di osso autologo o con OsteoBiol® Lamina^(9,10): la sua composizione cortico-spongiosa permette un riassorbimento progressivo di tipo osteoclastico, parallelamente alla formazione di nuovo osso⁽²⁾.

Queste caratteristiche esclusive permettono una ottima preservazione del volume dell'innesto⁽¹¹⁾, un tessuto osseo neo-formato sano e, infine, una riabilitazione implantare di successo.



Difetto riempito con OsteoBiol® mp3®



OsteoBiol® mp3® nel seno mascellare Autore: Dr Roberto Rossi, Genova, Italia



RIALZO DI SENO MASCELLARE grande rialzo di seno mascellare



RIGENERAZIONE ALVEOLARE alveoli post-estrattivi



RIGENERAZIONE ORIZZONTALE difetti a due pareti

BIBLIOGRAFIA

(1) RAMIREZ FERNANDEZ MP, CALVO GUIRADO JL, MATÉ SANCHEZ DE VAL JE, DELGADO RUIZ RA, NEGRI B, BARONA DORADO C ULTRASTRUCTURAL STUDY BY BACKSCATTERED ELECTRON IMAGING AND ELEMENTAL MICROANALYSIS BONE-TO-BIOMATERIAL INTERFACE AND DEGRADATION OF PORCINE XENOGRAFTS MAXILLARY SINUS FLOOR ELEVATION

CLIN ORAL IMPLANTS RES, 2013 MAY;24(5):523-30

(2) NANNMARK U, SENNERBY L

THE BONE TISSUE RESPONSES TO PREHYDRATED AND COLLAGENATED CORTICO-CANCELLOUS PORCINE BONE **GRAFTS: A STUDY IN RABBIT MAXILLARY DEFECTS** CLIN IMPLANT DENT RELAT RES, 2008 DEC;10(4):264-70

(3) GIULIANI A, IEZZI G, MAZZONI S, PIATTELLI A, PERROTTI V,

REGENERATIVE PROPERTIES OF COLLAGENATED PORCINE BONE GRAFTS IN HUMAN MAXILLA: DEMONSTRATIVE STUDY

OF THE KINETICS BY SYNCHROTRON RADIATION MICROTOMOGRAPHY AND LIGHT MICROSCOPY CLIN ORAL INVESTIG, 2017 2018 JAN;22(1):505-513

(4) SCARANO A, LORUSSO F, RAVERA L, MORTELLARO C, PIATTELLI A BONE REGENERATION IN ILIAC CRESTAL DEFECTS: AN **EXPERIMENTAL STUDY ON SHEEP**

BIOMED RES INT, 2016;2016:4086870

(5) IEZZI G, PIATTELLI A, GIULIANI A, MANGANO C, BARONE A, MANZON L, DEGIDI M, SCARANO A, FILIPPONE A, PERROTTI V MOLECULAR, CELLULAR AND PHARMACEUTICAL ASPECTS OF FILLING BIOMATERIALS DURING MAXILLARY SINUS-LIFT PROCEDCURES. PART 2: DETAILED CHARACTERISTICS OF THE MATERIALS

CURR PHARM BIOTECHNOL, 2017, 18, 33-44

(6) SILVESTRI M, MARTEGANI P, D'AVENIA F, FARNETI M, CAPRI D, PAOLANTONI G, LANDI L

SIMULTANEOUS SINUS AUGMENTATION WITH IMPLANT PLACEMENT: HISTOMORPHOMETRIC COMPARISON OF TWO DIFFERENT GRAFTING MATERIALS. A MULTICENTER DOUBLE-BLIND PROSPECTIVE RANDOMIZED CONTROLLED CLINICAL TRIAL

INT J ORAL MAXILLOFAC IMPLANTS, 2013 MAR-APR;28(2):543-9

(7) BARONE A, BORGIA V, COVANI U, RICCI M, PIATTELLI A, IEZZI G FLAP VERSUS FLAPLESS PROCEDURE FOR RIDGE PRESERVATION IN ALVEOLAR EXTRACTION SOCKETS: A HISTOLOGICAL EVALUATION IN A RANDOMIZED CLINICAL TRIAL CLIN ORAL IMPLANTS RES, 2015 JUL;26(7):806-13

(8) BARONE A, RICCI M, TONELLI P, SANTINI S, COVANI U TISSUE CHANGES OF EXTRACTION SOCKETS IN HUMANS: A COMPARISON OF SPONTANEOUS HEALING VS. RIDGE PRESERVATION WITH SECONDARY SOFT TISSUE HEALING CLIN ORAL IMPLANTS RES. 2013 NOV:24(11):1231-7

(9) WACHTEL H, FICKL S, HINZE M, BOLZ W, THALMAIR T

THE BONE LAMINA TECHNIQUE: A NOVEL APPROACH FOR LATERAL RIDGE AUGMENTATION - A CASE SERIES

INT J PERIODONTICS RESTORATIVE DENT, 2013 JUL-AUG;33(4):491-7 (10) ROSSI R, RANCITELLI D, POLI PP, RASIA DAL POLO M,

NANNMARK U, MAIORANA C

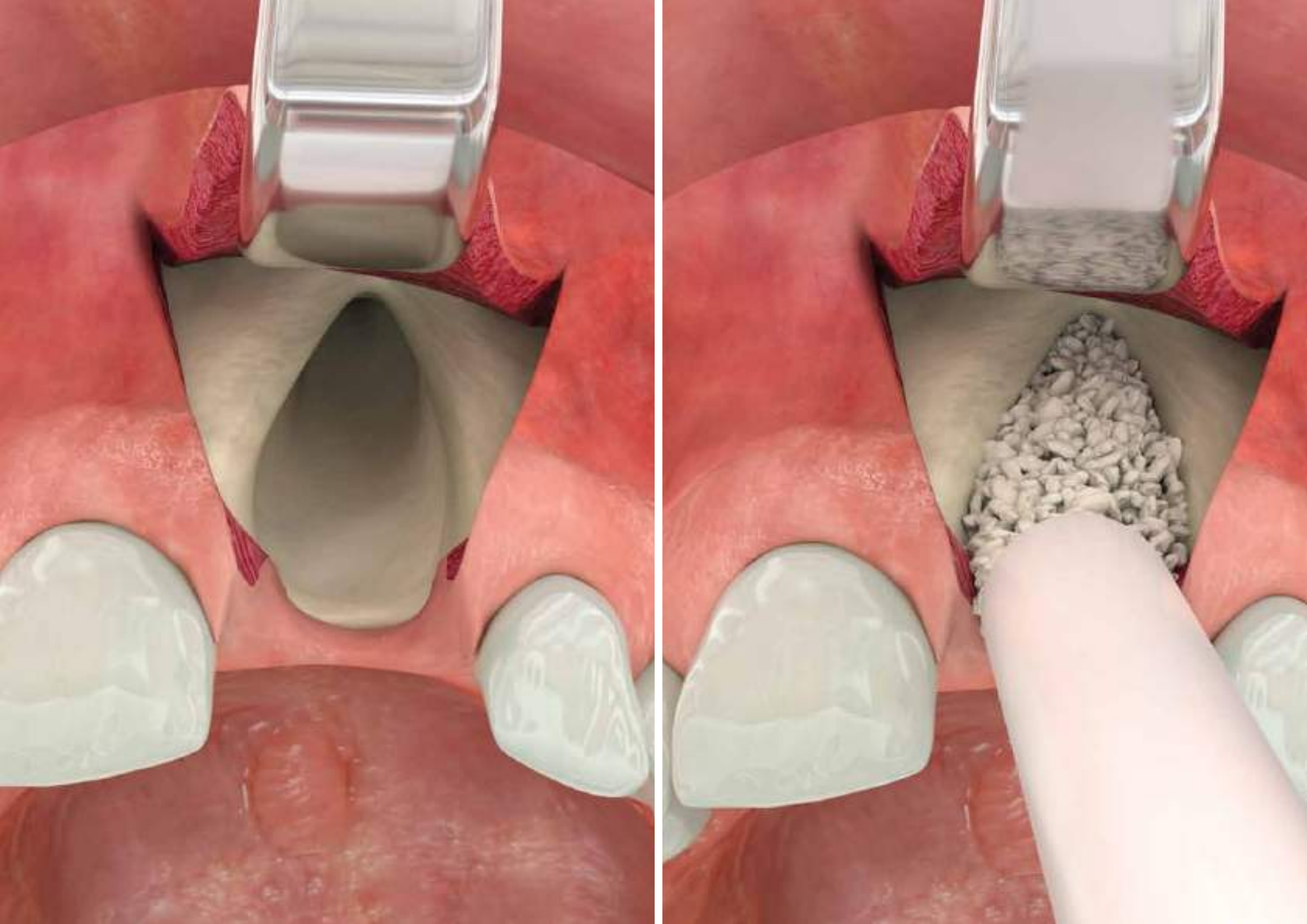
THE USE OF A COLLAGENATED PORCINE CORTICAL LAMINA IN THE RECONSTRUCTION OF ALVEOLAR RIDGE DEFECTS. A CLINICAL AND HISTOLOGICAL STUDY

MINERVA STOMATOL, 2016 OCT;65(5):257-68

(11) BARONE A. TOTI P. MENCHINI-FABRIS GB. DERCHI G. MARCONCINI S, COVANI U

EXTRA ORAL DIGITAL SCANNING AND IMAGING SUPERIMPOSITION FOR VOLUME ANALYSIS OF BONE REMODELING AFTER TOOTH EXTRACTION WITH AND WITHOUT 2 TYPES OF PARTICULATE PORCINE MINERAL INSERTION: A RANDOMIZED CONTROLLED TRIAL

CLIN IMPLANT DENT RELAT RES, 2017 AUG;19(4):750-759



GTO®





Il nuovo standard di eccellenza nei biomateriali

Mix di osso eterologo cortico-spongioso collagenato + TSV Gel



Mix di osso cortico-spongioso suino collagenato

Collagene tissutale

Preservato

Forma fisica

Granuli pre-idratati e OsteoBiol® TSV Gel

Composizione

80% granulato mix, 20% OsteoBiol® TSV Gel

Granulometria

600-1000 μm

Tempi di rientro

Circa 5 mesi

Packaging

Siringa: 0.5 cc Siringa wide tip: 2.0 cc

Codici prodotto

TGT05 | siringa | 0.5 cc | Suino TGT20 | siringa | 2.0 cc | Suino

GMDN code

46425

CND code P900402

Caratteristiche e uso

CARATTERISTICHE

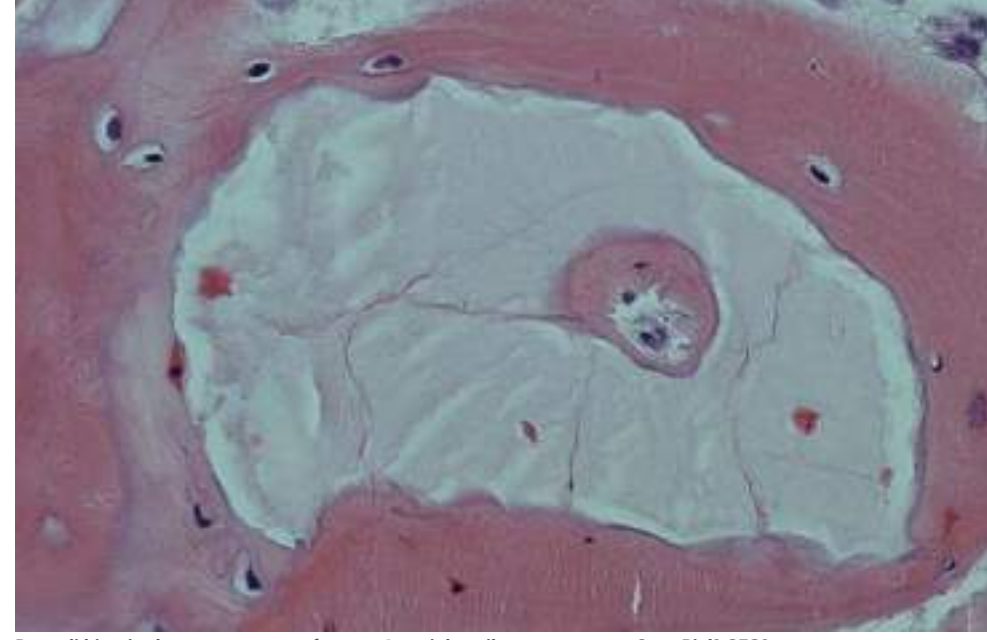
OsteoBiol® GTO® è un sostituto osseo di origine suina. E' un mix di granuli collagenati cortico-spongiosi con granulometria 600-1000 μ m, opportunamente miscelati con OsteoBiol® TSV Gel, che è a sua volta una miscela di gel collagene eterologo tipo I e III con acidi grassi poli-insaturi diluito in una soluzione acquosa contenente un copolimero sintetico biocompatibile.

OsteoBiol® GTO® viene gradualmente riassorbito ed è estremamente osteoconduttivo. Inoltre il collagene preservato nella matrice facilita il coagulo e la successiva invasione delle cellule rigenerative.

Queste caratteristiche esclusive permettono di ottenere una elevata percentuale di osso neo-formato, una ottima preservazione del volume dell'innesto, un tessuto osseo rigenerato sano, e infine una riabilitazione implantare di successo.

UTILIZZO

Disponibile in due formati (0.5 e 2.0 cc) OsteoBiol® GTO® è un biomateriale pre-idratato pronto all'uso, e può essere facilmente innestato nel difetto osseo, iniettandolo direttamente dalla siringa sterile. In questo modo il clinico può evitare la fase di preparazione e idratazione con soluzione fisiologica o sangue, riducendo i tempi e il rischio di esposizione accidentale a patogeni. La presenza di OsteoBiol® TSV Gel assicura una adesività ottimale del materiale, che rimane in tal modo facilmente adattabile al sito ricevente ed estremamente stabile.



Parte di biopsia che mostra osso neoformato 4 mesi dopo il trattamento con OsteoBiol® GTO®
Biopsia dalla regione mascellare a quattro mesi: ingrandimento 40x
Autori: biopsia, Dr Patrick Palacci, Marseille, Francia. Istologia Prof Ulf Nannmark, University of Göteborg, Svezia



Fonte: Tecnoss® Dental Media Library



Autore: Dr Patrick Palacci, Marseille, Francia

Informazioni cliniche

App Store



video animazioni gratuite sulla APP OsteoBiol®

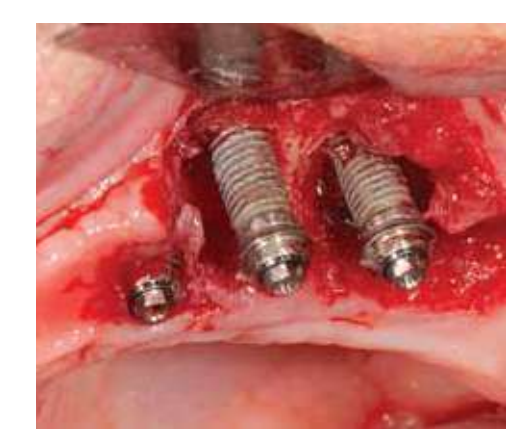
OsteoBiol® GTO® è stato concepito come biomateriale universale, facilmente adattabile ad ogni tipo di difetto osseo, da utilizzare in associazione con le membrane OsteoBiol® Evolution o con la Lamina OsteoBiol® per proteggere l'innesto.

Tuttavia, grazie alla sua adesività, è particolarmente indicato per le procedure di rigenerazione orizzontale (ad es. difetti a due pareti, quando la cresta è molto atrofica) e per la socket preservation nei casi di corticale vestibolare compromessa.

OsteoBiol® *GTO*® può anche essere utilizzato con successo per trattare lesioni peri-implantari.

In caso di difetti non contenitivi, GTO® deve essere innestato a strati successivi, compattando ogni strato con una garza sterile.

Le informazioni cliniche suindicate sono basate sulla esperienza clinica di chirurghi esperti.





Difetto peri-implantare trattato con OsteoBiol® GTO® Autore: Dr Patrick Palacci, Marseille. Francia



DEISCENZE E FENESTRAZIONI difetti perimplantari

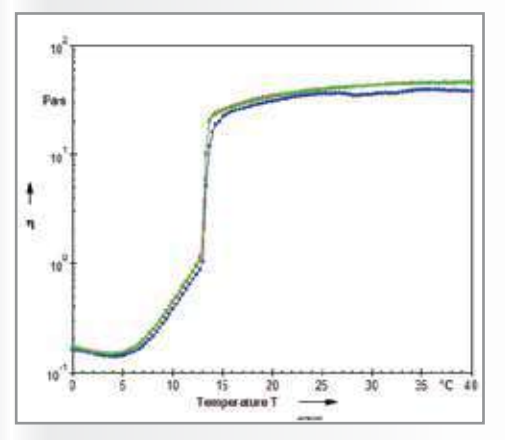


RIGENERAZIONE ALVEOLARE alveoli post-estrattivi



RIGENERAZIONE ORIZZONTALE difetti a due pareti

OsteoBiol® TSV Gel CINETICA DI GELIFICAZIONE

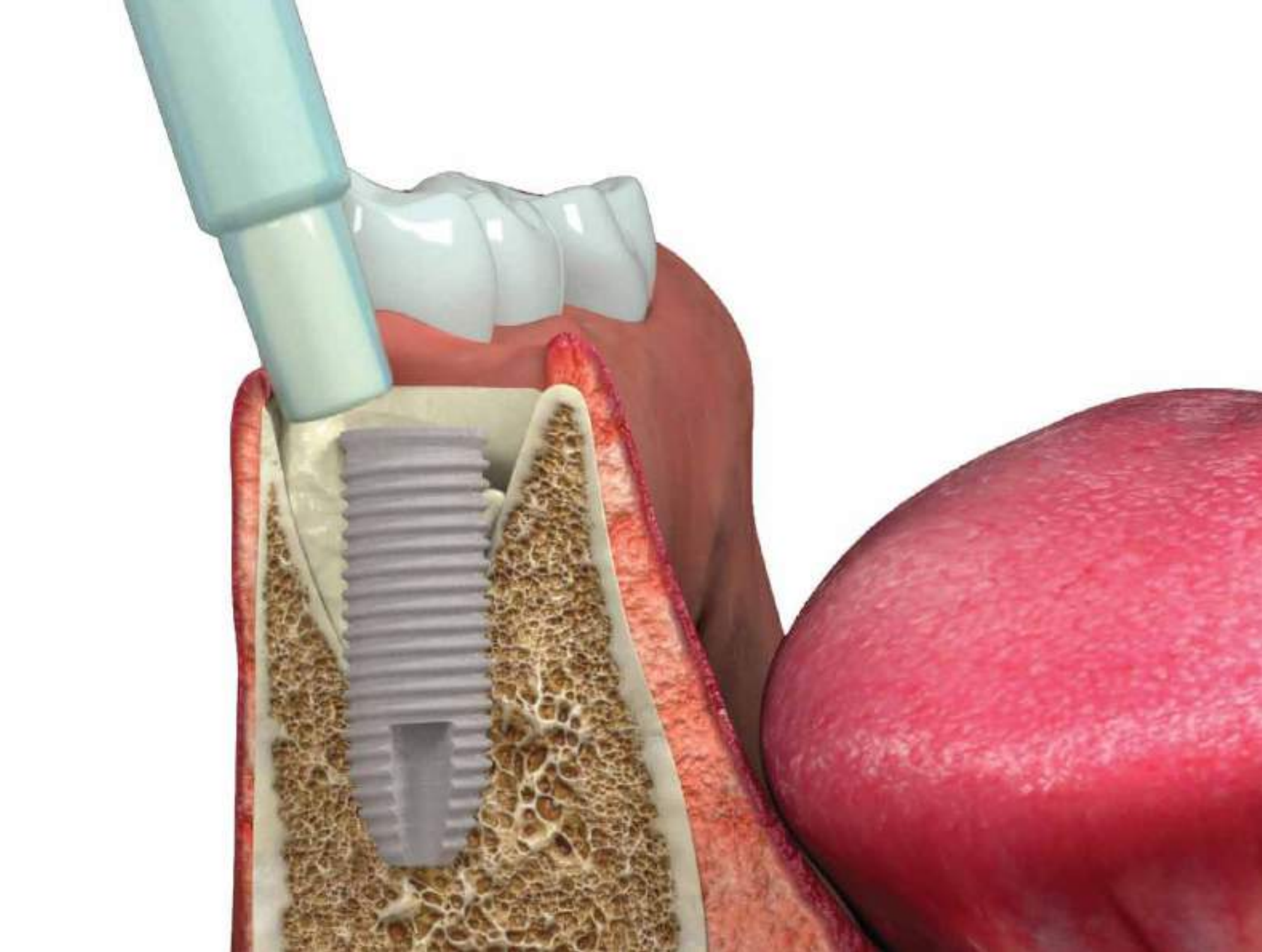


Fonte: Politecnico di Torino, Italia

Il grafico evidenzia l'effetto del cambiamento di temperatura su 3 campioni di OsteoBiol® TSV Gel.

Con l'aumentare della temperatura da 0° C (1° C/min), la viscosità del gel raggiunge il minimo a $+4^{\circ}$ C.

In seguito la viscosità aumenta rapidamente fino a stabilizzarsi oltre i 13° C. A temperatura ambiente e corporea OsteoBiol® TSV Gel ha consistenza di gel colloso: non indurisce mai e mantiene una viscosità che ne permette la miscela con i granuli OsteoBiol® Gen-Os®. Grazie alle proprietà idrofile dei sostituti ossei OsteoBiol®, questa miscela diventa un conglomerato stabile e colloso, che può essere facilmente innestato e stabilizzato nel difetto. OsteoBiol® TSV Gel è biocompatibile e rapidamente riassorbibile.



Putty





Sviluppato per i difetti peri-implantari

Pasta di osso suino cortico-spongioso collagenato e pre-idratato



Mix di osso cortico-spongioso suino collagenato

Collagene tissutale

Preservato + 20% gel collagene addizionato

Forma fisica

Pasta d'osso con consistenza plastica

Composizione

80% granulato mix, 20% gel collagene

Granulometria

≤300 µm

Tempi di rientro

Circa 4 mesi

Packaging

Siringhe da: 3X0.25 cc, 0.5 cc, 3x0.5 cc Siringa wide tip: 1.0 cc

Codici prodotto

TPU25T | 3 Siringhe | 3x0.25 cc | Suino TPU05 | 1 Siringa | 0.5 cc | Suino TPU05T | 3 Siringhe | 3 x 0.5 cc | Suino TPU10 | 1 Siringa | 1.0 cc | Suino

GMDN code 46425 **CND code** P900402

Caratteristiche ed uso

CARATTERISTICHE

Putty è una pasta ossea con almeno l'80% di osso eterologo micronizzato (granulometria \leq 300 μ m) e gel di collagene. È realizzato mediante un processo esclusivo che assicura al prodotto un'eccezionale malleabilità e plasticità, facilitando la sua applicazione in alveoli e difetti perimplantari con pareti. Grazie al suo contenuto di collagene, il prodotto facilità il coagulo ematico e la successiva invasione delle cellule riparative e rigenerative, dimostrandosi osteoconduttivo⁽¹⁾. successo dell'innesto necessita della completa stabilità del biomateriale: per questo motivo, Putty deve essere usato solo in cavità in grado di contenerlo in modo stabile. Quindi, Putty non deve essere innestato in difetti a due pareti o in procedure di rialzo di seno con accesso laterale.

UTILIZZO

Iniettare il prodotto e adattarlo alla morfologia del difetto senza compressione; ogni residuo non stabile deve essere rimosso prima della sutura dei tessuti molli. Si raccomanda l'utilizzo di una membrana Evolution per proteggere l'innesto di Putty in difetti peri-implantari.



Autore: Prof Ulf Nannmark, University of Göteborg, Svezia





Fonte: Tecnoss® Dental Media Library

Informazioni cliniche





video animazioni gratuite sulla APP OsteoBiol®

La straordinaria maneggevolezza del Putty rende questo prodotto ideale per i difetti peri-implantari contenitivi⁽²⁾ e in generale per tutti i piccoli difetti ossei che hanno la morfologia di cavità contenitiva.

Inoltre, il processo produttivo Tecnoss® evita la ceramizzazione dei granuli, permettendo un progressivo riassorbimento del biomateriale e, nello stesso tempo, adeguata percentuale neoformazione ossea⁽³⁾.

La consistenza "soft" del Putty facilita anche la corretta guarigione dei tessuti molli. Grazie alle sue particolari caratteristiche, Putty è stato utilizzato efficacemente soprattutto per rigenerazione di difetti peri-implantari: dopo il posizionamento immediato di un impianto post-estrattivo, Putty può essere iniettato tra le pareti ossee e l'impianto, garantendo così il perfetto riempimento dell'intero volume del difetto⁽⁴⁾.

La versatilità del prodotto fa del Putty la soluzione ideale in caso di perdita di tessuto osseo dovuta a lesioni peri-implantari, a condizione che siano presenti pareti ossee di contenimento. Infatti, il successo dell'innesto necessita della completa stabilità del biomateriale e per questo motivo, Putty deve essere usato solo in cavità in grado di contenerlo in modo stabile: per esempio all'interno della cresta ossea in caso di split-crest⁽⁵⁾ oppure in creste riassorbite orizzontalmente, in associazione con OsteoBiol® Lamina (tecnica Bone Layer)(6).



Immagine SEM di OsteoBiol® Putty Autore: Prof Ulf Nannmark, University of Göteborg, Svezia



Difetto peri-implantare innestato con OsteoBiol® Putty Autore: Dr Roberto Rossi, Genova, Italia



DEISCENZE E FENESTRAZIONI difetti peri-implantari



RIGENERAZIONE ORIZZONTALE ridge split

BIBLIOGRAFIA

(1) ARCURI C, CECCHETTI F, GERMANO F, MOTTA A, SANTACROCE C CLINICAL AND HISTOLOGICAL STUDY OF A XENOGENIC BONE SUBSTITUTE USED AS A FILLER IN POSTEXTRACTIVE **ALVEOLUS**

MINERVA STOMATOL, 2005 JUN:54(6):351-62

(2) BARONE A, AMERI S, COVANI U

IMMEDIATE POSTEXTRACTION IMPLANTS: TREATMENT OF RESIDUAL PERI-IMPLANT DEFECTS. A RETROSPECTIVE ANAIYSIS

EUR J IMPLANT PROSTHODONTICS, 2006,2: 99-106

(3) NANNMARK U, AZARMEHR I

SHORT COMMUNICATION: COLLAGENATED CORTICO-CANCELLOUS PORCINE BONE GRAFTS. A STUDY IN RABBIT

CLIN IMPLANT DENT RELAT RES, 2010 JUN 1; 12(2):161-3

(4) CASSETTA M, RICCI L, IEZZI G, DELL'AQUILA D, PIATTELLI A,

RESONANCE FREQUENCY ANALYSIS OF IMPLANTS INSERTED WITH A SIMULTANEOUS GRAFTING PROCEDURE: A 5-YEAR FOLLOW-UP STUDY IN MAN

INT J PERIODONTICS RESTORATIVE DENT, 2012 OCT;32(5):581-9

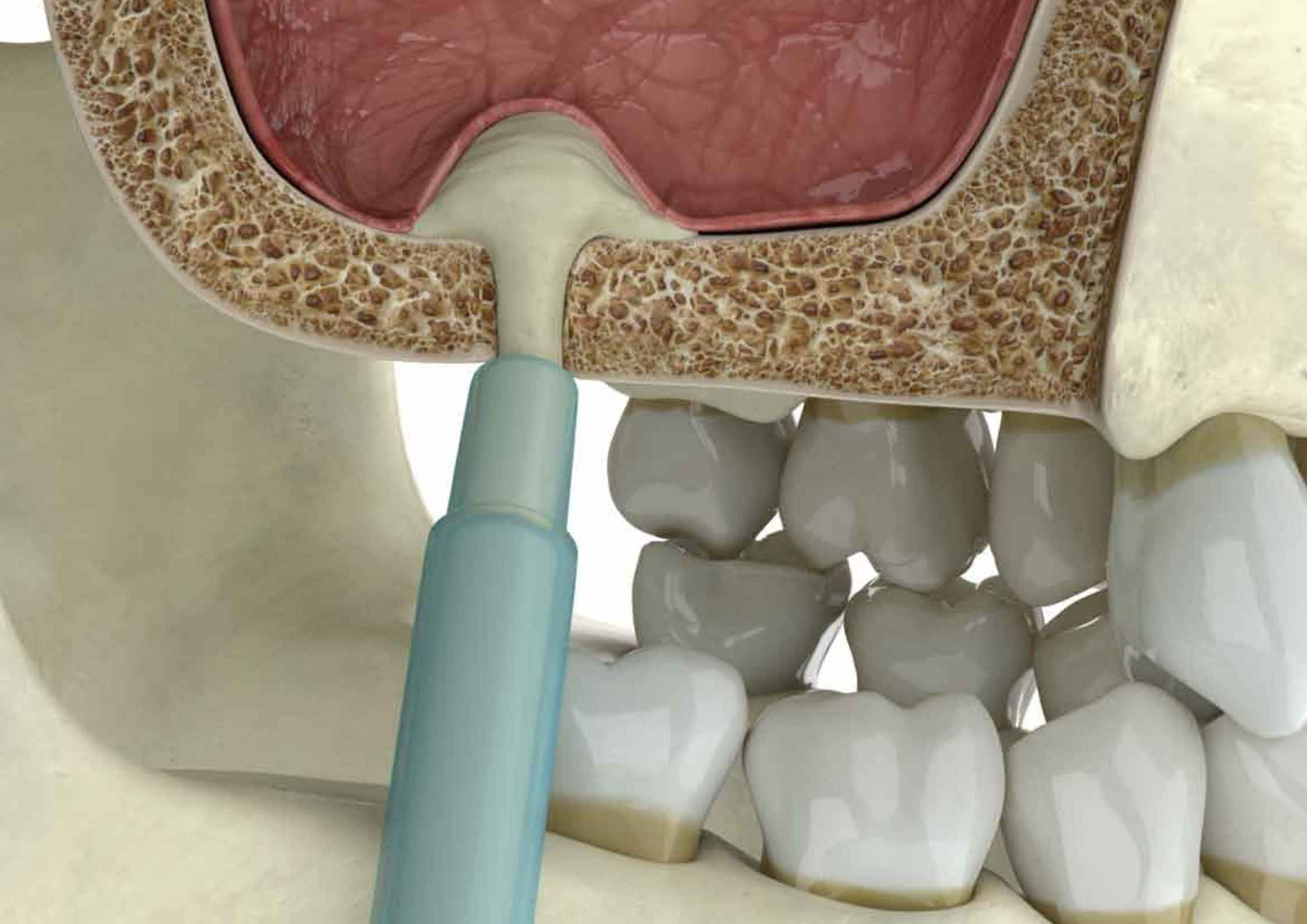
(5) SANTAGATA M, GUARINIELLO L, TARTARO G

A MODIFIED EDENTULOUS EXPANSION (MERE) TECHNIQUE FOR IMMEDIATE PLACEMENT OF IMPLANTS. A CASE REPORT J ORAL IMPLANTOL, 2011 MAR;37 SPEC N.:114-9

(6) LOPEZ MA, ANDREASI BASSI M, CONFALONE L, CARINCI F. ORMIANER Z. LAURITANO D

THE USE OF RESORBABLE CORTICAL LAMINA AND MICRONI-ZED COLLAGENATED BONE IN THE REGENERATION OF ATROPHIC CRESTAL RIDGES: A SURGICAL TECHNIQUE. CASE

J BIOL REGUL HOMEOST AGENTS, 2016 APR-JUN;30(2 SUPPL 1):81-85



Gel 40





Un gel dalle caratteristiche uniche

Gel di osso suino cortico-spongioso collagenato pre-idratato



Mix di osso cortico-spongioso suino collagenato

Collagene tissutale

Preservato + 40% gel collagene addizionato

Forma fisica

Gel collagene tipo I e III caricato al 60% con particolato osseo

Composizione

60% granulato mix, 40% gel collagene

Granulometria

≤300 µm

Tempi di rientro

Circa 4 mesi

Packaging

Siringhe da: 0.5 cc, 3 x 0.5 cc

Codici prodotto

TG405 | 1 siringa | 0.5 cc | Suino TG405T | 3 siringhe | 3 x 0.5 cc | Suino

GMDN code

46425

CND code P900402

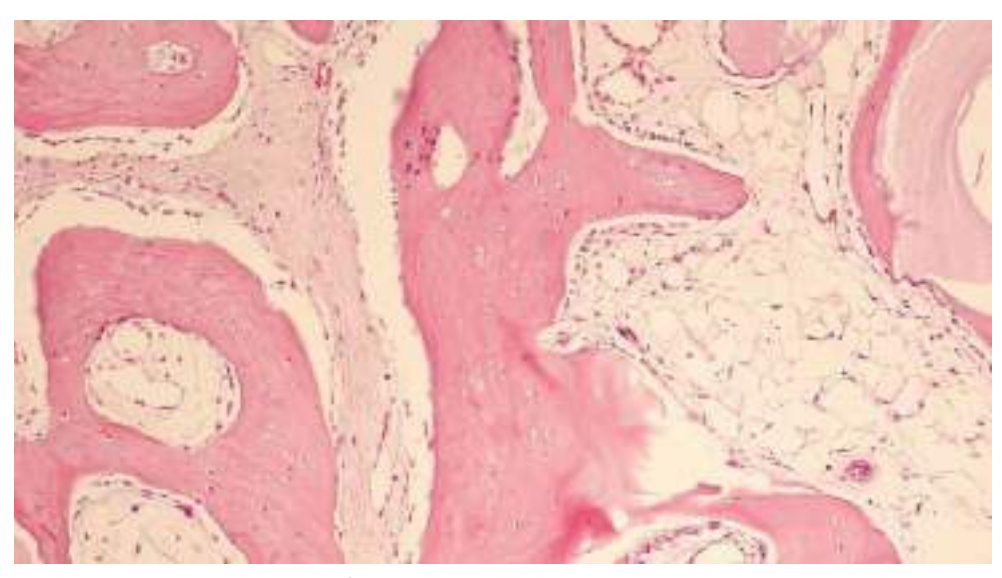
Caratteristiche ed uso

CARATTERISTICHE

Matrice di collagene (tipo I e III) ottenuta mediante l'esclusivo processo Tecnoss®, caricato per il 60% del suo volume con osso eterologo micronizzato (granulometria $\leq 300 \,\mu\text{m}$). Grazie alla sua componente di collagene, Gel 40 facilita la formazione di un coaqulo ematico primario e la successiva invasione di cellule riparative e rigenerative; inoltre, componente cortico-spongiosa assicura la necessaria funzione di scaffold. Il gel di collagene contenuto nel Gel 40 viene riassorbito rapidamente e totalmente; è dotato anche di eccezionali proprietà antinfiammatorie, eutrofiche e cicatrizzanti. Questa lipofilia è dovuta principalmente alla percentuale di acidi grassi poli-insaturi di tipo oleico-linoleico (ai quali appartiene anche l'Omega 3) derivati direttamente dalla materia prima. Tali componenti possiedono una preziosa azione antiossidante sui radicali liberi e quindi aiutano la rigenerazione tissutale.

UTILIZZO

Le particolari caratteristiche di viscosità e densità del *Gel 40* facilitano l'utilizzo del prodotto da parte dell'operatore, assicurando un supporto di tipo colloso. Se la viscosità è eccessiva, aggiungere poche gocce di fisiologica tiepida e quindi mescolare accuratamente per ottenere la densità desiderata.



Parte di biopsia che evidenzia l'osso neoformato dopo il trattamento con OsteoBiol® Gel 40. Biopsia a 5 settimane dall'innesto nella mascella di coniglio. Htx-eosina. Ingrandimento originale x20 Autore: Prof Ulf Nannmark. University of Götebora. Svezia



Fonte: Tecnoss® Dental Media Library

L'esclusivo processo produttivo Tecnoss® garantisce un'eccezionale malleabilità e plasticità: inoltre, il confezionamento in siringa conferisce al *Gel 40* proprietà di manipolazione straordinarie, rendendo questo prodotto la scelta ideale per il rialzo di seno con accesso crestale^(1,2), per difetti peri-implantari profondi e stretti⁽³⁾, per difetti infraossei a tre pareti e, in combinazione con le membrane Evolution, per le recessioni gengivali⁽⁴⁾.

Inoltre, il processo produttivo Tecnoss® evita la ceramizzazione dei granuli, permettendo un progressivo riassorbimento del biomateriale e, nello stesso tempo, una significativa percentuale di osso neoformato^(5,6).

La consistenza "soft" di *Gel 40* facilita infine la corretta guarigione dei tessuti molli.



Rialzo di seno per via crestale eseguito con OsteoBiol® Gel 40 Fonte: Tecnoss® Dental Media Library



RIGENERAZIONE PARODONTALE difetti infraossei e recessioni gengivali



SINUS LIFT mini-rialzo crestale

BIBLIOGRAFIA

(1) BARONE A, CORNELINI R, CIAGLIA R, COVANI U IMPLANT PLACEMENT IN FRESH EXTRACTION SOCKETS AND SIMULTANEOUS OSTEOTOME SINUS FLOOR ELEVATION: A CASE SERIES

INT J PERIODONTICS RESTORATIVE DENT, 2008 JUN; 28(3):283-9

(2) SANTAGATA M, GUARINIELLO L, RAUSO R, TARTARO G

IMMEDIATE LOADING OF DENTAL IMPLANT AFTER SINUS FLOOR ELEVATION WITH OSTEOTOME TECHNIQUE: A CLINICAL REPORT AND PRELIMINARY RADIOGRAPHIC RESULTS J ORAL IMPLANTOL, 2010; 36(6):485-489

(3) COVANI U, CORNELINI R, BARONE A

BUCCAL BONE AUGMENTATION AROUND IMMEDIATE IMPLANTS WITH AND WITHOUT FLAP ELEVATION: A MODIFIED APPROACH

INT J ORAL MAXILLOFAC IMPLANTS, 2008 SEP-OCT; 23(5):841-6

(4) CARDAROPOLI D, CARDAROPOLI G

HEALING OF GINGIVAL RECESSIONS USING A COLLAGEN MEMBRANE WITH A DEMINERALIZED XENOGRAFT: A RANDOMIZED CONTROLLED CLINICAL TRIAL

INT J PERIODONTICS RESTORATIVE DENT, 2009 FEB; 29(1):59-67

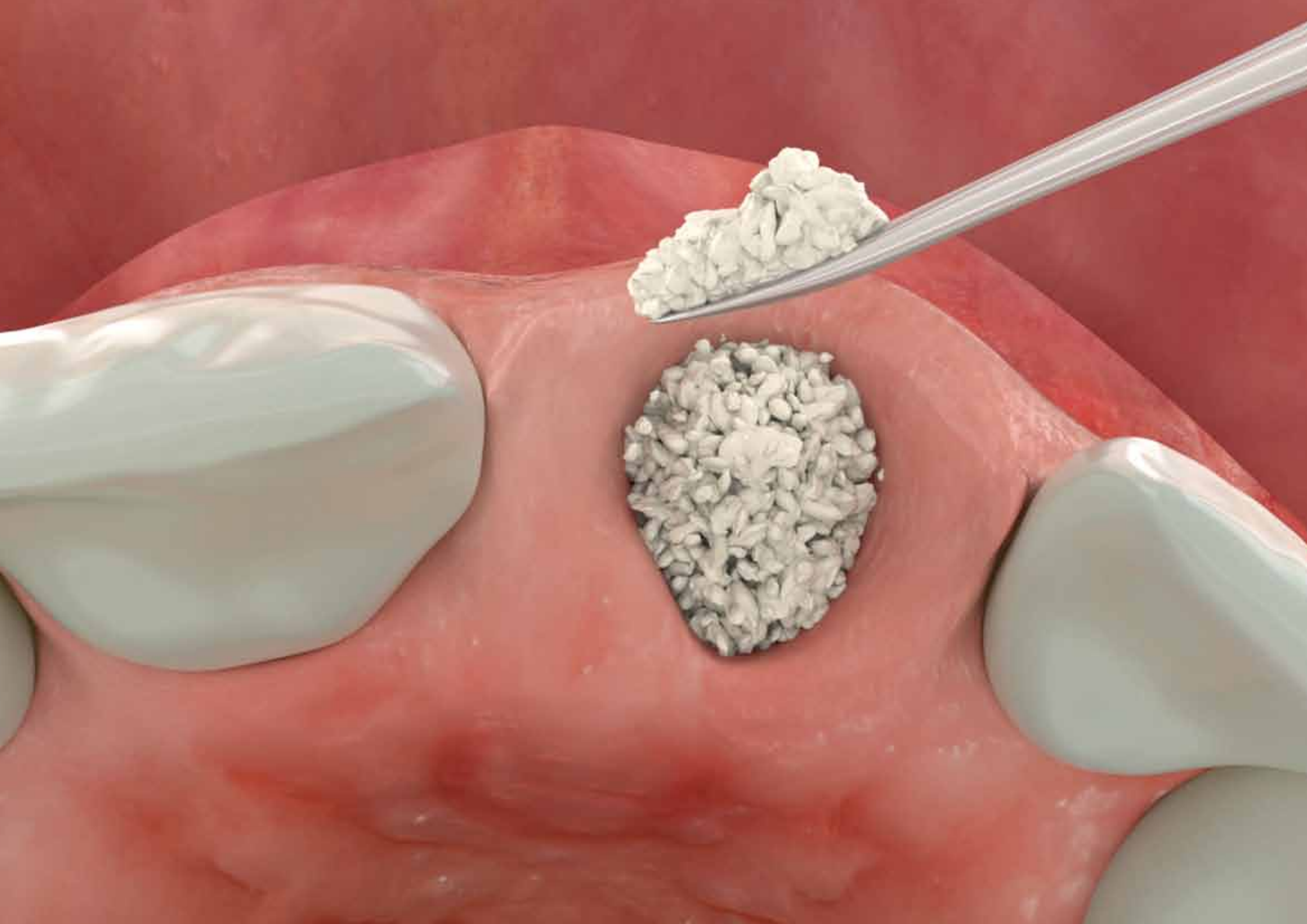
(5) NANNMARK U, AZARMEHR I

SHORT COMMUNICATION: COLLAGENATED CORTICO-CANCELLOUS PORCINE BONE GRAFTS. A STUDY IN RABBIT MAXILLARY DEFECTS

CLIN IMPLANT DENT RELAT RES, 2010 JUN 1; 12(2):161-3

(6) LORENZON G, BUTTARELLO GM, CHESSA G

CASE REPORT: IMPLANT PLACEMENT AND IMMEDIATE LOADING WITH SIMULTANEOUS BONE REGENERATION FOLLOWING JAW ODONTOGENIC CYST ENUCLEATION DENTISTRY, 2015, 5:2



Apatos





Idrossiapatite microcristallina

Osso suino cortico-spongioso, spongioso e corticale



Apatos Spongiosa: osso spongioso Apatos Corticale: osso corticale Apatos Mix: mix osso cortico-spongioso

Collagene tissutale

Degradato

Forma fisica

Granuli radiopachi di idrossiapatite

Composizione

Apatos Spongiosa: 100% osso spongioso Apatos Corticale: 100% osso corticale Apatos Mix: mix cortico-spongioso

Granulometria

600-1000 μm 1000-2000 μm

Tempi di rientro

Circa 5 mesi

Packaging

Spongiosa | Flacone: 0.5 g Corticale | Flacone: 0.5 g, 1.0 g Mix | Flacone: 0.5 g, 1.0 g, 2.0 g

Codici prodotto

Spongiosa | TAPS05 | 1 Flacone | 0.5 g | Suino Corticale | TAPC05 | 1 Flacone | 0.5 g | Suino Corticale | TAPC10 | 1 Flacone | 1.0 g | Suino Mix | TAP05 | 1 Flacone | 0.5 g | Suino Mix | TAP10 | 1 Flacone | 1.0 g | Suino Mix | TAP20 | 1 Flacone | 2.0 g | Suino Mix | TAP20 | 1 Flacone | 2.0 g | Suino Mix | TAP200 | TAPD10 | 1 Flacone | 1.0 g | Suino

GMDN code 46425 **CND code** P900402

Caratteristiche ed uso

CARATTERISTICHE

Apatos è un biomateriale biocompatibile^(1,2), e osteoconduttivo^(3,4) di origine eterologa con caratteristiche simili all'osso umano mineralizzato⁽⁵⁾; può quindi essere utilizzato in alternativa all'osso autologo. La consistenza naturale microporosa di Apatos facilita la formazione di nuovo tessuto osseo nell'area del difetto⁽⁶⁾, accelerandone il fisiologico processo. L'idrossiapatite micro cristallina Apatos è disponibile in granuli spongiosi, corticali e misti.

UTILIZZO

Apatos deve essere sempre reidratato e accuratamente miscelato con poche gocce di soluzione fisiologica per aumentare la stabilità dell'innesto nei difetti non contenitivi; può essere miscelato anche con il sangue del paziente. Inoltre, se necessario, può essere miscelato anche con il farmaco scelto per l'intervento; la miscela così ottenuta deve essere applicata con una spatola sterile o una siringa per biomateriali.

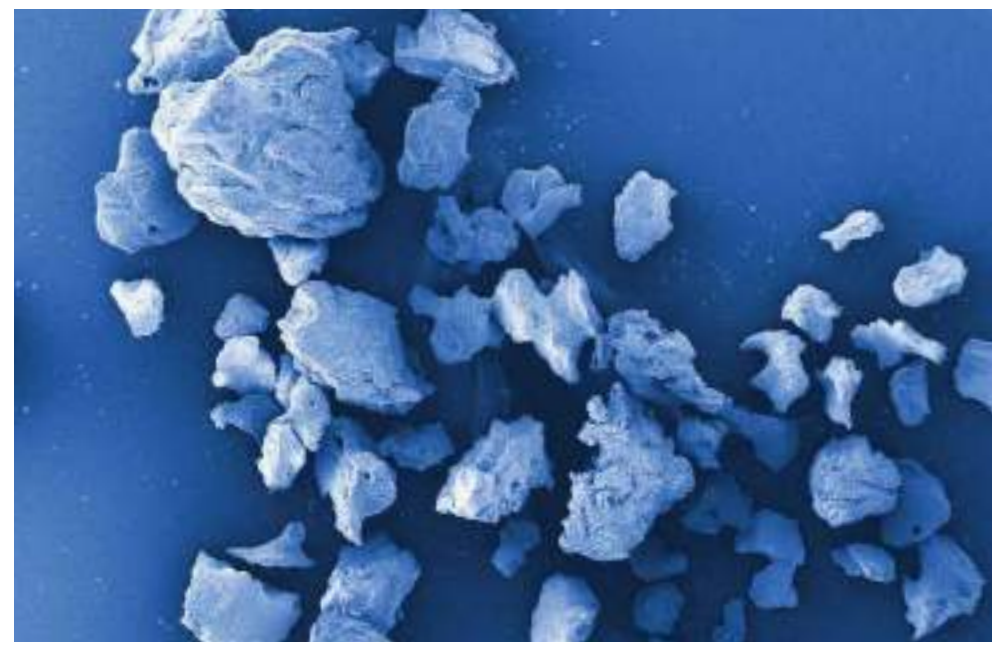


Immagine al SEM di granuli spongiosi di OsteoBiol® Apatos Fonte: Nobil Bio Ricerche, Villafranca d'Asti, Italia



Fonte: Tecnoss® Dental Media Library

Informazioni cliniche





video animazioni gratuite sulla APP OsteoBiol®

Apatos è un riempitivo universale che può essere utilizzato per il trattamento di difetti peri-implantari e difetti a due pareti^(7,8). A causa della sua granulometria, Apatos non può essere usato per piccoli difetti di difficile accesso, ma è ideale per i grandi alveoli, ad esempio nella regione dei molari⁽⁹⁾.

Entrambi i tipi di sinus lift (sia con accesso crestale che laterale)(2,10) possono essere effettuati con Apatos Mix e Cortical, così come le rigenerazioni orizzontali.

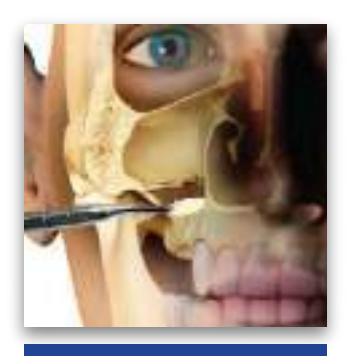
Apatos Corticale si caratterizza per un tempo di riassorbimento molto lungo⁽¹¹⁾, garantendo l'ottimale preservazione del volume di innesto.

Quando necessario, l'innesto di Apatos può essere protetto con OsteoBiol® Evolution⁽¹²⁾ o stabilizzato con la Lamina Corticale

Le informazioni cliniche suindicate sono basate sulla esperienza clinica di chirurghi esperti



Fonte: Tecnoss® Dental Media Library



RIALZO DI SENO MASCELLARE con accesso laterale



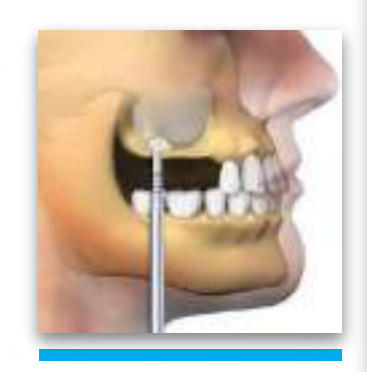
RIGENERAZIONE ALVEOLARE socket preservation



RIGENERAZIONE ORIZZONTALE difetti a due pareti



DEISCENZE E FENESTRAZIONI difetti perimplantari



RIALZO DI SENO PER VIA CRESTALE mini rialzo con osteotomi

BIBLIOGRAFIA

(1) TRUBIANI O, SCARANO A, ORSINI G, DI IORIO D, D'ARCANGELO C, PICCIRILLI M, SIGISMONDO M, CAPUTI S

THE PERFORMANCE OF HUMAN PERIODONTAL LIGAMENT MESENCHYMAL STEM CELLS ON XENOGENIC BIOMATERIALS INT J IMMUNOPATHOL PHARMACOL, 2007 JAN-MAR; 20(1 SUPPL 1):87-91

(2)ORSINI G, SCARANO A, PIATTELLI M, PICCIRILLI M, CAPUTI S, PIATTELLI A HISTOLOGIC AND ULTRASTRUCTURAL ANALYSIS OF REGENERATED BONE IN MAXILLARY SINUS AUGMENTATION USING A PORCINE **BONE-DERIVED BIOMATERIAL**

J PERIODONTOL, 2006 DEC;77(12):1984-90

(3) BRUNELLI G, SOLLAZZO V, CARINCI F, PALMIERI A, GIRARDI A, MONGUZZI R

OSTEOBIOL® INFLUENCES OSTEOGENIC DIFFERENTIATION OF ADIPOSE DERIVED STEM CELLS

EUR J INFLAMM, 2011, VOL. 9, NO. 3(S), 103-107

(4) CAKIR M, KARACA IR, AYSEGÜL F, KAYMAZ F, BOZKAYA S

EXPERIMENTAL EVALUATION OF THE EFFECTS OF ANKAFERD BLOOD STOPPER AND COLLAGENATED HETEROLOGOUS BONE GRAFT ON BONE HEALING IN SINUS FLOOR AUGMENTATION CLIN ORAL IMPLANTS RES, 2015 MAR-APR;30(2):279-85

(5) KOLMAS J, SZWAJA M, KOLODZIEJSKI W

SOLID-STATE NMR AND IR CHARACTERIZATION OF COMMERCIAL XENOGENEIC BIOMATERIALS USED AS BONE SUBSTITUTES J PHARM BIOMED ANAL, 2012 MAR 5;61:136-41

(6) BARONE A, TOTI P. QUARANTA A, ALFONSI F. CUCCHI A, NEGRI B. DI FELICE R, MARCHIONNI S, CALVO GUIRADO JL, COVANI U,

CLINICAL AND HISTOLOGICAL CHANGES AFTER RIDGE PRESERVATION WITH TWO XENOGRAFTS: PRELIMINARY RESULTS FROM A MULTICENTER RANDOMIZED CONTROLLED CLINICAL

J CLIN PERIODONTOL, 2017 FEB;44(2):204-214

(7) BARONE A, AMERI S, COVANI U

IMMEDIATE POSTEXTRACTION IMPLANTS: TREATMENT OF RESIDUAL PERI-IMPLANT DEFECTS. A RETROSPECTIVE ANALYSIS EUR J IMPLANT PROSTHODONTICS, 2006,2: 99-106

(8) BARONE A, TOTI P, QUARANTA A, DERCHI G, COVANI U

THE CLINICAL OUTCOMES OF IMMEDIATE VERSUS DELAYED RESTORATION PROCEDURES ON IMMEDIATE IMPLANTS: A COMPARATIVE COHORT STUDY FOR SINGLE-TOOTH REPLACEMENT CLIN IMPLANT DENT RELAT RES, 2015 DEC;17(6):1114-26

(9) BARONE A, TOTI P, QUARANTA A, ALFONSI F, CUCCHI A, CALVO GUIRADO JL, NEGRI B, DI FELICE R, COVANI U

VOLUMETRIC ANALYSIS OF REMODELLING PATTERN AFTER RIDGE PRESERVATION COMPARING USE OF TWO TYPES OF XENOGRAFTS. A MULTICENTRE RANDOMIZED CLINICAL TRIAL

CLIN IMPLANT DENT RELAT RES, 2015 DEC;17(6):1114-26

(10) IEZZI G. DEGIDI M. PIATTELLI A. MANGANO C. SCARANO A. SHIBLI JA, PERROTTI V

COMPARATIVE HISTOLOGICAL RESULTS OF DIFFERENT BIOMATERIALS USED IN SINUS AUGMENTATION PROCEDURES: A **HUMAN STUDY AT 6 MONTHS**

CLIN ORAL IMPLANTS RES, 2012 DEC;23(12)1369-76

(11) SCARANO A, PIATTELLI A, PERROTTI V, MANZON L, IEZZI G MAXILLARY SINUS AUGMENTATION IN HUMANS USING CORTICAL PORCINE BONE: A HISTOLOGICAL AND HISTOMORPHOMETRICAL **EVALUATION AFTER 4 AND 6 MONTHS**

CLIN IMPLANT DENT RELAT RES. 2011 MAR: 13(1):13-18

(12) MARCONCINI S, GIAMMARINARO E, DERCHI G, ALFONSI F, COVANI U. BARONE A

CLINICAL OUTCOMES OF IMPLANTS PLACED IN RIDGE-PRESERVED VERSUS NONPRESERVED SITES: A 4-YEAR RANDOMIZED CLINICAL TRIAL CLIN IMPL DENT RELAT RES, 2018 Dec;20(6):906-914

BLOCCHI

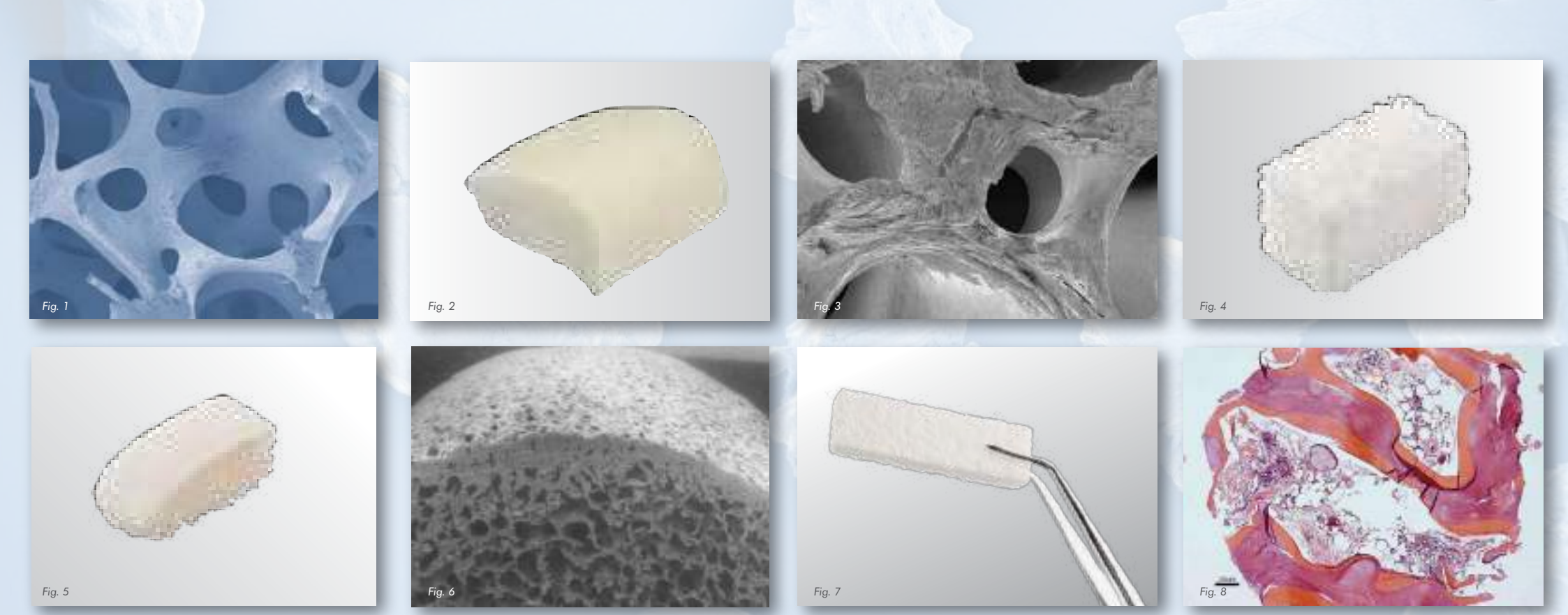


Fig. 1,8 Autore: Prof Ulf Nannmark, University of Göteborg, Svezia | Fig. 2,4,5,7 Fonte: Tecnoss® Dental Media Library | Fig. 3,6 Fonte: Politecnico di Torino, Italia

Blocchi di osso OsteoBiol®

Sp-Block

osso spongioso collagenato

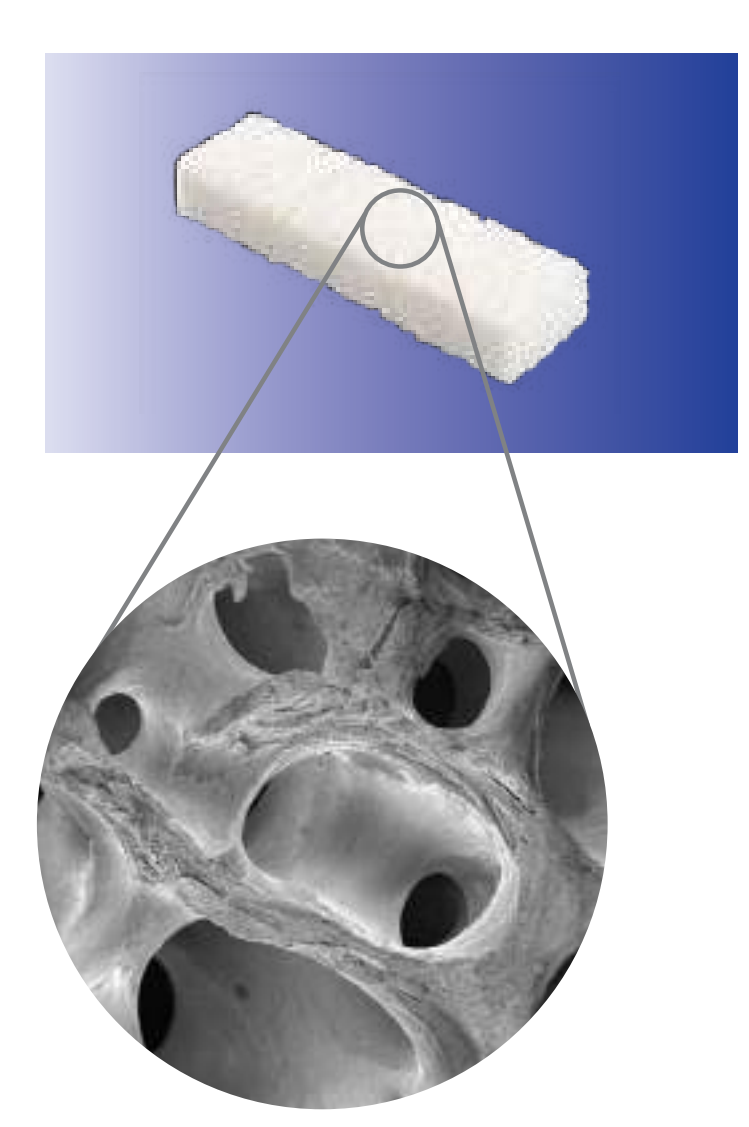


Immagine SEM di OsteoBiol® Sp-Block. Ingrandimento 200x.
Fonte: Politecnico di Torino, Italia
Per informazioni su OsteoBiol® Sp-Block vedere pag 54

Dual-Block

Osso cortico-spongioso collagenato

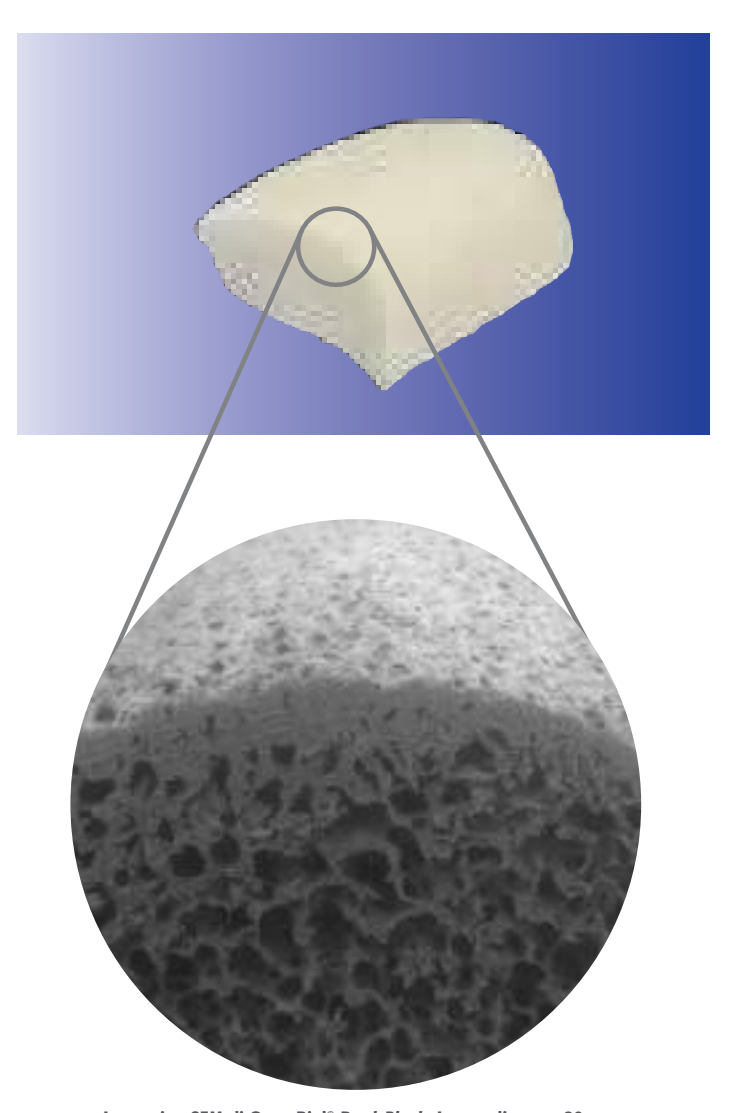
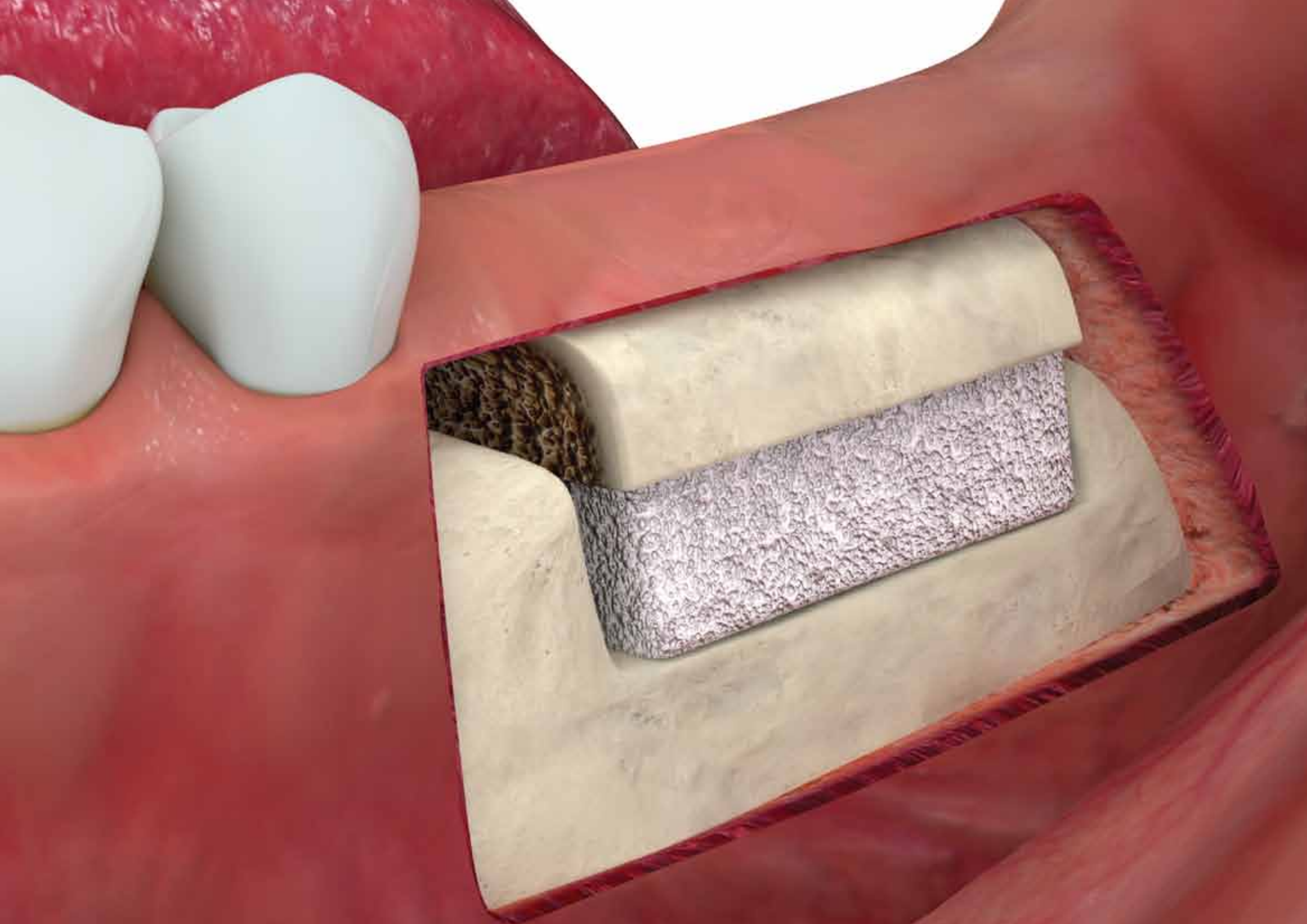


Immagine SEM di OsteoBiol® Dual-Block. Ingrandimento 20x.
Fonte: Politecnico di Torino, Italia
Per informazioni su OsteoBiol® Dual-Block vedere pag 54



Sp-Block

Blocco spongioso per la tecnica inlay nella mandibola





Eccellenti proprietà osteoconduttive





Dual-Block

Scaffold cortico-spongioso per la rigenerazione orizzontale del mascellare







Osso spongioso eterologo

Collagene tissutale

Preservato

Forma fisica

Blocco rigido essiccato

Composizione

Osso spongioso collagenato

Tempi di rientro

Circa 8 mesi, variabile a seconda delle caratteristiche e del grado di vascolarizzazione del sito di innesto, nonché a seconda delle condizioni cliniche del paziente

Packaging

Blister sterile

Codici prodotto

TSB1010E	10x10x10 mm	Equino
	10x10x20 mm	
TSB2010E	10x20x20 mm	Equino
TSB3505E	35x10x5 mm	Equino

GMDN code CND code 46425 P900402

Caratteristiche, uso ed informazioni cliniche



Blocco di osso eterologo spongioso collagenato prodotto mediante l'esclusivo processo Tecnoss® che evita la ceramizzazione dei cristalli di idrossiapatite, accelerando così il riassorbimento fisiologico. Sp-Block supporta la formazione di nuovo osso⁽¹⁾: grazie alla sua consistenza rigida, è in grado di mantenere nel tempo il volume dell'innesto originale, il che è particolarmente importante in caso di rigenerazioni ampie. Inoltre, il suo contenuto di collagene facilita il coagulo ematico e la successiva invasione di cellule rigenerative e riparative, favorendo la restitutio ad integrum dell'osso mancante.



Prima dell'uso, Sp-Block deve essere reidratato per 5/10 minuti in soluzione fisiologica sterile tiepida o contenente antibiotici. Successivamente, può essere adattato al sito ricevente che deve essere accuratamente decorticato al fine di garantire il massimo contatto; il blocco deve essere sempre fissato con microviti da osteosintesi e deve essere protetto con una membrana riassorbibile (Evolution).

INFORMAZIONI CLINICHE

Sp-Block è stato documentato per la rigenerazione verticale di mandibole posteriori atrofiche con tecnica inlay⁽²⁻⁴⁾ al fine di ottenere un incremento osseo massimo di 5 mm. I gaps attorno al blocco possono essere riempiti con biomateriale in granuli; l'area innestata viene stabilizzata con placche e viti per osteosintesi e protetta con membrana.

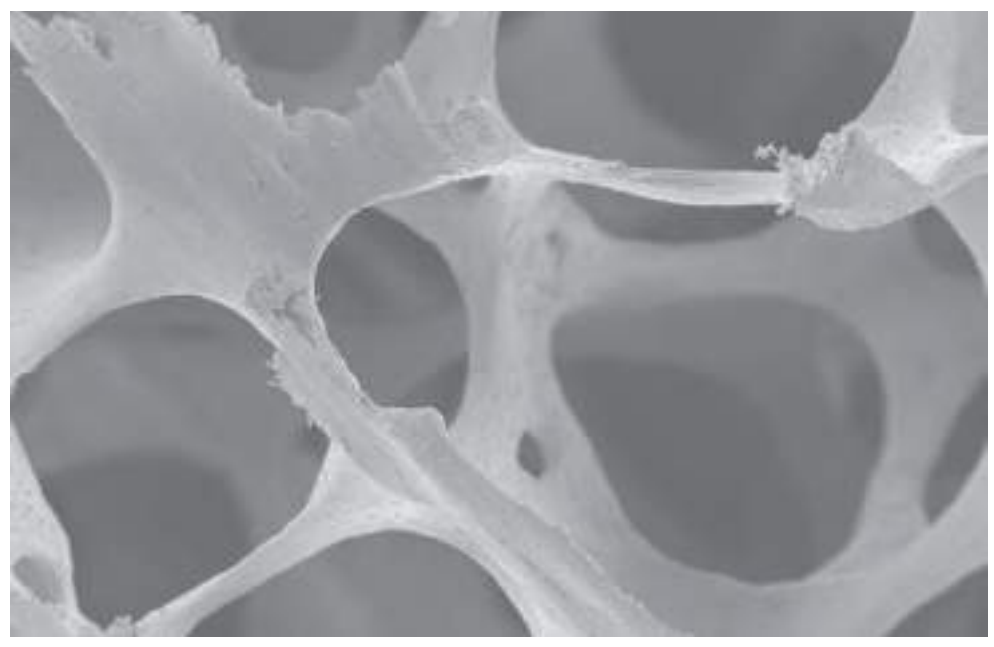


Immagine SEM di blocco spongioso OsteoBiol® Autore: Prof Ulf Nannmark, Università di Göteborg, Svezia

BIBLIOGRAFIA

(1) SCARANO A, LORUSSO F, RAVERA L, MORTELLARO C, PIATTELLI A

BONE REGENERATION IN ILIAC CRESTAL DEFECTS: AN EXPERIMENTAL STUDY ON SHEEP

BIOMED RES INT, 2016;2016:4086870

(2) ESPOSITO M, BARAUSSE C, PISTILLI R, PIATTELLI M, DI SIMONE S, IPPOLITO DR, FELICE P

POSTERIOR ATROPHIC JAWS REHABILITATED WITH PROSTHESES SUPPORTED BY 5 X 5 MM IMPLANTS WITH A NOVEL NANOSTRUCTURED CALCIUM-INCORPORATED TITANIUM SURFACE OR BY LONGER IMPLANTS IN AUGMENTED BONE. FIVE-YEAR RESULTS FROM A RANDOMISED CONTROLLED TRIAL

INT J OF ORAL IMPLANTOL, 2019;12(1):39-54

(3) FELICE P, BARAUSSE C, BARONE A, ZUCCHELLI G, PIATTELLI M, PISTILLI R, IPPOLITO DR, SIMION M

INTERPOSITIONAL AUGMENTATION TECHNIQUE IN THE TREATMENT OF POSTERIOR MANDIBULAR ATROPHIES: A RETROSPECTIVE STUDY COMPARING 129 AUTOGENOUS AND HETEROLOGOUS BONE BLOCKS WITH 2 TO 7 YEARS FOLLOW-UP

INT J PERIODONTICS RESTORATIVE DENT, 2017 JUL/AUG;37(4):469-480

(4) BARONE A, TOTI P, MENCHINI FABRIS GB, MARCHIONNI S, COVANI U

EARLY VOLUMETRIC CHANGES AFTER VERTICAL AUGMENTATION OF THE ATROPHIC POSTERIOR MANDIBLE WITH INTERPOSITIONAL BLOCK GRAFT VERSUS ONLAY BONE GRAFT: A RETROSPECTIVE RADIOLOGICAL STUDY J CRANIO-MAXILLOFAC, 2017 SEP,45(9):1438-1447



RIGENERAZIONE VERTICALE tecnica inlay

Caratteristiche, uso ed informazioni cliniche





video animazioni gratuite sulla APP OsteoBiol®



Dual-Block blocco un cortico-spongioso di origine suina con caratteristiche osteoconduttive. Può essere utilizzato quando è necessario rigenerare volumi consistenti. Grazie al suo contenuto di collagene che facilita il coagulo ematico e la successiva invasione di cellule rigenerative e riparative(1), il blocco offre un adeguato supporto alla ricostruzione tissutale ed è gradualmente riassorbito, mentre l'osso neoformato viene prodotto dagli osteoblasti.

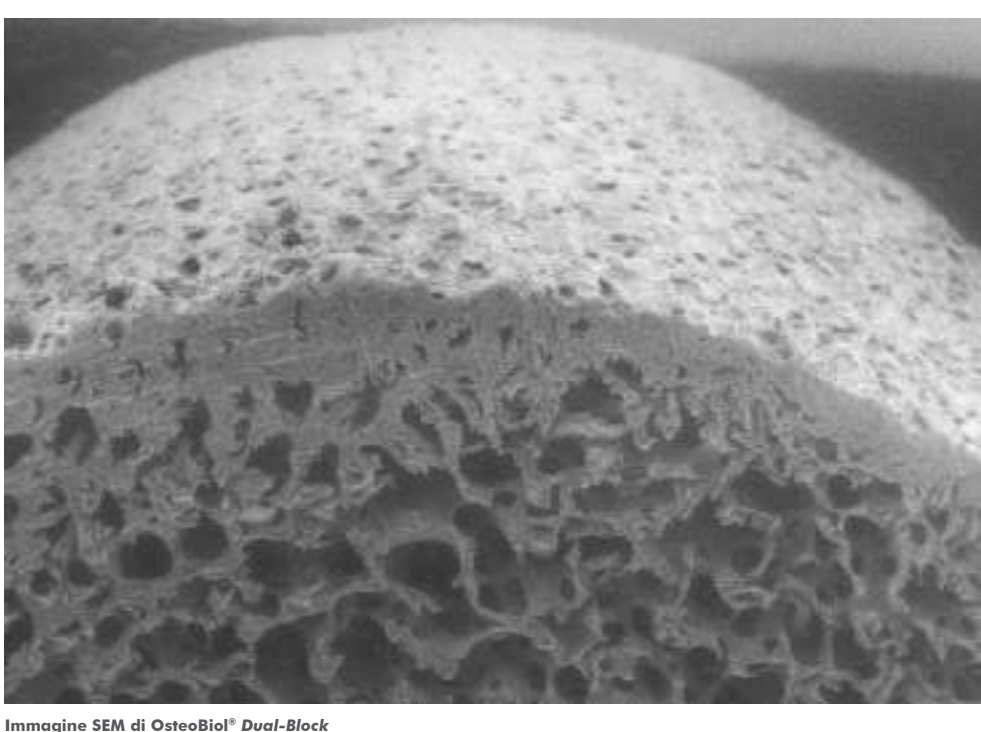
UTILIZZO

Prima dell'uso, *Dual-Block* deve essere reidratato in soluzione fisiologica sterile tiepida o contenente antibiotici (5/10 minuti per il modello Soft; fino a 40 minuti per il modello Norm).

Successivamente il blocco deve essere adattato al sito ricevente che deve essere accuratamente decorticato al fine di garantire il massimo contatto; il blocco deve essere sempre fissato con microviti da osteosintesi e deve essere protetto con una barriera riassorbibile (membrana Evolution).



OsteoBiol® Dual-Block
Fonte: Tecnoss® Dental Media Library



Fonte: Politecnico di Torino, Italia

INFORMAZIONI CLINICHE

Dual-Block può essere innestato con la tecnica onlay esclusivamente per incrementare orizzontalmente il mascellare riassorbito con morfologia "a lama di coltello". I gaps attorno al blocco possono essere riempiti con un biomateriale in granuli per raggiugere il volume e contorno desiderato del sito ricevente innestato.

Le informazioni cliniche suindicate sono basate sulla esperienza clinica di chirurghi esperti

BIBLIOGRAFIA

(1) MANESCU A, GIULIANI A, MOHAMMADI S, TROMBA G, MAZZONI S, DIOMEDE F, ZINI N, PIATTELLI A, TRUBIANI O

OSTEOGENIC POTENTIAL OF DUAL-BLOCKS CULTURED WITH HUMAN PERIODONTAL LIGAMENT STEM CELLS: IN VITRO AND SYNCHROTRON

J PERIODONTAL RES, 2016 Feb;51(1):112-24



RIGENERAZIONE ORIZZONTALE tecnica onlay



Tessuto di origine

Osso cortico-spongioso eterologo

Collagene tissutale

Preservato

Forma fisica

Blocco rigido essiccato

Composizione

Osso cortico-spongioso collagenato

Tempi di rientro

Circa 8 mesi, variabile a seconda delle caratteristiche e del grado di vascolarizzazione del sito di innesto, nonché a seconda delle condizioni cliniche del paziente

Packaging

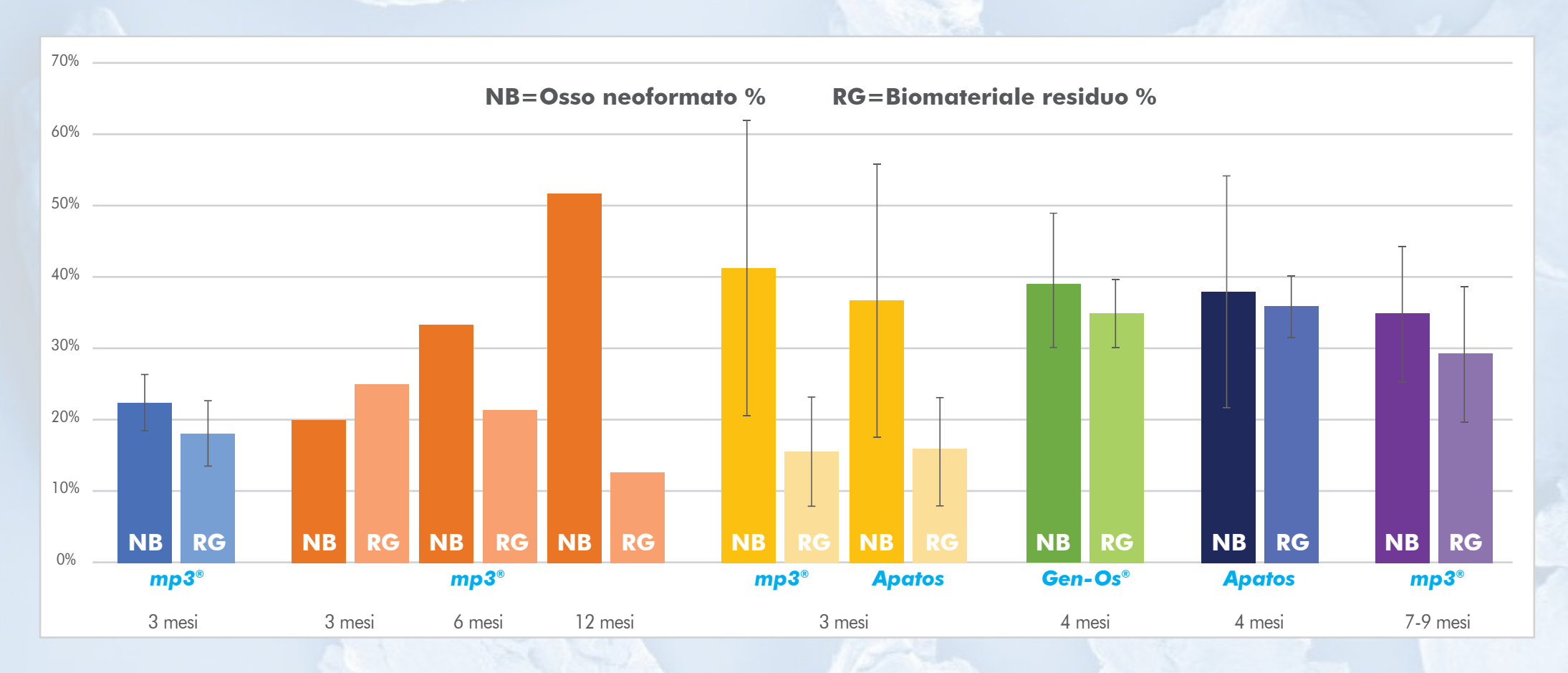
Blister sterile

Codici prodotto

TDBS | 20x15x5 mm | Soft | Suino curvo TDBN | 20x10x5 mm | Norm | Suino curvo

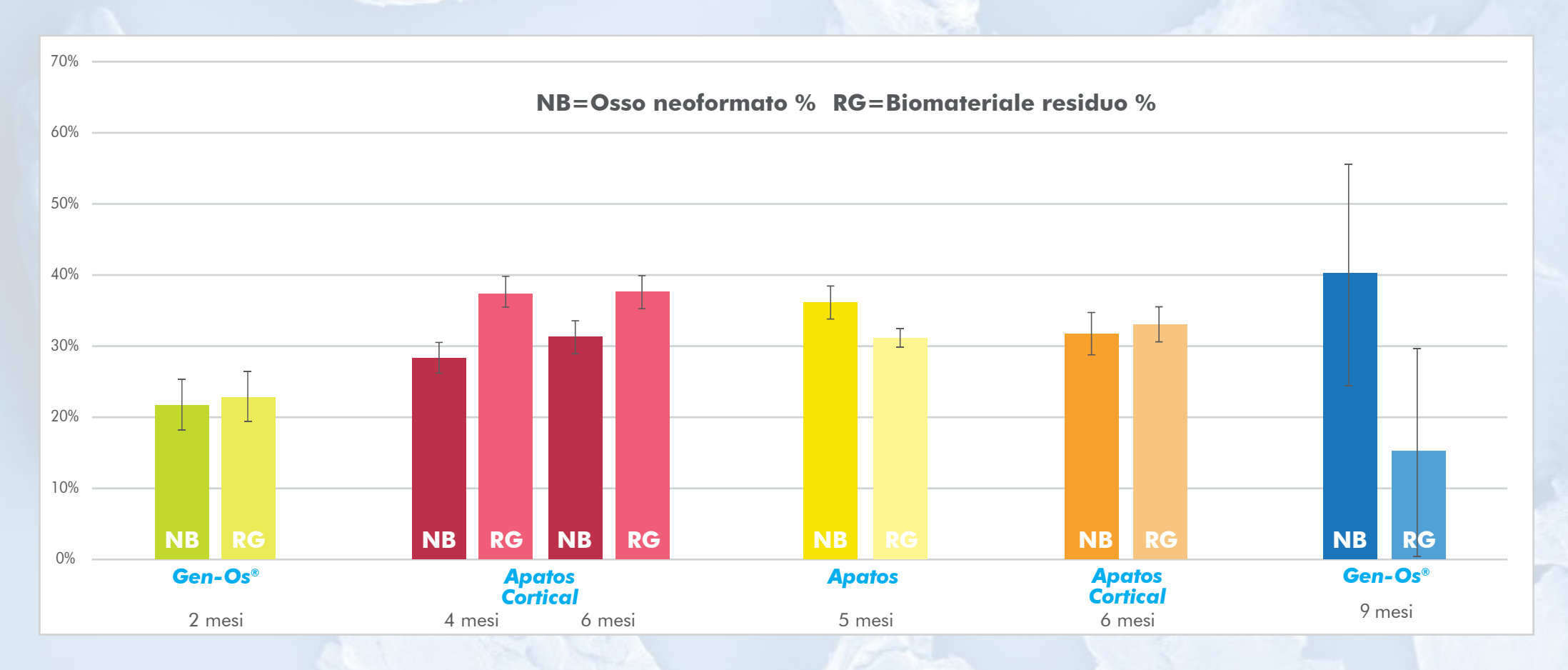
GMDN code CND code 46425 P900402

Risultati istologici nella rigenerazione alveolare



- A) Barone A et al. Flap versus flapless procedure for ridge preservation in alveolar extraction sockets: a histological evaluation in a randomized clinical trial Clinical Oral Implants Research, 2015 Jul;26(7):806-13
- B) Giuliani A et al. Regenerative properties of collagenated porcine bone grafts in human maxilla: demonstrative study of the kinetics by synchrotron radiation microtomography and light microscopy Clinical Oral Investigations, 2018 Jan;22(1):505-513
- C) Barone A et al. Clinical and histological changes after ridge preservation with two xenografts: preliminary results from a multicenter randomized controlled clinical trial Journal of Clinical Periodontology, 2017 Feb;44(2):204-214
- D) Crespi R et al. Corticocancellous porcine bone in the healing of human extraction sockets: combining histomorphometry with osteoblast gene expression profiles in vivo Int Journal of Oral and Maxillofacial Implants, 2011 Jul Aug; 26(4):866-72
- E) Crespi R et al. Comparison of magnesium-enriched hydroxyapatite and porcine bone in human extraction socket healing: a histologic and histomorphometric evaluation Int Journal of Oral and Maxillofacial Implants, 2011 Sep-Oct;26(5):1057-62
- F) Barone A et al. Xenograft versus extraction alone for ridge preservation after tooth removal: a clinical and histomorphometric study Journal of Periodontology, 2008 Aug; 79(8):1370-7

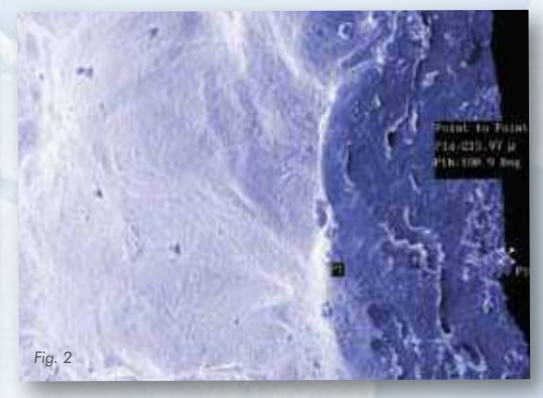
Risultati istologici nel sinus lift



- A) Cassetta M et al. Bone formation in sinus augmentation procedures using autologous bone, porcine bone, and a 50 : 50 mixture: a human clinical and histological evaluation at 2 months Clinical Oral Implants Research, 2015 Oct; 26(10):1180-4
- **B)** Scarano A et al. Maxillary sinus augmentation in humans using cortical porcine bone: a histological and histomorphometrical evaluation after 4 and 6 months Clinical Implant Dentistry and Related Research, 2011 Mar; 13(1):13-18
- C) Orsini G et al. Histologic and ultrastructural analysis of regenerated bone in maxillary sinus augmentation using a porcine bone-derived biomaterial Journal of Periodontology, 2006 Dec; 77(12):1984-90
- D) lezzi G et al. Comparative histological results of different biomaterials used in sinus augmentation procedures: a human study at 6 months Clinical Oral Implants Research, 2012 Dec;23(12):1369-76
- E) Tanaka K et al. Sinus floor elevation and antrostomy healing: a histomorphometric clinical study in humans Implant dentistry, 2019 Dec; 28(6):537-542

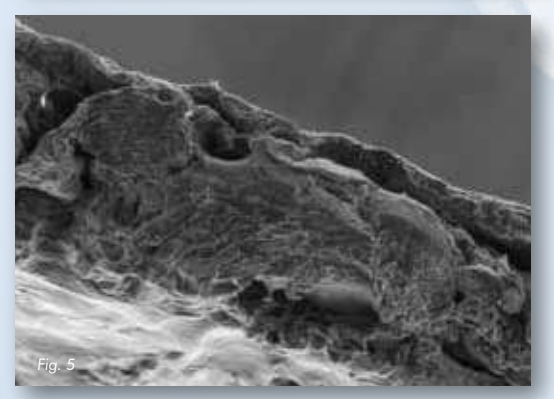
MEMBRANE E BARRIERE

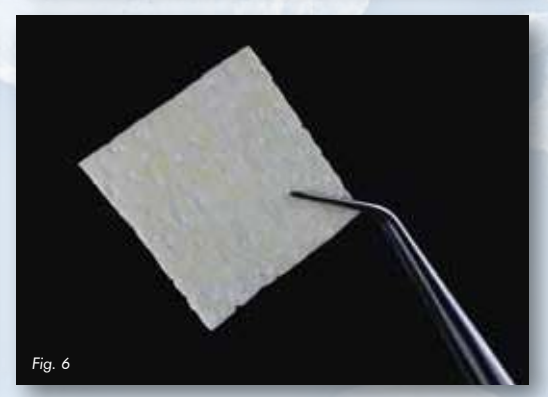


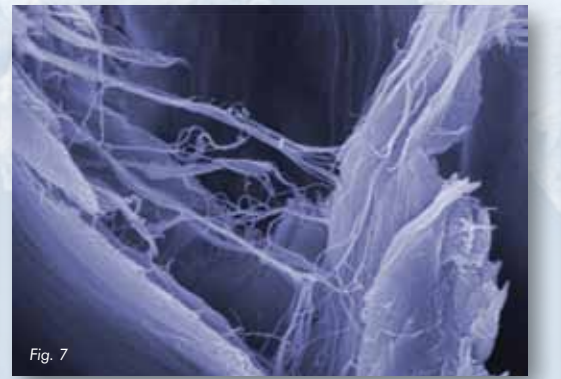












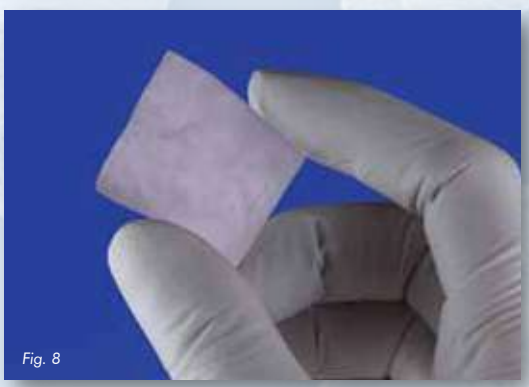


Fig. 1,3,6,8 Fonte: Tecnoss® Dental Media Library | Fig. 2,4,7 Fonte: Nobil Bio Ricerche, Villafranca d'Asti, Italia | Fig. 5 Fonte: Politecnico di Torino, Italia

MEMBRANE

Evolution

Tessuto eterologo mesenchimale



Membrana essiccata con un lato liscio e uno micro-rugoso

Per ulteriori informazioni su OsteoBiol® Evolution vedere pag. 62

Derma

Derma suino



Membrana essiccata

Per ulteriori informazioni su OsteoBiol[©] Derma vedere pag. 66

Special

Pericardio eterologo



Membrana essiccata traslucida

Per ulteriori informazioni su OsteoBiol[®] Special vedere pag. 74

BARRIERE

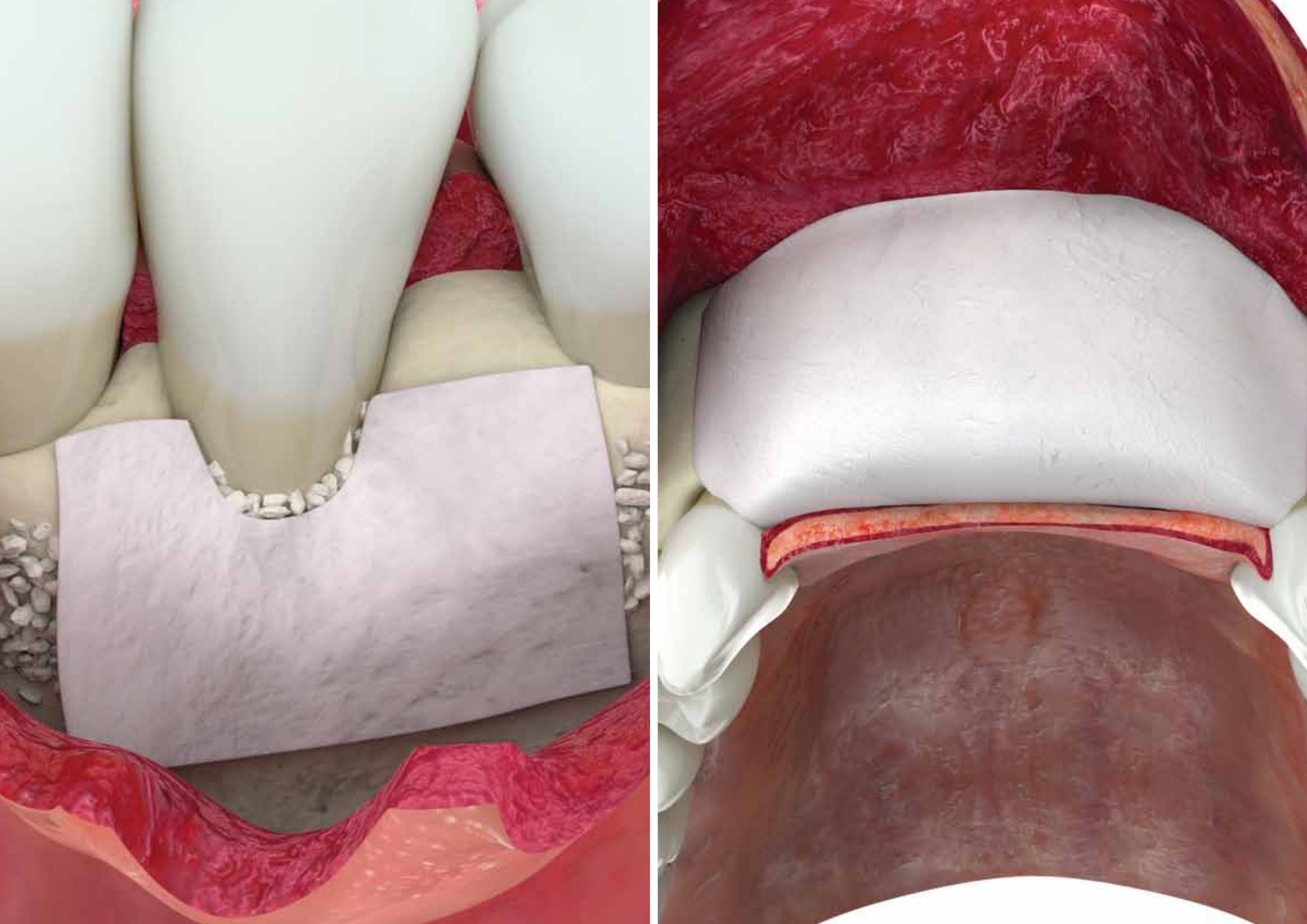
Lamina

Osso corticale



Lamina essiccata semi-rigida e rigida

Per ulteriori informazioni su OsteoBiol[®] Lamina vedere pag. 70



Evolution





La naturale evoluzione delle membrane in collagene

Tessuto eterologo mesenchimale





Tessuto mesenchimale eterologo

Collagene tissutale

Preservato

Forma fisica

Membrana essiccata con un lato liscio e uno micro-rugoso

Spessori

X-Fine: 0.2 mm Fine: 0.3 mm Standard: 0.4 mm

Tempi di riassorbimento

X-Fine: circa 2 mesi Fine: circa 3 mesi Standard: circa 4 mesi

Dimensioni

20x20 mm, 30x30 mm, 25x35 mm (ovale)

Codici prodotto

TEVS20 | 20x20 mm | Standard | Suina
TEVF20E | 20x20 mm | Fine | Equina
TEVS30 | 30x30 mm | Standard | Suina
TEVF30E | 30x30 mm | Fine | Equina
TEVX30T | 30x30 mm | X-Fine | Suina | 3 pz
TEVS2535 | 25x35 mm (ovale) | Standard | Suina
TEVF2535E | 25x35 mm (ovale) | Fine | Equina

GMDN code 46425 **CND code** P900402

Caratteristiche ed uso

CARATTERISTICHE

Ottenuta da tessuto mesenchimale eterologo la membrana *Evolution* è gradualmente riassorbibile⁽¹⁾. La sua struttura di fibre di collagene dense ha un'elevata consistenza e una straordinaria resistenza che offrono al chirurgo specialista:

- la massima adattabilità al tessuto osseo e ai tessuti molli
- una facile e sicura suturabilità ai tessuti circostanti
- la miglior interfaccia membrana/osso e membrana/periostio
- stabilità e protezione prolungata dell'innesto sottostante
- stabilizzazione e isolamento del coagulo⁽²⁾

UTILIZZO

La membrana può essere sagomata alla forma desiderata mediante forbici sterili; successivamente, deve essere idratata in soluzione fisiologica tiepida. Una volta acquisita la plasticità desiderata, deve essere adattata al sito d'innesto.

N.B.: in caso di esposizione accidentale, la densa matrice collagenica di *Evolution* protegge l'innesto dall'infezione; la membrana stessa non si infetterà, permettendo la guarigione per seconda intenzione⁽³⁻⁵⁾.

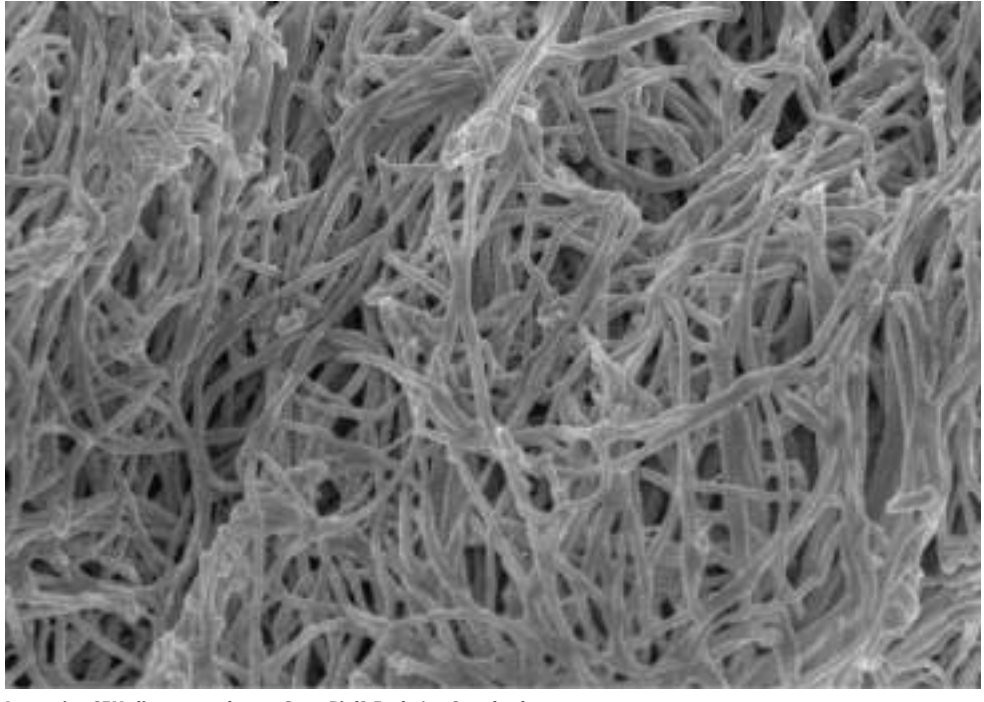
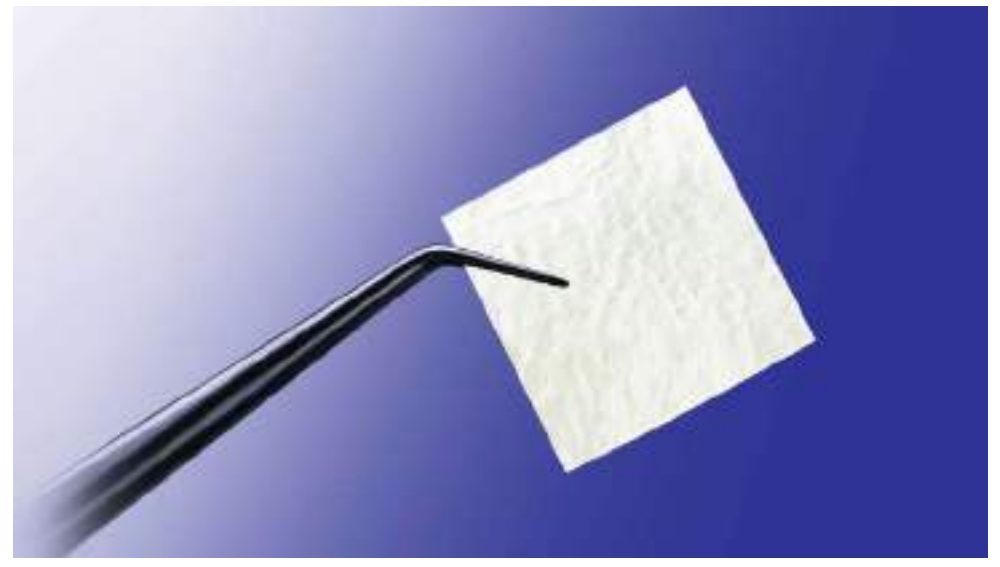


Immagine SEM di una membrana OsteoBiol® Evolution Standard Fonte: Politecnico di Torino, Italia



Fonte: Tecnoss® Dental Media Library

Informazioni cliniche

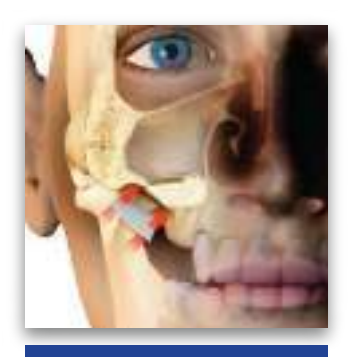


Evolution deriva tessuto eterologo mesenchimale ed completamente riassorbibile. Studi sperimentali hanno dimostrato l'evidenza istologica dell'effetto barriera prolungato di questa membrana, che dura almeno 8 settimane⁽¹⁾ proteggendo l'innesto da agenti esterni.

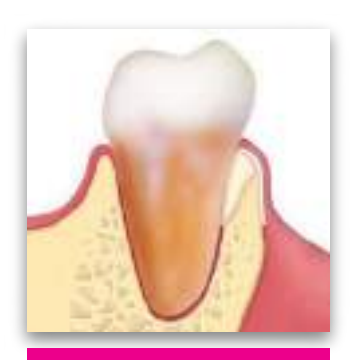
Questa caratteristica è importante soprattutto in caso di rigenerazione di alveoli posteriori ampi con tecnica flap less^(3,5): in questi casi il modello standard ha dimostrato di essere il più efficace.

Nel rialzo di seno con accesso laterale, le membrane Evolution sono state documentate per coprire l'antrostomia (modello Standard)^(6,7) e proteggere la membrana del seno dal rischio di lacerazione a causa della pressione dell'innesto (modello Fine)⁽⁸⁾.

Evolution può essere utilizzata per proteggere le rigenerazioni implantari⁽⁹⁾ e gli innesti parodontali⁽¹⁰⁾. Inoltre, la membrana Evolution Fine è stata utilizzata con successo per proteggere il blocco spongioso Sp-Block nella rigenerazione verticale con tecnica inlay $^{(11)}$.



SINUS LIFT grande rialzo con accesso laterale



RIGENERAZIONE PARODONTALE difetti infraossei



RIGENERAZIONE ORIZZONTALE difetti a due pareti



video animazioni gratuite sulla APP OsteoBiol®

DEISCENZE E FENESTRAZIONI lesioni peri-implantari



RIGENERAZIONE ALVEOLARE socket preservation



RIGENERAZIONE VERTICALE tecnica inlay

BIBLIOGRAFIA

(1) NANNMARK U. SENNERBY L

THE BONE TISSUE RESPONSES TO PREHYDRATED AND COLLAGENATED CORTICO-CANCELLOUS PORCINE BONE GRAFTS: A STUDY IN RABBIT MAXILLARY DEFECTS

CLIN IMPLANT DENT RELAT RES. 2008 DEC:10(4):264-70

(2) KILINC A, ATAOL M

HOW EFFECTIVE IS COLLAGEN RESORBABLE MEMBRANE PLACEMENT AFTER PARTIALLY IMPACTED MANDIBULAR THIRD MOLAR SURGERY ON POSTOPERATIVE MORBIDITY? A PROSPECTIVE RANDOMIZED COMPARATIVE STUDY

BMC ORAL HEALTH, 2017 OCT 5;17(1):126

(3) BARONE A, BORGIA V, COVANI U, RICCI M, PIATTELLI A, IEZZI G FLAP VERSUS FLAPLESS PROCEDURE FOR RIDGE PRESERVATION IN ALVEOLAR EXTRACTION SOCKETS: A HISTOLOGICAL EVALUATION

IN A RANDOMIZED CLINICAL TRIAL

CLIN ORAL IMPLANTS RES, 2015 JUL;26(7):806-13

(4) BARONE A, RICCI M, TONELLI P, SANTINI S, COVANI U

TISSUE CHANGES OF EXTRACTION SOCKETS IN HUMANS: A COMPARISON OF SPONTANEOUS HEALING VS. RIDGE PRESERVATION WITH SECONDARY SOFT TISSUE HEALING

CLIN ORAL IMPLANTS RES. 2013 NOV:24(11):1231-7

(5) GIULIANI A, IEZZI G, MAZZONI S, PIATTELLI A, PERROTTI V, BARONE A REGENERATIVE PROPERTIES OF COLLAGENATED PORCINE BONE GRAFTS IN HUMAN MAXILLA: DEMONSTRATIVE STUDY OF THE KINETICS BY SYNCHROTRON RADIATION MICROTOMOGRAPHY AND LIGHT MICROSCOPY

CLIN ORAL INVEST, 2017 2018 JAN;22(1):505-513

(6) BARONE A, RICCI M, GRASSI RF, NANNMARK U, QUARANTA A,

A 6-MONTH HISTOLOGICAL ANALYSIS ON MAXILLARY SINUS AUGMENTATION WITH AND WITHOUT USE OF COLLAGEN MEMBRANES OVER THE OSTEOTOMY WINDOW: RANDOMIZED CLINICAL TRIAL

CLIN ORAL IMPLANTS RES, 2013 JAN;24(1):1-6

(7) SCARANO A, PIATTELLI A, PERROTTI V, MANZON L, IEZZI G MAXILLARY SINUS AUGMENTATION IN HUMANS USING CORTICAL PORCINE BONE: A HISTOLOGICAL AND HISTOMORPHOMETRICAL **EVALUATION AFTER 4 AND 6 MONTHS**

CLIN IMPLANT DENT RELAT RES, 2011 MAR; 13(1):13-18

(8) CASSETTA M, RICCI L, IEZZI G, CALASSO S, PIATTELLI A, PERROTTI V USE OF PIEZOSURGERY DURING MAXILLARY SINUS ELEVATION: **CLINICAL RESULTS OF 40 CONSECUTIVE CASES**

INT J PERIODONTICS RESTORATIVE DENT, 2012 DEC:32(6):E182-8

(9) BARONE A. MARCONCINI S. GIAMMARINARO E. MIJIRITSKY E. GELPI F, COVANI U

CLINICAL OUTCOMES OF IMPLANTS PLACED IN EXTRACTION SOCKETS AND IMMEDIATELY RESTORED: A 7-YEAR SINGLE-COHORT PROSPECTIVE

CLIN IMPLANT DENT RELAT RES, 2016 DEC;18(6):1103-1112

(10) ESPOSITO M, GRUSOVIN MG, LAMBERT F, MATOS S, PIETRUSKA M, ROSSI R. SALHI L. BUTI J

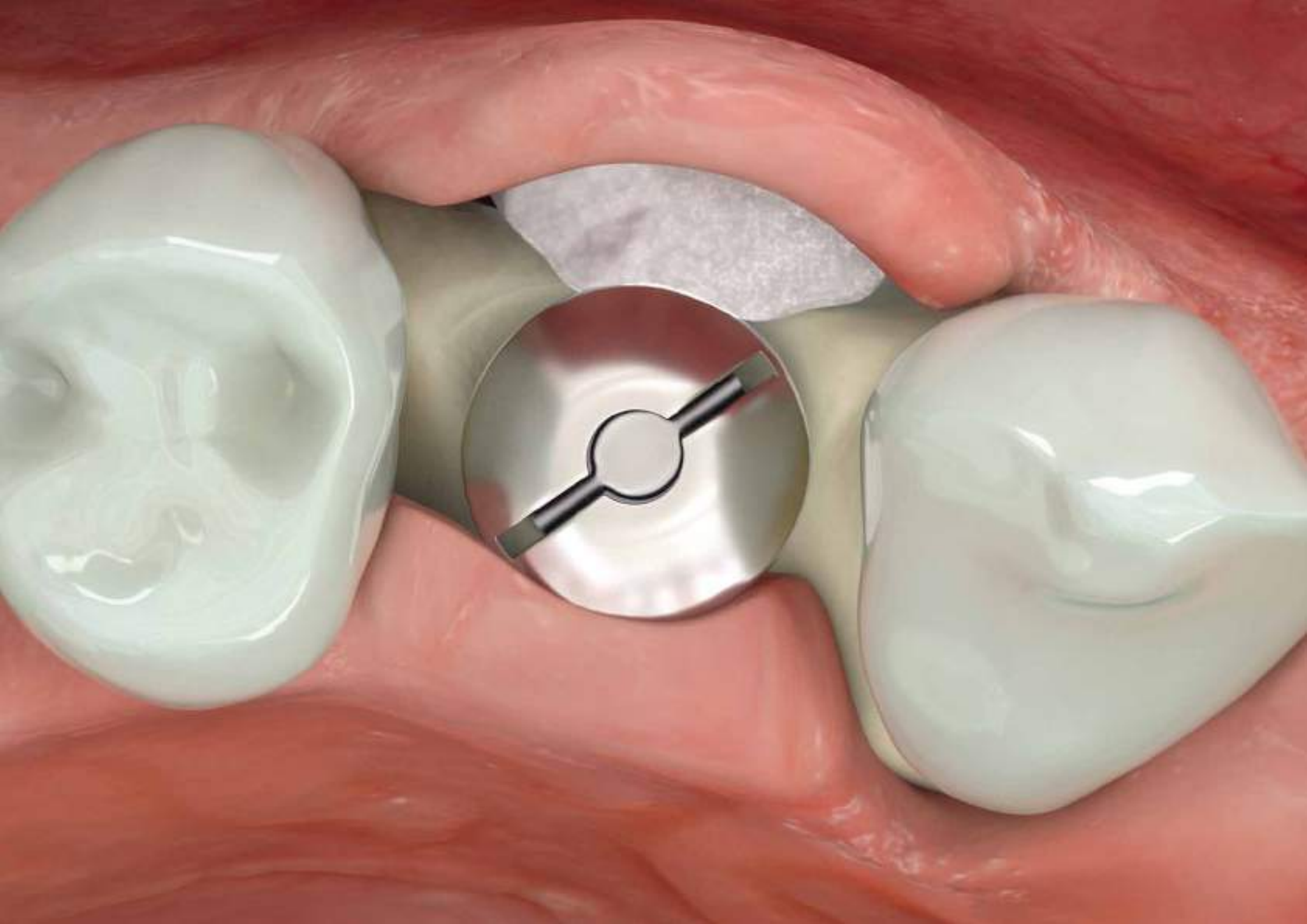
THE EFFECTIVENESS OF A RESORBABLE BONE SUBSTITUTE WITH A RESORBABLE MEMBRANE IN THE TREATMENT OF PERIODONTAL INFRABONY DEFECT - A MULTICENTER RANDOMISED CONTROLLED TRIAL

EUR J ORAL IMPLANTOL, 2015;8(3):233-244

(11) FELICE P, PIANA L, CHECCHI L, CORVINO V, NANNMARK U, PIATTELLI M VERTICAL RIDGE AUGMENTATION OF ATROPHIC POSTERIOR MANDIBLE WITH AN INLAY TECHNIQUE AND CANCELLOUS **EQUINE BONE BLOCK: A CASE REPORT**

INT J PERIODONTICS RESTORATIVE DENT, 2013 MAR;33(2):159-66

Bibliografia completa a pag. . 92



Derma





Matrice eterologa per la soft tissue augmentation

Membrana collagenata di derma suino



Derma suino

Collagene tissutale

Preservato

Forma fisica

Membrana essiccata

Composizione

100% derma

Spessore

0.9 mm (±0.1 mm) 2.0 mm (±0.2 mm)

Tempi stimati di riassorbimento

0.9 mm: 3 mesi circa 2.0 mm: 5 mesi circa

Dimensioni

0.9 mm: 25x25 mm, 12x8 mm ovale 2.0 mm: 7x5 mm, 15x5 mm, 30x30 mm

Codici prodotto

TDES75 | 7x5 mm | 2.0 mm | Suina TDES155 | 15x5 mm | 2.0 mm | Suina TDES30 | 30x30 mm | 2.0 mm | Suina TDEF128 | 12x8 mm | 0.9 mm | Suina TDEF25 | 25x25 mm | 0.9 mm | Suina

GMDN code CND code 46425 P900402

Caratteristiche ed uso

CARATTERISTICHE

Ottenute dal derma di origine suina mediante un esclusivo processo Tecnoss® che preserva le fibre naturali di collagene⁽¹⁾, le membrane *Derma* sono gradualmente integrate⁽²⁾ con i tessuti molli autologhi.

La loro forte consistenza e resistenza permette una perfetta stabilizzazione e una prolungata protezione dell'innesto sottostante⁽³⁾ nelle procedure di socket preservation, insieme a un forte effetto barriera per guidare la crescita dell'epitelio e impedirne l'invaginazione.

UTILIZZO

La membrana *Derma* può essere sagomata alla forma desiderata mediante forbici; successivamente deve essere molto ben idratata in soluzione fisiologia sterile tiepida, fino a quando viene raggiunta la consistenza desiderata.

Una volta acquisita la plasticità necessaria, deve essere adattata al sito di innesto.

È sempre consigliabile preparare una tasca con uno scollatore al fine di stabilizzare la membrana nel sito dopo la sutura dei lembi.

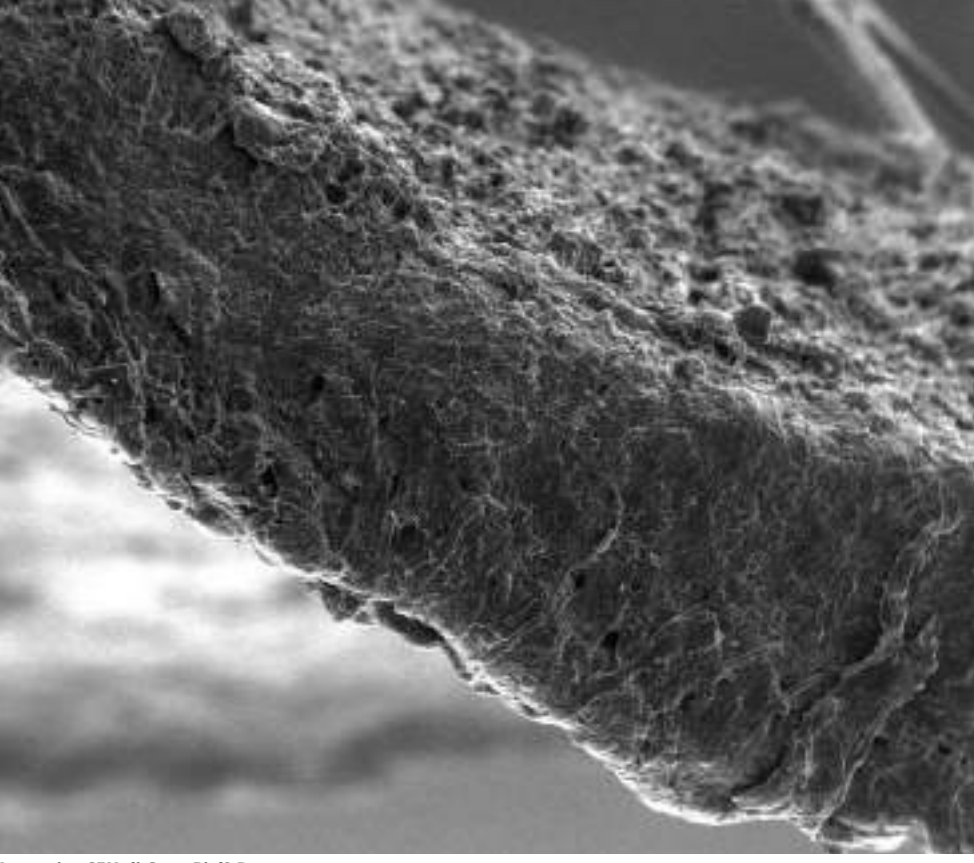
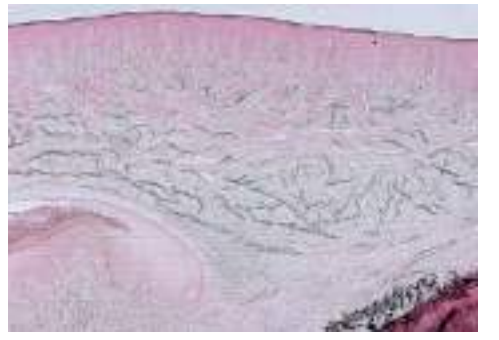
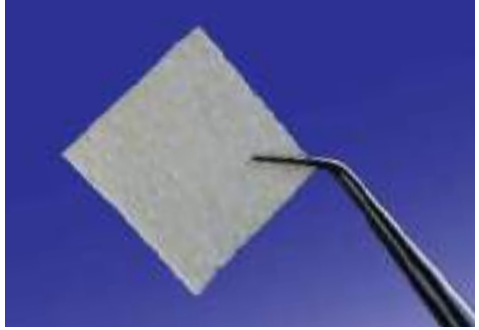


Immagine SEM di OsteoBiol® Derma Fonte: Politecnico di Torino, Italia



Istologia a 4 mesi che evidenzia residui di matrice dermica suina circondati da tessuto connettivo. Studio sperimentale su cane. Htx-eosine Autore: Prof Ulf Nannmark, University of Göteborg, Svezia



Fonte: Tecnoss® Dental Media Library

Informazioni cliniche

La membrana *Derma* è una barriera in collagene riassorbibile per proteggere e stabilizzare i materiali da innesto; esclusivamente in questa specifica indicazione clinica può essere anche lasciata parzialmente esposta⁽³⁾ grazie alle sue eccellenti caratteristiche di integrazione con i tessuti. Se è ancora presente attorno ai denti o agli impianti una banda residua di tessuto cheratinizzato, la membrana *Derma* può essere utilizzata come alternativa all'innesto di connettivo⁽²⁾ per migliorare la qualità del tessuto cheratinizzato⁽⁴⁾.

La *Derma* è stata anche documentata per soft tissue augmentation orizzontale attorno agli impianti^(5,8).

Le recessioni gengivali^(6,7) classi di Miller I e Il possono essere trattate con la membrana Derma per evitare ai pazienti la morbilità ed il disconfort causati da prelievo di connettivo. Per evitare l'esposizione della membrana, normalmente la Derma viene coperta completamente con il lembo riposizionato coronalmente. La membrana Derma con gli angoli opportunamente arrotondati è stata anche documentata per la tecnica di tunnellizzazione⁽⁶⁾.



OsteoBiol® Derma sagomata per il trattamento di recessioni gengivali
Autore: Dr Roberto Rossi, Genova, Italia



Protezione dell'innesto con OsteoBiol® Derma



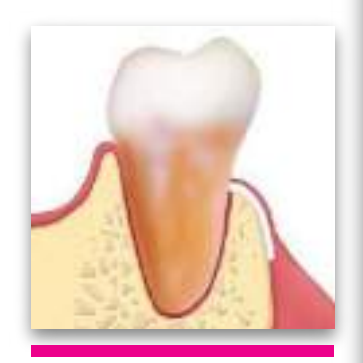
Posizionamento di OsteoBiol® *Derma* per la tecnica di tunnellizzazione



Recessione gengivale trattata con OsteoBiol® Derma Autore: Dr Roberto Rossi, Genova, Italia



SOFT TISSUE AUGMENTATION inspessimento dei tessuti molli



RIGENERAZIONE PARODONTALE trattamento di recessioni gengivali



RIGENERAZIONE ALVEOLARE protezione dell'innesto

BIBLIOGRAFIA

(1) DE MARCO P, ZARA S, DE COLLI M, RADUNOVIC M, LAZOVIC V, ETTORRE V, DI CRESCENZO A, PIATTELLI A, CATALDI A, FONTANA A GRAPHENE OXIDE IMPROVES THE BIOCOMPATIBILITY OF COLLAGEN MEMBRANES IN AN IN VITRO MODEL OF HUMAN PRIMARY GINGIVAL FIBROBLASTS
BIOMED MATER, 2017 SEP 13;12(5):055005

(2) FICKL S, NANNMARK U, SCHLAGENHAUF U, HÜRZELER M, KEBSCHULL M

PORCINE DERMAL MATRIX IN THE TREATMENT OF DEHISCENCE-TYPE DEFECTS – AN EXPERIMENTAL SPLIT-MOUTH ANIMAL TRIAL

CLIN ORAL IMPLANTS RES, 2015 JUL;26(7):799-805

(3) TALLARICO M, XHANARI E, PISANO M, DE RIU G, TULLIO A, MELONI SM

SINGLE POST-EXTRACTIVE ULTRA-WIDE 7 MM-DIAMETER IMPLANTS VERSUS IMPLANTS PLACED IN MOLAR HEALED SITES AFTER SOCKET PRESERVATION FOR MOLAR REPLACEMENT: 6-MONTH POST-LOADING RESULTS FROM A RANDOMISED CONTROLLED TRIAL

EUR J ORAL IMPLANTOL, 2016;9(3):263-275

(4) FISCHER KR, FICKL S, MARDAS N, BOZEC L, DONOS N STAGE-TWO SURGERY USING COLLAGEN SOFT TISSUE GRAFTS: CLINICAL CASES AND ULTRASTRUCTURAL ANALYSIS QUINTESSENCE INT, 2014 NOV-DEC;45(10):853-60

(5) FISCHER K R, TESTORI T, WACHTEL H, MÜHLEMANN S, HAPPE A, DEL FABBRO MDEL FABBRO M

SOFT TISSUE AUGMENTATION APPLYING A COLLAGENATED PORCINE DERMAL MATRIX DURING SECOND STAGE SURGERY: A PROSPECTIVE MULTICENTER CASE SERIES CLIN IMPLANT DENT RELAT RES., 2019:1–8

(6) FICKL S, JOCKEL-SCHNEIDER Y, LINCKE T, BECHTOLD M, FISCHER KR, SCHLAGENHAUF U

PORCINE DERMAL MATRIX FOR COVERING OF RECESSION TYPE DEFECTS: A CASE SERIES
QUINTESSENCE INT, 2013;44(3):243-6

(7) MATOH U. PETELIN M. GASPERSIC R

SPLIT-MOUTH COMPARISON OF CORONALLY ADVANCED FLAP WITH CONNECTIVE TISSUE GRAFT OR COLLAGEN MATRIX FOR TREATMENT OF ISOLATED GINGIVAL RECESSIONS

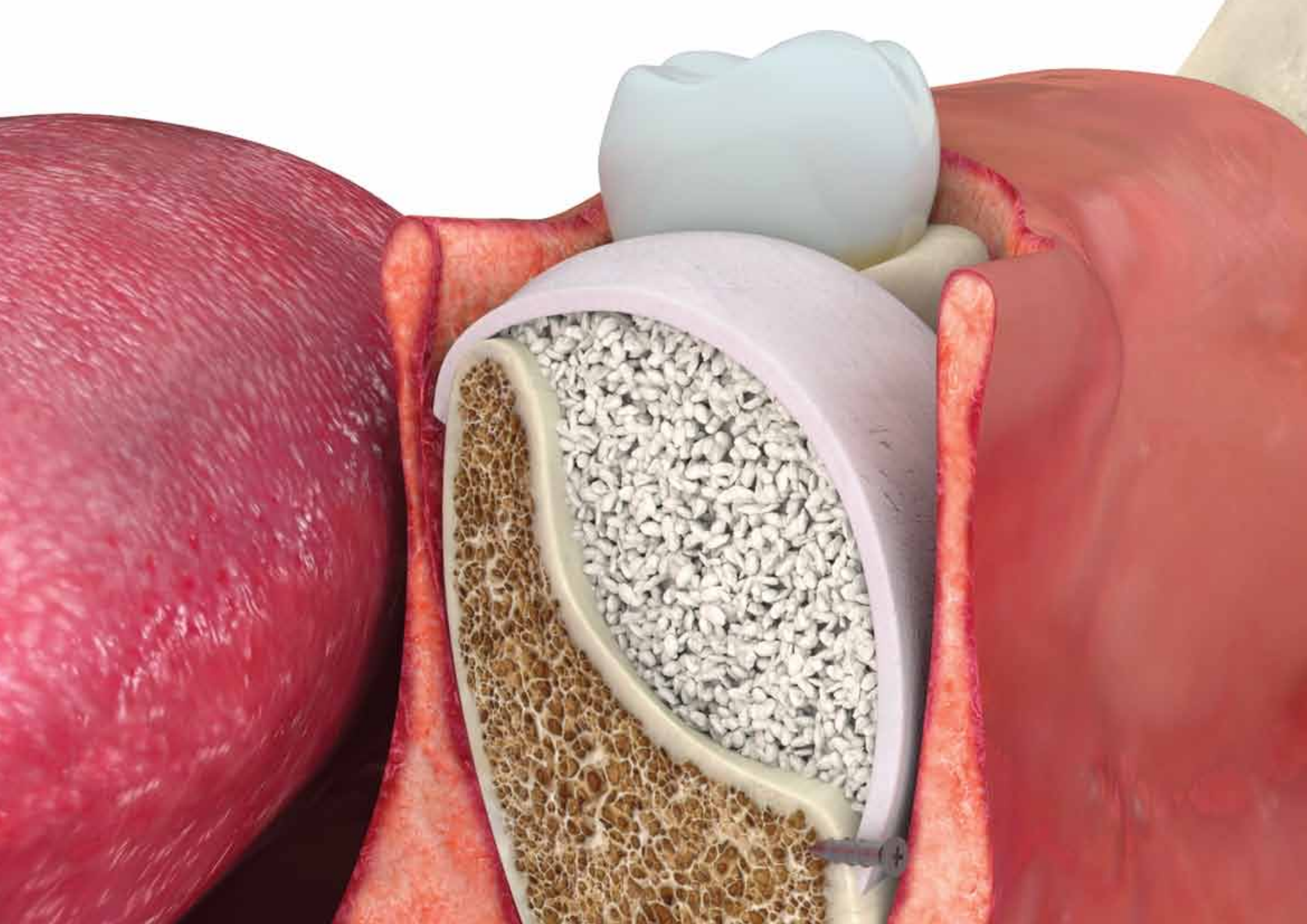
INT J PERIODONTICS RESTORATIVE DENT, 2019;39(3):439-446

(8) VERARDI S, ORSINI M, LOMBARDI T, AUSENDA F, TESTORI T, PULICI A, OREGLIA F, VALENTE NA, STACCHI C

COMPARISON BETWEEN TWO DIFFERENT TECHNIQUES FOR PERI-IMPLANT SOFT TISSUE AUGMENTATION: PORCINE DERMAL MATRIX GRAFT VS. TENTING SCREW

J PERIODONTOL. 2020; ACCEPTED, IN PUBLICATION

Bibliografia completa a pag. 92



Lamina





Una barriera di osso corticale unica

Osso corticale suino collagenato



Osso corticale suino collagenato

Collagene tissutale

Preservato

Forma fisica

Lamina soft: lamina essiccata semi-rigida flessibile Lamina: lamina essiccata rigida, flessibile dopo la reidratazione

Composizione

100% osso corticale

Spessore

 $0.5 \text{ mm} (\pm 0.1 \text{ mm})$

 $0.7 \text{ mm} (\pm 0.1 \text{ mm})$

 $1.0 \text{ mm} (\pm 0.1 \text{ mm})$

 $3.0 \text{ mm } (\pm 1 \text{ mm})$

Tempi stimati di rientro

0.5 mm: circa 5 mesi

0.7 mm: circa 7 mesi

1.0 mm: circa 6 mesi

3.0 mm: circa 8 mesi

Dimensioni

0.5 mm: 25x25 mm, 25x35 mm (Ovale)

0.7 mm: 35x15 mm

1.0 mm: 35x35 mm (Curva), 20x40 mm

3.0 mm: 30x30 mm

Codici prodotto

TLMF25 | 25x25 mm | 0.5 mm | soft | Suina

TLMF2535 | 25x35 mm | 0.5 mm | soft | Suina

TLMM2040 | 20x40 mm | 1.0 mm | soft | Suina

TLMCM35 | 35x35 mm Curva | 1.0 mm | soft | Suina

TLMS30 | 30x30 mm | 3.0 mm | soft | Suina

TLMMF3515R | 35x15 mm | 0.7 mm | rigida | Suina

TLMM35R | 35x35 mm | 1.0 mm | rigida | Suina

GMDN code

46425

CND code P900402

Caratteristiche e uso

CARATTERISTICHE

La Lamina Corticale OsteoBiol® è realizzata in osso corticale di origine eterologa prodotto con un esclusivo processo Tecnoss® che evita la ceramizzazione dei cristalli idrossiapatite, permettendo così il riassorbimento fisiologico. Dopo un processo di decalcificazione superficiale, Lamina soft acquisisce una consistenza elastica, mantenendo comunque la tipica compattezza del tessuto osseo da cui ha origine; i margini sono morbidi per non causare micro traumi ai tessuti circostanti. La Lamina Curva soft ha una consistenza semirigida; la Lamina rigida subisce un processo di semi-decalcificazione superficiale (50% vs Lamina soft) aumentando pertanto la sua consistenza, tipica del tessuto osseo corticale^(1,2).

UTILIZZO

Lamina soft può essere sagomata alla forma desiderata mediante forbici sterili; successivamente, deve essere idratata per 5/10 minuti in soluzione fisiologica sterile. Una volta acquisita la plasticità desiderata, deve essere adattata al sito d'innesto; deve essere sempre immobilizzata mediante microviti in titanio o suturata (modello Fine) direttamente ai tessuti circostanti con un ago atraumatico a sezione triangolare. La Lamina Curva soft non deve essere idratata in modo da mantenere il suo effetto tenda e deve sempre essere fissata con microviti per osteosintesi. In caso di esposizione, la Lamina deve essere rimossa solo in caso di una evidente sovrainfezione, in quanto la sua consistenza è tale da permettere una completa guarigione per seconda intenzione della ferita

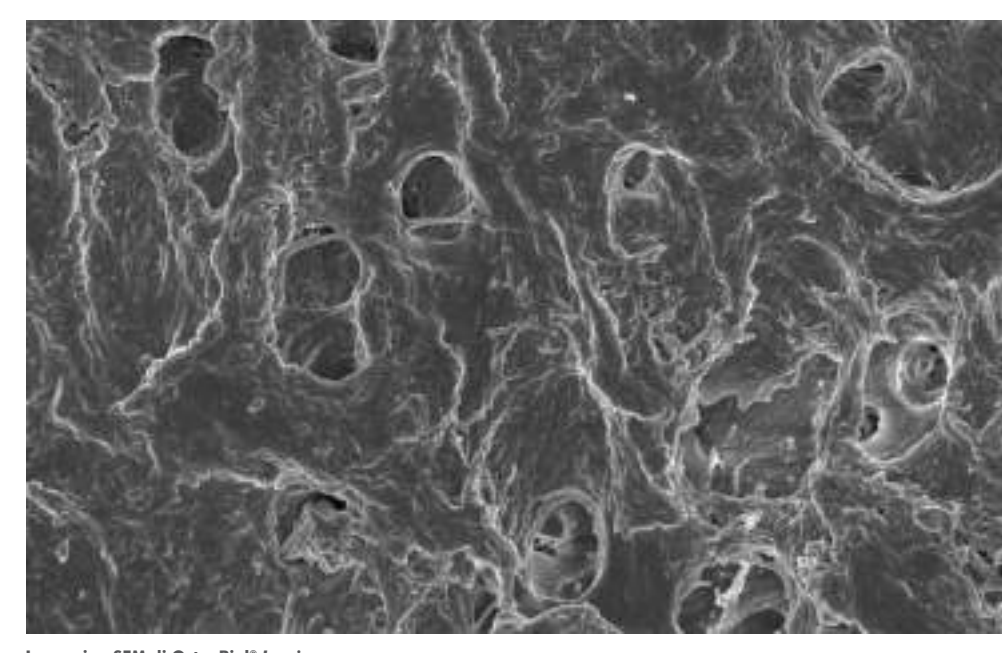


Immagine SEM di OsteoBiol® Lamina Fonte: Politecnico di Torino, Italia



Fonte: Tecnoss® Dental Media Library

Informazioni Cliniche

AppStore



video animazioni gratuite sulla APP OsteoBiol®

La Lamina soft diventa flessibile dopo l'idratazione e può essere sagomata⁽³⁾ e adattata alla morfologia del difetto creando, una volta fissata con microviti per osteosintesi, una copertura semi-rigida per l'innesto sottostante⁽⁴⁻⁶⁾. Questa proprietà è particolarmente utile quando è necessario ottenere un effetto space making nelle zone estetiche, nella rigenerazione orizzontale^(6,8) di difetti a due pareti, e infine nella copertura dell'antrostomia al termine del sinus lift con approccio laterale^(5,9,10). La Lamina può anche essere utilizzata in rigenerazioni con rischio di esposizione. La Lamina Curva soft ha uno spessore di ~1.0 mm e può essere innestata direttamente senza idratazione⁽¹¹⁾: E' particolarmente versatile in associazione con GTO® per la rigenerazione di creste

La nuova Lamina rigida spessore 0.7 mm rappresenta una possibile alternativa al prelievo di corticale autologa nella ricostruzione di difetti crestali tridimensionali mediante la shell technique.

corticale

vestibolare

con

la

compromessa.

Le informazioni cliniche suindicate sono basate sulla esperienza clinica di chirurghi esperti







Posizionamento della Lamina OsteoBiol® Fonte: Tecnoss® Dental Media Library



RIGENERAZIONE ORIZZONTALE
difetti a due pareti



RIGENERAZIONE ORIZZONTALE tecnica bone-layer

BIBLIOGRAFIA

(1) DI CARLO R, ZARA S, VENTRELLA A, SIANI G, DA ROS T, IEZZI G. CATALDI A, FONTANA A

COVALENT DECORATION OF CORTICAL MEMBRANES WITH GRAPHENE OXIDE AS A SUBSTRATE FOR DENTAL PULP STEM CELLS NANOMATERIALS, 2019:9:604

(2) Caballé-Serrano J, Munar-Fraua A, Delgado L, Pérez R, Hernández-Alfaro F

PHYSICOCHEMICAL CHARACTERIZATION OF BARRIER MEMBRANES FOR BONE REGENERATION

J MECH BEHAV BIOMED, 2019;97:13-20

(3) ROSSI R, RANCITELLI D, POLI PP, RASIA DAL POLO M, NANNMARK U, MAIORANA C

THE USE OF A COLLAGENATED PORCINE CORTICAL LAMINA IN THE RECONSTRUCTION OF ALVEOLAR RIDGE DEFECTS. A CLINICAL AND HISTOLOGICAL STUDY

MINERVA STOMATOL, 2016 OCT;65(5):257-68

(4) PAGLIANI L, ANDERSSON P, LANZA M, NAPPO A, VERROCCHI D, VOLPE S, SENNERBY L

A COLLAGENATED PORCINE BONE SUBSTITUTE FOR AUGMENTATION AT NEOSS IMPLANT SITES: A PROSPECTIVE 1-YEAR MULTICENTER CASE SERIES STUDY WITH HISTOLOGY CLIN IMPLANT DENT RELAT RES, 2012 OCT;14(5):746-58

(5) FESTA VM, ADDABBO F, LAINO L, FEMIANO F, RULLO R
PORCINE-DERIVED XENOGRAFT COMBINED WITH A SOFT

PORCINE-DERIVED XENOGRAFT COMBINED WITH A SOFT CORTICAL MEMBRANE VERSUS EXTRACTION ALONE FOR IMPLANT SITE DEVELOPMENT: A CLINICAL STUDY IN HUMANS CLIN IMPLANT DENT AND RELAT RES, 2013 OCT;15(5):707-13

(6) WACHTEL H, FICKL S, HINZE M, BOLZ W, THALMAIR T

THE BONE LAMINA TECHNIQUE: A NOVEL APPROACH FOR LATERAL RIDGE AUGMENTATION - A CASE SERIES
INT J PERIODONTICS RESTORATIVE DENT, 2013 JUL-AUG;33(4):491-7

(7) LOPEZ MA, ANDREASI BASSI M, CONFALONE L, CARINCI F,

(7) LOPEZ MA, ANDREASI BASSI M, CONFALONE L, CARINCI F, ORMIANER Z, LAURITANO D

THE USE OF RESORBABLE CORTICAL LAMINA AND MICRONIZED COLLAGENATED BONE IN THE REGENERATION OF ATROPHIC CRESTAL RIDGES: A SURGICAL TECHNIQUE. CASE SERIES

J BIOL REGUL HOMEOST AGENTS, 2016 APR-JUN;30(2 SUPPL 1):81-85

(8) POLIS-YANES C, CADENAS-SEBASTIÁN C, GUAL-VAQUÉS P, AYUSO-MONTERO R, MARÍ-ROIG A, LÓPEZ-LÓPEZ J

GUIDED BONE REGENERATION OF AN ATROPHIC MAXILLA USING HETEROLOGOUS CORTICAL LAMINA
CASE REP DENT., 2019: 5216362

(9) HINZE M, VRIELINCK L, THALMAIR T, WACHTEL H, BOLZ W ZYGOMATIC IMPLANT PLACEMENT IN CONJUCTION WITH

ZYGOMATIC IMPLANT PLACEMENT IN CONJUCTION WITH SINUS BONE GRAFTING: THE "EXTENDED SINUS ELEVATION TECHNIQUE". A CASE-COHORT STUDY

ORAL CRANIOFAC TISSUE ENG, 2011;1:188–197

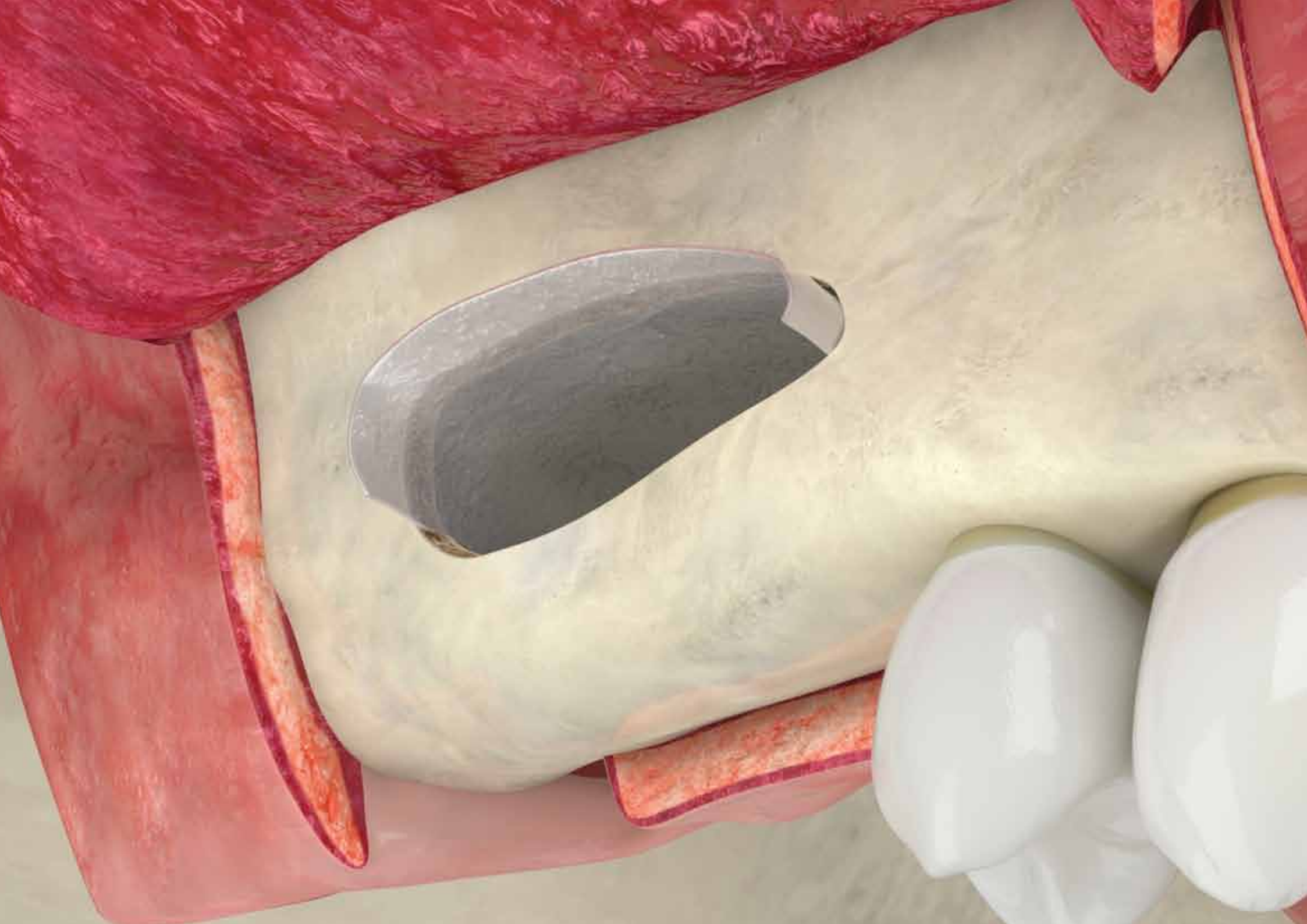
(10) SCARANO A, MURMURA G, MASTRANGELO F, LORUSSO F, GRECO LUCCHINA A, CARINCI F

A NOVEL TECHNIQUE TO PREVENT SINUS MEMBRANE COLLAPSE DURING MAXILLARY SINUS FLOOR AUGMENTATION WITHOUT BONE GRAFT: TECHNICAL NOTE J BIOL REGUL HOMEOST AGENTS, 2018 NOV-DEC;32(6):1589-1592

(11) ROSSI R. FOCE E. SCOLAVINO S

THE CORTICAL LAMINA TECHNIQUE: A NEW OPTION FOR ALVEOLAR RIDGE AUGMENTATION. PROCEDURE, PROTOCOL, AND CASE REPORT

J LEBANESE DENTAL ASS, 2017 JAN-JUN; 52(1):35-41



Special





Una membrana traslucida per separare l'osso e i tessuti molli

Progettate per proteggere innesti di tessuti duri e molli





Tessuto di origine

Pericardio eterologo

Collagene tissutale

Preservato

Forma fisica

Membrana essiccata traslucida

Composizione

100% pericardio

Spessore

0.2mm

Tempi di riassorbimento

Circa 40 giorni

Dimensioni

20x20 mm, 30x30 mm

Codici prodotto

TSPX20	20x20 mm	Suina
TSPX20E	20x20 mm	Equina
TSPX30E	30x30 mm	Equina

GMDN code

CND code 46425 P900402

Caratteristiche, uso ed indicazioni cliniche

CARATTERISTICHE

Ottenute da tessuti mesenchimali extra fini (pericardio di origine eterologa) mediante l'esclusivo processo Tecnoss®, le membrane essiccate Special sono completamente riassorbibili. Una volta reidratate, diventano traslucide e flessibili e guidano la crescita dell'epitelio, impedendone l'invaginazione nel difetto osseo: la loro azione favorisce quindi l'ottimale rigenerazione del sottostante tessuto osseo.

UTILIZZO

La membrana può essere sagomata alla forma desiderata mediante forbici sterili; successivamente, deve essere idratata in soluzione fisiologica tiepida.

Una volta acquisita la consitenza desiderata, deve essere adattata al sito di innesto. E' sempre consigliabile preparare una tasca con uno scollatore al fine di stabilizzare la membrana nel sito dopo la sutura dei lembi. Se questo non è possibile, la membrana può anche essere stabilizzata mediante suture.

INFORMAZIONI CLINICHE

In parodontologia, la membrana Special può essere utilizzata per proteggere e stabilizzare il biomateriale trattamento dei difetti infraossei. La Special può essere usata per la protezione della membrana del seno mascellare prima dell'inserimento del materiale d'innesto, per la chiusura di perforazioni. Gli innesti negli alveoli post-estrattivi effettuati con lembo di copertura possono essere stabilizzati e protetti con questa membrana.

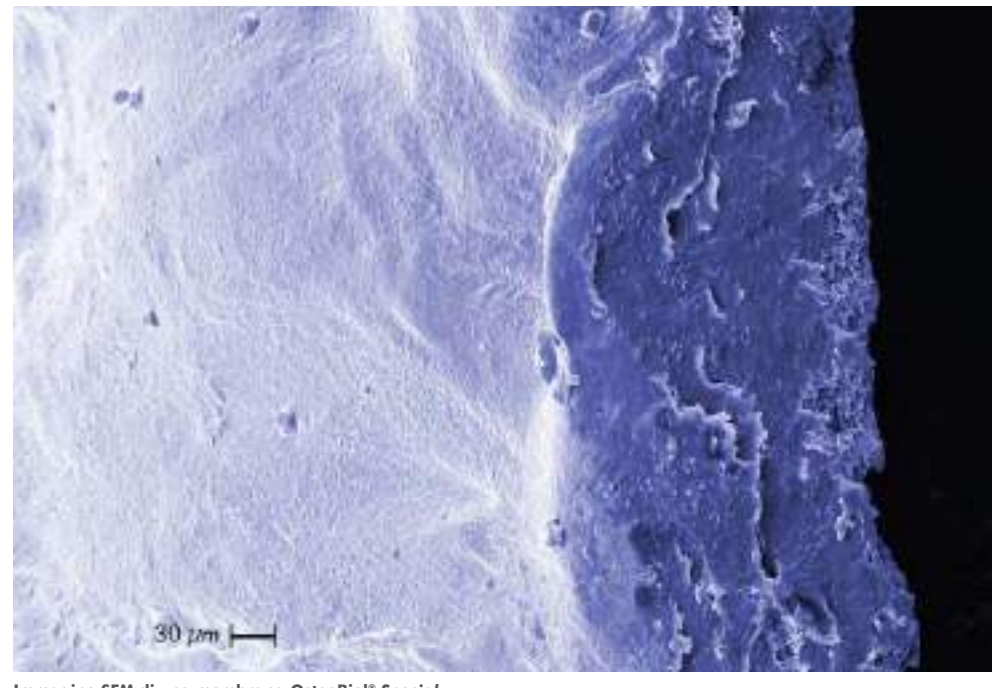
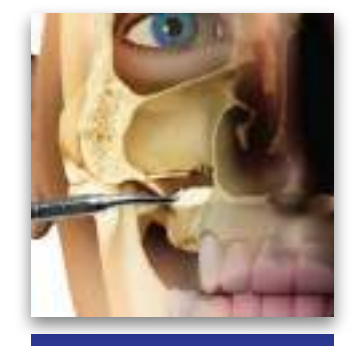


Immagine SEM di una membrana OsteoBiol® Special Fonte: Nobil Bio Ricerche, Villafranca d'Asti, ItaLIA



RIGENERAZIONE PARODONTALE difetti infraossei



protezione della membrana di Schneider

Le informazioni cliniche suindicate sono basate sulla esperienza clinica di chirurghi esperti

Bone, Biomaterials & Beyond

Prof Antonio Barone, Prof Ulf Nannmark

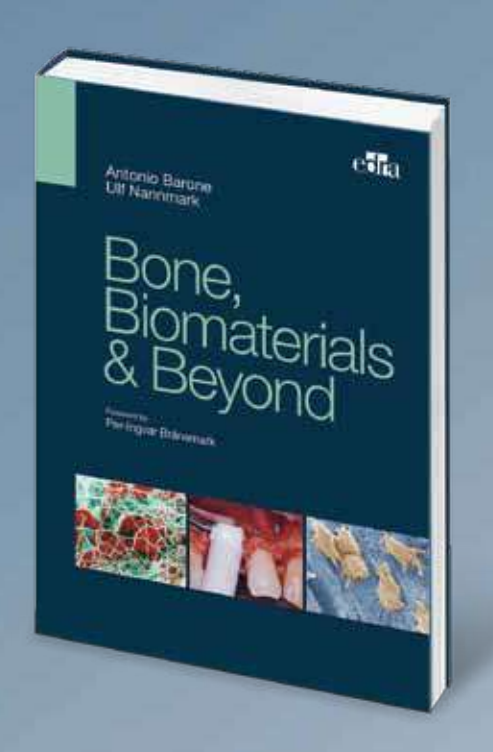
SOMMARIO

L'introduzione degli impianti dentali osteointegrati, non più tardi di cinquant'anni fa, ha decisamente rivoluzionato il mondo dell'odontoiatria.

La valutazione scientifica dell'uso di questi strumenti ha dato prova di esiti positivi e sempre più efficaci, benché subordinati alla disponibilità di un volume osseo tale da garantire sia l'integrazione sia buoni risultati estetici.

In questo volume sono presentate e spiegate varie tecniche chirurgiche associate all'uso di diversi materiali da innesto, con l'obiettivo di sottolineare l'esistenza di tecniche chirurgiche minimamente invasive, correlate a un minor rischio di morbilità e a un ridotto tempo di trattamento.

I lettori troveranno un atlante completo che fornisce consigli pratici per la pratica chirurgica quotidiana basati su una solida evidenza scientifica



EDRA Editions

Pubblicazione: Febbraio 2015

Pagine: 200

Immagini: 786 colori Formato: 21x29,7 cm

Euro: 59,00

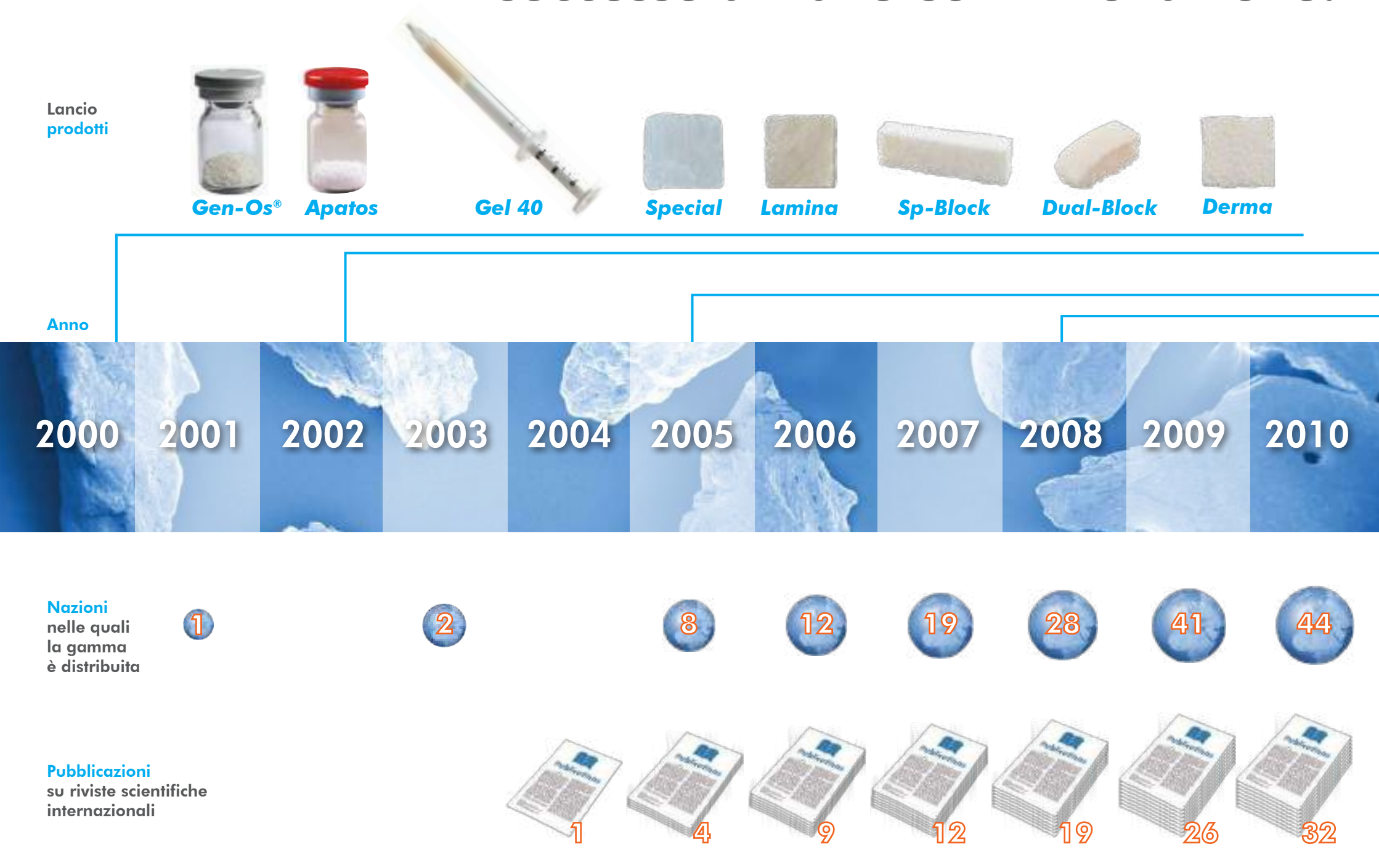
ISBN 978.88.214.3758.8

Per informazioni e ordini contattare: ordiniedra@lswr.it

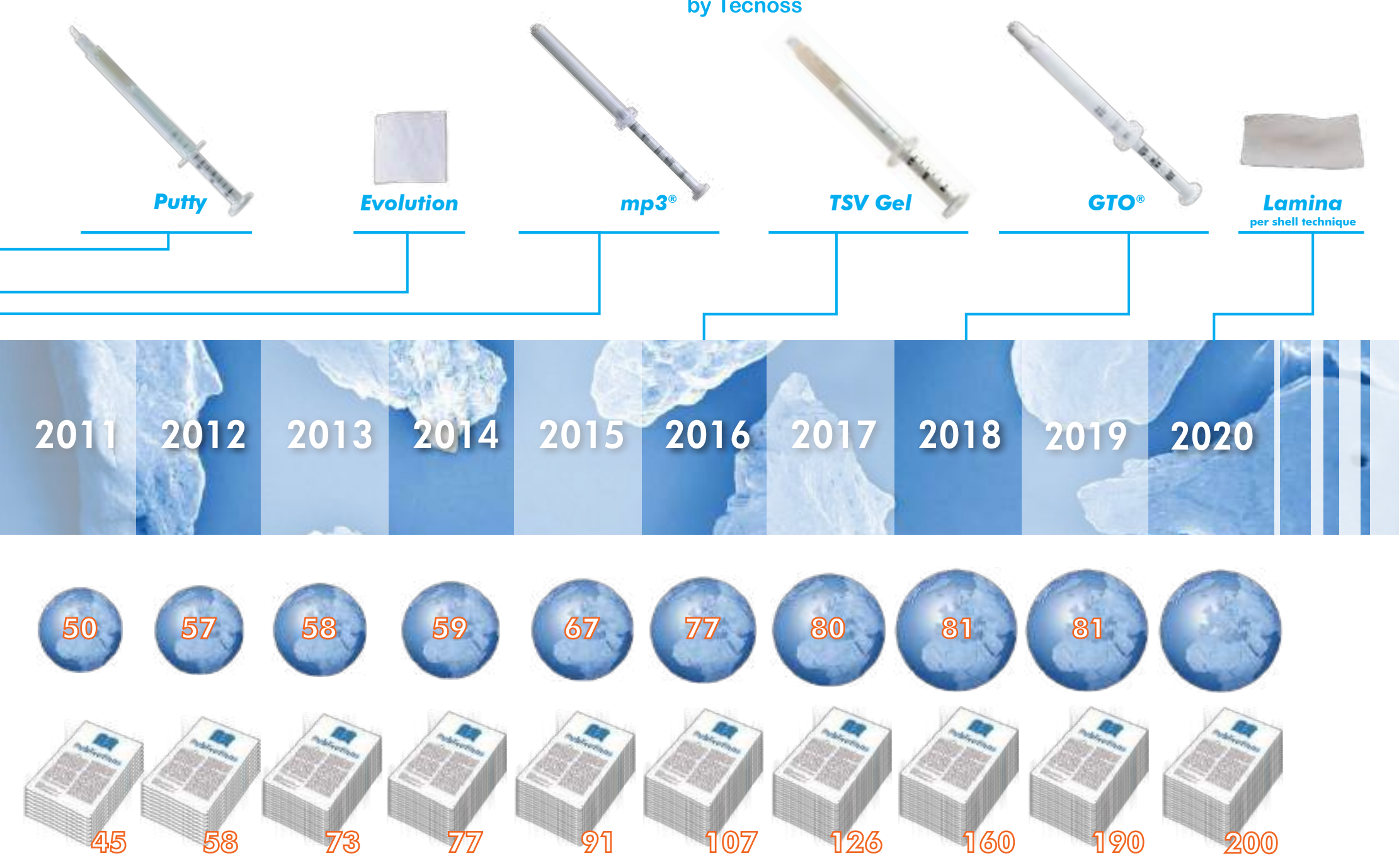
Tradotto nelle seguenti lingue:

Italiano Tedesco Francese Spagnolo Russo Coreano

Il successo attraverso l'innovazione:



storia del marchio Osteo Bio en Tecnoss





Sostituti ossei Tecnoss® e osso autologo

Autorevoli studi e ricerche hanno dimostrato che il gold standard della rigenerazione ossea è l'osso autologo^(1,2).

Sono tuttavia anche ben conosciuti gli svantaggi correlati al prelievo e all'innesto di osso autologo⁽²⁻⁴⁾.

L'obiettivo della rigenerazione ossea è di guarire i deficit ossei mediante tessuto osseo neo-formato di qualità, modo da ottenere riabilitazione sia funzionale che estetica. Per ottenere questi risultati, sono stati condotti centingia di studi mirati a verificare e confrontare le cliniche performance biomateriali. L'esame dei risultati clinici e la diffusione commerciale delle varie tipologie di prodotti sviluppati dall'industria biomedicale dimostrano la netta superiorità dei

sostituti ossei di origine naturale rispetto a quelli di derivazione sintetica.

La struttura dell'osso animale risulta infatti morfologicamente più simile a quella dell'osso umano rispetto a qualsiasi prodotto di sintesi, presentando questi ultimi delle caratteristiche morfologiche e delle proprietà create artificialmente, che differiscono in modo molteplice dalla struttura dell'osso naturale⁽⁵⁾. Negli ultimi trent'anni numerosi processi tecnologici sono stati

sviluppati per permettere l'innesto di biomateriali di origine eterologa nel corpo umano senza scatenare reazioni avverse⁽⁶⁻⁷⁾.

I primi prodotti sviluppati secondo queste tecnologie hanno fornito risultati clinici incoraggianti, sebbene si trattasse di semplici matrici ossee minerali. La nuova generazione di biomateriali dual-phase OsteoBiol®, ottenuta grazie a una biotecnologia d'avanguardia, va oltre il semplice ruolo di supporto alla naturale ricrescita ossea stimolando e accelerando l'osteogenesi da contatto, in maniera simile al processo che avviene in seguito all'innesto di osso autologo⁽⁸⁻¹⁰⁾.



(1) ORSINI G, SCARANO A, PIATTELLI M, PICCIRILLI M, CAPUTI S, PIATTELLI A

HISTOLOGIC AND ULTRASTRUCTURAL ANALYSIS OF REGENERATED BONE IN MAXILLARY SINUS AUGMENTATION USING A PORCINE BONE-DERIVED BIOMATERIAL

J PERIODONTOL, 2006 DEC;77(12):1984-90

(2) BARONE A, ALFONSI F, BORGIA V, IEZZI G, PIATTELLI A, COVANI U, TONELLI P

MOLECULAR, CELLULAR AND PHARMACEUTICAL ASPECTS
OF FILLING BIOMATERIALS DURING THE MANAGEMENT OF
EXTRACTION SOCKETS

CURR PHARM BIOTECHNOL, 2017;18(1):64-75

(3) IEZZI G, PIATTELLI A, GIULIANI A, MANGANO C, BARONE A, MANZON L, DEGIDI M, SCARANO A, FILIPPONE A, PERROTTI V

MOLECULAR, CELLULAR AND PHARMACEUTICAL ASPECTS OF FILLING BIOMATERIALS DURING MAXILLARY SINUS-LIFT PROCEDCURES. PART 2: DETAILED CHARACTERISTICS OF THE MATERIALS

CURR PHARM BIOTECHNOL, 2017, 18, 33-44

(4) BARONE A, CRESPI R, ALDINI NN, FINI M, GIARDINO R, COVANI U

MAXILLARY SINUS AUGMENTATION: HISTOLOGIC AND HISTOMORPHOMETRIC ANALYSIS

INT J ORAL MAXILLOFAC IMPLANTS, 2005 JUL-AUG; 20(4):519-25

(5) FIGUEIREDO A, COIMBRA P, CABRITA A, GUERRA F, FIGUEIREDO M

COMPARISON OF A XENOGENEIC AND AN ALLOPLASTIC MATERIAL USED IN DENTAL IMPLANTS IN TERMS OF PHYSICO-CHEMICAL CHARACTERISTICS AND IN VIVO INFLAMMATORY RESPONSE

MATER SCI ENG C MATER BIOL APPL, 2013 AUG 1;33(6):3506-13

(6) SCARANO A, PIATTELLI A, ASSENZA B, QUARANTA A, PERROTTI V, PIATTELLI M, IEZZI G

PORCINE BONE USED IN SINUS AUGMENTATION PROCEDURES: A 5-YEAR RETROSPECTIVE CLINICAL EVALUATION

J ORAL MAXILLOFAC SURG, 2010 AUG; 68(8):1869-73

(7) RAMIREZ FERNANDEZ MP, CALVO GUIRADO JL, MATÉ SANCHEZ DE VAL JE, DELGADO RUIZ RA, NEGRI B, BARONA DORADO C

ULTRASTRUCTURAL STUDY BY BACKSCATTERED ELECTRON IMAGING AND ELEMENTAL MICROANALYSIS OF BONE-TO-BIOMATERIAL INTERFACE AND MINERAL DEGRADATION OF PORCINE XENOGRAFTS USED IN MAXILLARY SINUS FLOOR ELEVATION

CLIN ORAL IMPLANTS RES, 2013 MAY;24(5):523-30

(8) CASSETTA M, RICCI L, IEZZI G, DELL'AQUILA D, PIATTELLI A, PERROTTI V

RESONANCE FREQUENCY ANALYSIS OF IMPLANTS INSERTED WITH A SIMULTANEOUS GRAFTING PROCEDURE: A 5-YEAR FOLLOW-UP STUDY IN MAN

INT J PERIODONTICS RESTORATIVE DENT, 2012 OCT;32(5):581-9

(9) CASSETTA M, PERROTTI V, CALASSO S, PIATTELLI A, SINJARI B,

BONE FORMATION IN SINUS AUGMENTATION PROCEDURES USING AUTOLOGOUS BONE, PORCINE BONE, AND A 50: 50 MIXTURE: A HUMAN CLINICAL AND HISTOLOGICAL EVALUATION AT 2 MONTHS

CLIN ORAL IMPLANTS RES, 2015 OCT;26(10):1180-4

(10) JEANNEAU C. LE FOURNIS C. ABOUT I

XENOGENEIC BONE FILLING MATERIALS MODULATE MESENCHYMAL STEM CELL RECRUITMENT: ROLE OF THE COMPLEMENT C5A

CLINICAL ORAL INVESTIGATIONS, 2019 OCT 23



Perchè gli xenoinnesti?



Gli xenoinnesti sono i biomateriali più utilizzati al mondo.

Questo perché:

- i tessuti di origine sono estremamente sicuri e disponibili in quantità illimitate
- superficie e porosità dell'osso eterologo sono estremamente simili all'osso autologo
- non è necessario reperire osso autologo in siti extra-orali, con i correlati rischi di morbilità e complicanze post-operatorie
- gli xenoinnesti sterili sono completa mente biocompatibili e sicuri
- nessuna reazione avversa dopo l'innesto dovuta alla degradazione del biomateriale
- facili da utilizzare, curva di apprendimento molto rapida
- gli xenoinnesti collagenati stimolano l'attività degli osteoblasti e degli osteoclasti
- ampia documentazione scientifica
- eccellenti performance cliniche
- possono essere conservati a temperatura ambiente
- lunga conservazione garantita dal packaging (5 anni dalla data di produzione)
- eccellente rapporto qualità/prezzo

Caratteristiche del processo Tecnoss®

Tecnoss[®] ha sviluppato processi di dei trattamento innovativi connettivali di varie specie animali che permettono di ottenere la biocompatibilità degli stessi, preservandone la matrice collagenica⁽¹⁾. Le componenti proteiche dei tessuti animali sono determinate dalle differenze genetiche che rendono unico ogni individuo. Esse sono in grado di attivare le cellule del sistema immunitario dell'organismo ricevente tramite interazione con i recettori del sistema maggiore di istocompatibilità (MHC).

La loro neutralizzazione/denaturazione

permette il trasferimento da animale a uomo della parte minerale ossea e della matrice collagenica eterologa senza scatenamento di reazioni avverse.

Il buon esito di una Rigenerazione Ossea Guidata (GBR) dipende sia dalla stimolazione dei tessuti coinvolti nella neo-formazione dalle ossea che caratteristiche dei biomateriali utilizzati che determinano la qualità interfaccia osso/innesto. La ricerca alla base dello sviluppo dei biomateriali della linea OsteoBiol® è stata quindi effettuata partendo dal concetto di biomateriale ideale: produrre un materiale con la

massima affinità al nuovo osso endogeno. Al fine di raggiungere questo obiettivo, Tecnoss® ha sviluppato una biotecnologia in grado di preservare la struttura della idrossiapatite naturale, evidando la fase di ceramizzazione ad alta temperatura, e permettendo in tal modo un tempo di turnover osseo del sito innestato simile a quello del processo fisiologico naturale⁽²⁾. Grazie a questa tecnologia innovativa la linea OsteoBiol® presenta le seguenti importanti caratteristiche:

- 1. Supporto alla crescita e differenziazione cellulare(3)
- 2. Assenza di reazione da corpo estraneo^(4,5)
- 3. Riassorbimento graduale nel tempo^(2,6)
- 7. Assorbimento e rilascio nel tempo di



BIBLIOGRAFIA

(1) FIGUEIREDO M. HENRIQUES J. MARTINS G. GUERRA F. JUDAS F. FIGUEIREDO H

PHYSICOCHEMICAL CHARACTERIZATION OF BIOMATERIALS COMMONLY USED IN DENTISTRY AS BONE SUBSTITUTES -COMPARISON WITH HUMAN BONE

J BIOMED MATER RES B APPL BIOMATER, 2010 FEB; 92(2):409-19

(2) NANNMARK U, SENNERBY L

THE BONE TISSUE RESPONSES TO PREHYDRATED AND COLLAGENATED CORTICO-CANCELLOUS PORCINE BONE **GRAFTS: A STUDY IN RABBIT MAXILLARY DEFECTS**

CLIN IMPLANT DENT RELAT RES, 2008 DEC;10(4):264-70

(3) TRUBIANI O, SCARANO A, ORSINI G, DI IORIO D, D'ARCANGELO C, PICCIRILLI M, SIGISMONDO M, CAPUTI S THE PERFORMANCE OF HUMAN PERIODONTAL LIGAMENT MESENCHYMAL STEM CELLS ON XENOGENIC BIOMATERIALS INT J IMMUNOPATHOL PHARMACOL, 2007 JAN-MAR; 20(1 SUPPL

(4) BARONE A, RICCI M, GRASSI RF, NANNMARK U, QUARANTA A, COVANI U

A 6-MONTH HISTOLOGICAL ANALYSIS ON MAXILLARY SINUS AUGMENTATION WITH AND WITHOUT USE OF COLLAGEN MEMBRANES OVER THE OSTEOTOMY WINDOW: RANDOMIZED CLINICAL TRIAL

CLIN ORAL IMPLANTS RES, 2013 JAN;24(1):1-6

(5) BARONE A, BORGIA V, COVANI U, RICCI M, PIATTELLI A, IEZZI G FLAP VERSUS FLAPLESS PROCEDURE FOR RIDGE PRESERVATION IN ALVEOLAR EXTRACTION SOCKETS: A HISTOLOGICAL EVALUATION IN A RANDOMIZED CLINICAL

CLIN ORAL IMPLANTS RES, 2015 JUL;26(7):806-13

6) BARONE A, RICCI M, COVANI U, NANNMARK U, AZARMEHR I, CALVO GUIRADO JL

MAXILLARY SINUS AUGMENTATION USING PREHYDRATED CORTICOCANCELLOUS PORCINE **HYSTOMORPHOMETRIC EVALUATION AFTER 6 MONTHS** CLIN IMPLANT DENT RELAT RES. 2012 JUN:14(3):373-9

(7) ROMBOUTS C, JEANNEAU C, CAMILLERI J, LAURENT P, ABOUT I CHARACTERIZATION AND ANGIOGENIC POTENTIAL OF XENOGENEIC BONE GRAFTING MATERIALS: ROLE OF PERIODONTAL LIGAMENT CELLS

DENT MATER J, 2016 DEC 1;35(6):900-907

(8) JEANNEAU C, LE FOURNIS C, ABOUT I XENOGENEIC BONE FILLING MATERIALS MODULATE MESENCHYMAL STEM CELL RECRUITMENT: ROLE OF THE **COMPLEMENT C5A**

CLINICAL ORAL INVESTIGATIONS, 2019 OCT 23

(9) BARONE A, RICCI M, TONELLI P, SANTINI S, COVANI U TISSUE CHANGES OF EXTRACTION SOCKETS IN HUMANS: A COMPARISON OF SPONTANEOUS HEALING VS. RIDGE PRESERVATION WITH SECONDARY SOFT TISSUE HEALING CLIN ORAL IMPLANTS RES, 2013 NOV:24(11):1231-7

(10) FISCHER KR, STAVROPOULOS A, CALVO GUIRADO JL, SCHNEIDER D. FICKL S

INFLUENCE OF LOCAL ADMINISTRATION OF PAMIDRONATE ON EXTRACTION SOCKET HEALING - A HISTOMORPHOMETRIC PROOF-OF-PRINCIPLE PRE-CLINICAL IN VIVO EVALUATION CLIN ORAL IMPLANTS RES, 2015 OCT;26(10):1135-42

(11) MIJIRITSKY E, FERRONI L, GARDIN C, BRESSAN E, ZANETTE G, PIATTELLI A. ZAVAN B

PORCINE BONE SCAFFOLDS ADSORB GROWTH FACTORS SECRETED BY MSCS AND IMPROVE BONE TISSUE REPAIR MATERIALS, 2017 SEP 8;10(9)

BIBLIOGRAFIA

(1) FIGUEIREDO M, HENRIQUES J, MARTINS G, GUERRA F, JUDAS F, FIGUEIREDO H

PHYSICOCHEMICAL CHARACTERIZATION OF BIOMATERIALS COMMONLY USED IN DENTISTRY AS BONE SUBSTITUTES - COMPARISON WITH HUMAN BONE

J BIOMED MATER RES B APPL BIOMATER, 2010 FEB; 92(2):409-19

(2) ORSINI G, SCARANO A, PIATTELLI M, PICCIRILLI M, CAPUTI S, PIATTELLI A

HISTOLOGIC AND ULTRASTRUCTURAL ANALYSIS OF REGENERATED BONE IN MAXILLARY SINUS AUGMENTATION USING A PORCINE BONE-DERIVED BIOMATERIAL

J PERIODONTOL, 2006 DEC;77(12):1984-90

(3) RAMIREZ FERNANDEZ MP, CALVO GUIRADO JL, MATÉ SANCHEZ DE VAL JE, DELGADO RUIZ RA, NEGRI B, BARONA DORADO C

ULTRASTRUCTURAL STUDY BY BACKSCATTERED ELECTRON IMAGING AND ELEMENTAL MICROANALYSIS OF BONE-TO-BIOMATERIAL INTERFACE AND MINERAL DEGRADATION OF PORCINE XENOGRAFTS USED IN MAXILLARY SINUS FLOOR ELEVATION

CLIN ORAL IMPLANTS RES, 2013 MAY;24(5):523-30

(4) FELICE P, PIANA L, CHECCHI L, CORVINO V, NANNMARK U, PIATTELLI M

VERTICAL RIDGE AUGMENTATION OF ATROPHIC POSTERIOR MANDIBLE WITH AN INLAY TECHNIQUE AND CANCELLOUS EQUINE BONE BLOCK: A CASE REPORT

INT J PERIODONTICS RESTORATIVE DENT, 2013 MAR-APR;33(2):159-66

(5) IEZZI G, PIATTELLI A, GIULIANI A, MANGANO C, BARONE A, MANZON L, DEGIDI M, SCARANO A, FILIPPONE A, PERROTTI V MOLECULAR, CELLULAR AND PHARMACEUTICAL ASPECTS OF FILLING BIOMATERIALS DURING MAXILLARY SINUS-LIFT PROCEDCURES. PART 2: DETAILED CHARACTERISTICS OF THE MATERIALS

CURR PHARM BIOTECHNOL, 2017,18,33-44

(6) MIZUNO M. FUJISAWA R. KUBOKI Y

TYPE I COLLAGEN-INDUCED OSTEOBLASTIC DIFFERENTIATION
OF BONE-MARROW CELLS MEDIATED BY COLLAGEN-A2B1
INTEGRIN INTERACTION

J CELL PHYSIOL. 2000 AUG;184(2):207-13

(7) HSU FY, CHUEH SC, WANG YJ

MICROSPHERES OF HYDROXYAPATITE/RECONSTITUTED COLLAGEN AS SUPPORTS FOR OSTEOBLAST CELL GROWTH BIOMATERIALS 1999, 20:1931-1936

(8) ABDELGAWAD ME, SØE K, ANDERSEN TL, MERRILD DM, CHRISTIANSEN P, KJÆRSGAARD-ANDERSEN P, DELAISSE JM DOES COLLAGEN TRIGGER THE RECRUITMENT OF OSTEOBLASTS INTO VACATED BONE RESORPTION LACUNAE DURING BONE REMODELING?
BONE. 2014 OCT:67:181-8

(9) ROMBOUTS C, JEANNEAU C, CAMILLERI J, LAURENT P, ABOUT I CHARACTERIZATION AND ANGIOGENIC POTENTIAL OF XENOGENEIC BONE GRAFTING MATERIALS: ROLE OF PERIODONTAL LIGAMENT CELLS

DENT MATER J, 2016 DEC 1;35(6):900-907

COMPLEMENT C5A

(10) JEANNEAU C, LE FOURNIS C, ABOUT I

XENOGENEIC BONE FILLING MATERIALS MODULATE
MESENCHYMAL STEM CELL RECRUITMENT: ROLE OF THE

CLINICAL ORAL INVESTIGATIONS, 2019 OCT 23

Il collagene: un fattore chiave per il successo clinico

L'esclusivo processo produttivo Tecnoss® è in grado di neutralizzare le componenti antigeniche presenti nell'osso eterologo (raggiungimento della biocompatibilità) e di preservare la matrice collagenica all'interno dei granuli di biomateriale. Inoltre la struttura molecolare dell'idrossiapatite naturale non viene alterata in modo significativo grazie alla limitazione della temperatura massima di processo⁽¹⁾. Queste caratteristiche dei prodotti OsteoBiol® garantiscono una consistente neo-formazione ossea e un intimo contatto tra le aree di osso maturo neoformato e i granuli di biomateriale⁽²⁻⁵⁾. Il collagene ha un ruolo fondamentale nel processo rigenerazione ossea in quanto:

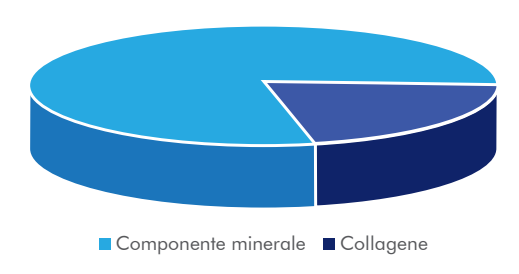
- agisce come valido substrato per l'attivazione e l'aggregazione piastrinica
- è in grado di attrarre e di stimolare la differenziazione delle cellule staminali mesenchimali⁽⁶⁾

- aumenta di 2/3 volte i livelli di proliferazione degli osteoblasti⁽⁷⁾
- stimola l'attivazione delle piastrine, degli osteoblasti e degli osteoclasti nel processo di guarigione dell' osso⁽⁸⁾.

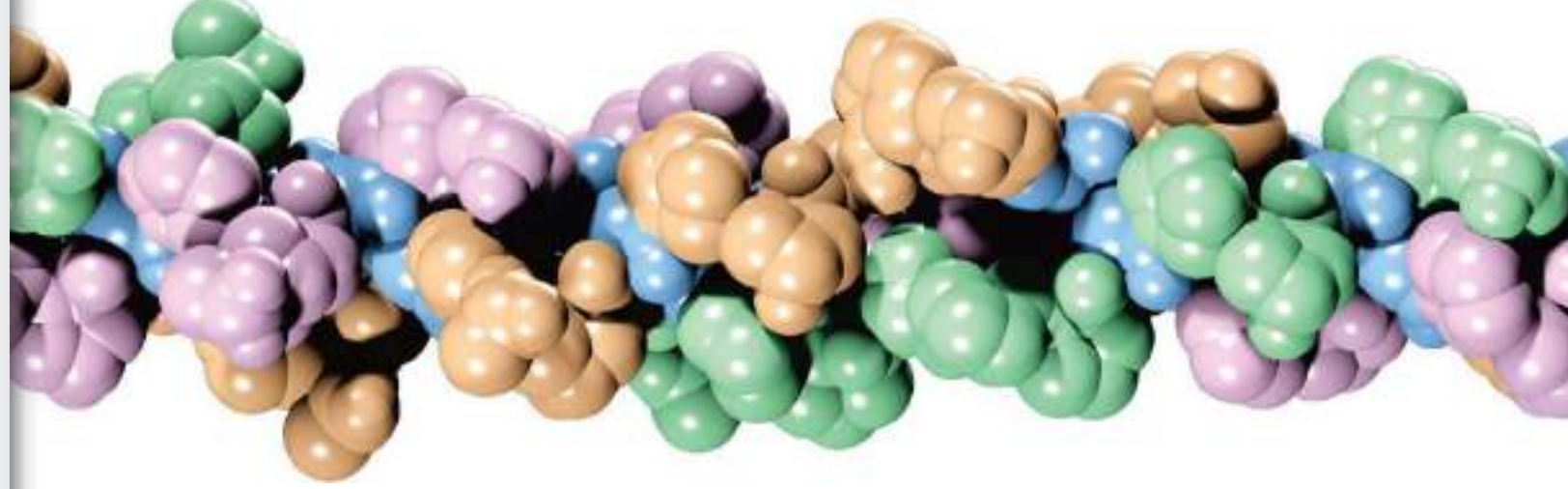
La presenza di collagene all'interno di OsteoBiol® Gen-Os® lo rende idrofilo e ne facilita l'ulteriore miscelazione con gel collagene e TSV Gel.

Questa tecnologia ha inoltre permesso di sviluppare numerosi prodotti innovativi e versatili: OsteoBiol® GTO®, OsteoBiol® mp3®, OsteoBiol® Putty e OsteoBiol® Gel 40. La loro consistenza è ideale per riempire perfettamente i difetti ossei e garantisce una grande facilità di manipolazione е rapidità applicazione. La nuova generazione di biomateriali "Dual-Phase" OsteoBiol®, associando la fase minerale alla fase collagenica, va oltre il semplice ruolo di sostegno alla ricrescita naturale dell'osso, stimolando e accelerando questo vitale processo fisiologico^(9,10).

Composizione di OsteoBiol® Gen-Os®



Fonte: University of Duisburg-Essen, Germania



Collagene e la rigenerazione ossea

La rigenerazione ossea guidata (GBR) è necessaria nei casi di trattamento dei deficit ossei dovuti a lesioni o ad infezioni batteriche. La guarigione di un difetto osseo si esplica tramite i meccanismi generali di guarigione tessutale, cioè complessi meccanismi dinamici mirati al ripristino della continuità anatomica e della funzionalità dei tessuti. La scoperta della cascata di eventi che portano alla guarigione tessutale ha aperto la strada all'identificazione dei fattori chiave nel processo di guarigione ossea; la contemporanea presenza componenti fondamentali è necessaria per la formazione "de novo" di tessuto osseo:

- le piastrine rappresentano l'attore principale della prima fase del processo di guarigione in cui, a seguito della si verifica un'iniziale lesione. deposizione di fibrina e l'organizzazione del coagulo ematico; è in tale fase che si verifica la maggiore attivazione dei segnali chimici mediati da citochine e fattori di crescita. Infatti, il processo di formazione del coaqulo postemorragico primario tramite l'aggregazione e la lisi piastrinica determina la liberazione dai granuli piastrinici sia dei fattori della cascata della coagulazione, sia dei fattori di crescita in questi contenuti, tra cui il PDGF, l'IGF1, l'IGF2, il VEGF, di cui è nota l'azione attivante nei confronti degli osteoblasti e degli osteoclasti, e il TGF-β (le Bone Morphogenetic Proteins BMP appartengono a questa super famiglia) che dà inizio alla formazione del callo osseo.
- i precursori osteoblastici di derivazione dalle cellule staminali mesenchimali del

- midollo osseo che, una volta differenziati in osteoblasti, tramite la sintesi di collagene e altre componenti della matrice extracellulare, si rendono responsabili della seconda fase del processo di guarigione (ossificazione encondrale e/o intramembranosa)
- un substrato insolubile, che si comporta da supporto idoneo al segnale osteoinduttivo ed espleta le funzioni di sostegno e guida alla formazione del nuovo tessuto osseo. Gli studi svolti da Sampath e Reddi (1980) dimostrarono che il collagene crosslinked di tipo I rappresentava il supporto più appropriato per la promozione del segnale osteoinduttivo. I continui progressi nella comprensione dei meccanismi biologici che regolano la morfogenesi del tessuto osseo possono essere sfruttati anche per l'elaborazione di prodotti naturali o artificiali in grado di ripristinare o di mantenere la funzione di tessuti e organi danneggiati (ingegneria tissutale)(1-3). Studi in vitro hanno dimostrato che il collagene eterologo è in grado di indurre la differenziazione delle cellule staminali mesenchimali osteoprogenitrici in osteoblasti⁽⁴⁾, e che l'associazione del collagene di tipo I con un'impalcatura di idrossiapatite aumenta in modo significativo i livelli di proliferazione degli osteoblasti. Quest'importante dimostrazione scientifica fornisce la base razionale per lo sviluppo della linea OsteoBiol®: una serie completa di biomateriali a base di collagene. collagene oltre alla nota azione strutturale che svolge nei tessuti connettivi, possiede infatti le sequenti importanti proprietà utili nei processi di riparazione tissutale:
- 1. **Emostasi:** il collagene è in grado di attivare il recettore sito sulle membrane cellulari delle piastrine, responsabile del loro processo di aggregazione e lisi; inoltre il collagene rafforza in prima settimana l'azione della fibrina nella formazione del coagulo primario per poi sostituirsi a questa in seconda settimana.
- 2. **Debridment:** il collagene funziona da chemiotattico per le cellule della serie monocito-macrofagica da cui derivano anche gli osteoclasti; questi, attraverso la loro azione di riassorbimento della componente minerale del tessuto osseo o di quella dei biomateriali OsteoBiol[®], possono essere richiamati, attivati e collaborare con gli osteoblasti nei processi di rimaneggiamento e rimodellamento osseo.
- 3. **Angiogenesi:** i monociti-macrofagi richiamati, a loro volta stimolano l'attività osteoblastica e il processo di angiogenesi nella sede di innesto.
- 4. **Attività osteoblastica:** il collagene legandosi alla fibronectina promuove l'ancoraggio dei precursori staminali mesenchimali sui quali ha azione chemiotattica e ne scatena la differenziazione in osteoblasti^(4,5).
- 5. Rimodellamento del sito ricevente: l'apporto di collagene esogeno può contribuire a ridurre i tempi di rimodellamento del tessuto osseo immaturo.
- 6. Osteoconduzione e rigenerazione guidata: integrato secondo natura con una componente minerale il collagene è in grado di aumentare i livelli di proliferazione degli osteoblasti, mentre sotto forma di membrana riassorbibile è in grado di guidare la rigenerazione dei tessuti connettivali in genere.

BIBLIOGRAFIA

(1) GRIFFITH LG, NAUGHTON G TISSUE ENGINEERING-CURRENT CHALLENGES AND EXPANDING OPPORTUNITIES SCIENCE 2002, 295:1009-14

(2) REDDI AH

MORPHOGENESIS AND TISSUE ENGINEERING OF BONE AND CARTILAGE: INDUCTIVE SIGNALS, STEM CELLS, AND BIOMIMETIC BIOMATERIALS TISSUE ENG 2000, 6(4):351-59

(3) NAKASHIMA N, REDDI AH
THE APPLICATION OF BONE MORPHOGENETIC PROTEINS
TO DENTAL TISSUE ENGINEERING

NAT BIOTECHNOL 2003, 9:1025-32

(4) SALASZNYK RM, WILLIAMS WA, BOSKEY A, BATORSKY A, PLOPPER GE

ADHESION TO VITRONECTIN AND COLLAGEN I PROMOTES OSTEOGENIC DIFFERENTIATION OF HUMAN MESENCHYMAL STEM CELLS

J BIOMED BIOTECHNOL 2004, 1:24-34

(5) BRUNELLI G, SOLLAZZO V, CARINCI F, PALMIERI A, GIRARDI A, MONGUZZI R

OSTEOBIOL® INFLUENCES OSTEOGENIC DIFFERENTIATION OF ADIPOSE DERIVED STEM CELLS

EUR J INFLAMMAT, 2011, VOL. 9, NO. 3(S), 103-107



SUBSTRATOCollagene



CELLULE
OSTEOPROGENITRICI
Midollo osseo



FATTORI DI CRESCITA TGFβ1 – BMP: sangue



RIGENERAZIONE
Osso alveolare
legamento parodontale - cemento

Dall'osso eterologo al biomateriale

RISULTATI DELL'ANALISI CHIMICA INORGANICA SVOLTA SU OSTEOBIOL® GEN-OS®

	OsteoBiol® Gen-Os®
Elemento chimico	(% in peso)
Ca	25.7%
PO ₄ ³⁻	35.2%
С	13.6%
Н	2.2%
Ν	2.9%
O (not in PO ₄ ³⁻)	20.4%
TOTALE	100.0%
Ca/P (n:n)	1.73

Componente minerale

73.6%

matrice organica 22.4%

Acqua 4.0%

Risultati dell'analisi chimica organica Fonte: Università di Duisbura-Essen, Germania



RISULTATI DELL'ANALISI CHIMICA ORGANICA SVOLTA SU OSTEOBIOL® GEN-OS®



Un biomateriale per la ricostruzione di difetti ossei deve essere biocompatibile e possedere proprietà di notevole maneggevolezza e di buona modellabilità. I laboratori Tecnoss® sono specializzati nel trattamento dei tessuti ossei e collagenici eterologhi; il processo tecnologico dei sostituti ossei OsteoBiol®, in particolare, è stato sviluppato per parzialmente conservare, seppure modificata, la matrice originale di collagene presente nel tessuto eterologo, nell'ottica di preservare le sue funzioni biologiche positive, ottenendo allo stesso tempo un'eccellente biocompatibilità⁽¹⁾. La maggior parte dei biomateriali esistenti

"Le proteine separate sono state frazionate in dieci porzioni e analizzate con nano-LC-ESI MS/MS. Nelle frazioni 1-5 nel range da 20-200kDa è stato trovato **ESCLUSIVAMENTE COLLAGENE**. Nelle frazioni 6-10 **non sono state identificate proteine**".

Risultati dell'analisi chimica organica Fonte: Proteome Factory, Germania

sul mercato è rappresentata da prodotti inerti che non interferiscono, o meglio che non prendono parte alla fisiologia del rimodellamento osseo: visto che sono stati sviluppati secondo il solo concetto di biocompatibilità, la loro funzione è limitata alla preservazione del volume dell'innesto (proprietà di scaffold). Il solo concetto di biocompatibilità trova una sua ragione essenziale nell'impianto di elementi permanenti all'interno protesici dell'organismo umano, ma risulta essere estremamente limitante nel caso di materiali preposti alla ricostruzione ossea, I biomateriali OsteoBiol®, essendo aradualmente riassorbiti e sostituiti da abbondante osso neo-formato, creano le condizioni ideali per la osteointegrazione degli impianti dentali successivamente inseriti nel sito rigenerato⁽²⁾.

(1) NANNMARK U, SENNERBY L

THE BONE TISSUE RESPONSES TO PREHYDRATED AND COLLAGENATED CORTICO-CANCELLOUS PORCINE BONE GRAFTS: A STUDY IN RABBIT MAXILLARY DEFECTS

CLIN IMPLANT DENT RELAT RES, 2008 DEC;10(4):264-70.

(2) CHECCHI V, FELICE P, ZUCCHELLI G, BARAUSSE C, PIATTELLI M, PISTILLI R, GRANDI G, ESPOSITO M
WIDE DIAMETER IMMEDIATE POST-EXTRACTIVE IMPIANTS VS. DELAYED PLACEMENT OF NO

WIDE DIAMETER IMMEDIATE POST-EXTRACTIVE IMPLANTS VS DELAYED PLACEMENT OF NORMAL-DIAMETER IMPLANTS IN PRESERVED SOCKETS IN THE MOLAR REGION: 1-YEAR POST-LOADING OUTCOME OF A RANDOMISED CONTROLLED TRIAL EUR. J ORAL IMPLANTOL, 2017;10(3):263-278

OsteoBiol®: la linea di prodotti più completa



La estesa gamma di prodotti OsteoBiol® è stata sviluppata per aiutare i chirurghi a scegliere il biomateriale specifico più adatto per ciascuna indicazione clinica.

Il continuo sviluppo di nuovi prodotti effettuato da Tecnoss®, nonchè il miglioramento dei prodotti esistenti, hanno lo scopo di supportare le capacità chirurgiche del professionista e di migliorare sia le tecniche intraoperatorie che i risultati clinici.

Gli specialisti R&D hanno unito la loro esperienza con quella dei clinici e ricercatori, al fine di sviluppare le bio-tecnologie più avanzate: l'obiettivo principale è di sviluppare una soluzione specifica per ogni esigenza clinica.

I biomateriali collagenati OsteoBiol® contribuiscono alla neo-formazione ossea, alla rivascolarizzazione del sito innestato e all'assorbimento dei fattori di crescita, creando un ambiente estremamente favorevole alla rigenerazione ossea.

La letteratura scientifica ha dimostrato che la matrice ossea OsteoBiol® è simile all'osso umano, ed in particolare gli studi clinici hanno evidenziato come tale matrice sia osteoconduttiva, ben integrata nel sito ospite e parzialmente ma significativamente riassorbita dopo 3-6 mesi, senza segni di reazione avversa⁽¹⁾.

(1) GIULIANI A, IEZZI G, MAZZONI S, PIATTELLI A, PERROTTI V, BARONE A

REGENERATIVE PROPERTIES OF COLLAGENATED PORCINE BONE GRAFTS IN HUMAN MAXILLA: DEMONSTRATIVE STUDY OF THE KINETICS BY SYNCHROTRON RADIATION MICROTOMOGRAPHY AND LIGHT MICROSCOPY CLIN. ORAL INVESTIG., 2017 2018 JAN;22(1):505-513



Certificazioni



APPROVAL CERTIFICATE Bone Matrix Fonte: Tecnoss® s.r.l.



EC DESIGN-EXAMINATION CERTIFICATE Bone Matrix Fonte: Tecnoss® s.r.l.



APPROVAL CERTIFICATE Membranes
Fonte: Tecnoss® s.r.l.



EC DESIGN-EXAMINATION CERTIFICATE Membranes
Fonte: Tecnoss® s.r.l.



UNI EN ISO 13485 KIWA CERMET quality certificate Fonte: Tecnoss® s.r.l.





Nuova APP gratuita per smartphone, iPhone, tablet e iPad comprensiva di:

8 video animazioni per spiegare ai tuoi pazienti le principali tecniche GBR

Informazioni sulla gamma completa dei biomateriali OsteoBiol®

Accesso diretto al database di video e casi clinici sul sito osteobiol.com







Questa App potrebbe essere di dimensioni troppo grandi per essere scaricata tramite rete mobile. Si raccomanda pertanto il collegamento Wi-Fi prima di iniziare il download.





Biomateriali collagenati

Distribuiti in 70 paesi 200 pubblicazioni scientifiche internazionali 20 anni di successi clinici Oltre 1.000.000 chirurgie eseguite





REGENERATION SCIENCE



Letteratura scientifica pubblicazioni internazionali

COVANI U, AMERI S, CRESPI R, BARONE A
PRESERVAZIONE DEL PROCESSO ALVEOLARE CON OSSO
ETEROLOGO. CONSIDERAZIONI ISTOLOGICHE

ITALIAN ORAL SURGERY, 2004, VOL 3, 1: 17-23

CASSETTA M, CALASSO S, VOZZA I, DELL'AQUILA D REHABILITATION OF ATROPHIC ALVEOLAR CRESTS WITH CYLINDRICAL SANDBLASTED AND ACID ETCHED IMPLANTS: A PILOT STUDY

EUR J IMPLANT PROSTHODONTICS, 2005;(3)1:133-144

ARCURI C, CECCHETTI F, GERMANO F, MOTTA A, SANTACROCE C

CLINICAL AND HISTOLOGICAL STUDY OF A XENOGENIC BONE SUBSTITUTE USED AS A FILLER IN POSTEXTRACTIVE ALVEOLUS

MINERVA STOMATOL, 2005 JUN;54(6):351-62

BARONE A, CRESPI R, ALDINI NN, FINI M, GIARDINO R,

MAXILLARY SINUS AUGMENTATION: HISTOLOGIC AND HISTOMORPHOMETRIC ANALYSIS

INT J ORAL MAXILLOFAC IMPLANTS, 2005 JUL-AUG; 20(4):519-25

RINNA C, UNGARI C, SALTAREL A, CASSONI A, REALE G ORBITAL FLOOR RESTORATION

J CRANIOFAC SURG, 2005 NOV; 16(6):968-72

BARONE A, AMERI S, COVANI U

IMMEDIATE POSTEXTRACTION IMPLANTS: TREATMENT OF RESIDUAL PERI-IMPLANT DEFECTS. A RETROSPECTIVE ANALYSIS

EUR J IMPLANT PROSTHODONTICS, 2006,2: 99-106

BARONE A, SANTINI S, SBORDONE L, CRESPI R, COVANI U A CLINICAL STUDY OF THE OUTCOMES AND COMPLICATIONS ASSOCIATED WITH MAXILLARY SINUS AUGMENTATION

INT J ORAL MAXILLOFAC IMPLANTS, 2006 JAN-FEB; 21(1):81-5

COVANI U, BARONE A, CORNELINI R, CRESPI R CLINICAL OUTCOME OF IMPLANTS PLACED IMMEDIATELY AFTER IMPLANT REMOVAL J PERIODONTOL. 2006 APR:77(4):722-7

ORSINI G, SCARANO A, PIATTELLI M, PICCIRILLI M, CAPUTI S, PIATTELLI A

HISTOLOGIC AND ULTRASTRUCTURAL ANALYSIS OF REGENERATED BONE IN MAXILLARY SINUS AUGMENTATION USING A PORCINE BONE-DERIVED BIOMATERIAL

J PERIODONTOL, 2006 DEC;77(12):1984-90

TRUBIANI O, SCARANO A, ORSINI G, DI IORIO D, D'ARCANGELO C, PICCIRILLI M, SIGISMONDO M, CAPUTI S THE PERFORMANCE OF HUMAN PERIODONTAL LIGAMENT MESENCHYMAL STEM CELLS ON XENOGENIC BIOMATERIALS

INT J IMMUNOPATHOL PHARMACOL, 2007 JAN-MAR; 20 (1 SUPPL 1):87-91

BARONE A, COVANI U

MAXILLARY ALVEOLAR RIDGE RECONSTRUCTION WITH NON- VASCULARIZED AUTOGENOUS BLOCK BONE: CLINICAL RESULTS

J ORAL MAXILLOFAC SURG, 2007 OCT;65(10):2039-46

DEL CORSO M

SOFT TISSUE RESPONSE TO PLATELET RICH FIBRIN: CLINICAL EVIDENCES

COSMETIC DENTISTRY, 2008, 3:16-20

BARONE A, SANTINI S, MARCONCINI S, GIACOMELLI L, GHERLONE E, COVANI U

OSTEOTOMY AND MEMBRANE ELEVATION DURING THE MAXILLARY SINUS AUGMENTATION PROCEDURE. A COMPARATIVE STUDY: PIEZOELECTRIC DEVICE VS. CONVENTIONAL ROTATIVE INSTRUMENTS

CLIN ORAL IMPLANTS RES, 2008 MAY;19(5):511-5

BARONE A, CORNELINI R, CIAGLIA R, COVANI U
IMPLANT PLACEMENT IN FRESH EXTRACTION SOCKETS
AND SIMULTANEOUS OSTEOTOME SINUS FLOOR
ELEVATION: A CASE SERIES

INT J PERIODONTICS RESTORATIVE DENT, 2008 JUN; 28(3):283-9

BARONE A, ALDINI NN, FINI M, GIARDINO R, CALVO GUIRADO JL. COVANI U

XENOGRAFT VERSUS EXTRACTION ALONE FOR RIDGE PRESERVATION AFTER TOOTH REMOVAL: A CLINICAL AND HISTOMORPHOMETRIC STUDY

J PERIODONTOL, 2008 AUG;79(8):1370-7

COVANI U, CORNELINI R, BARONE A
BUCCAL BONE AUGMENTATION AROUN

BUCCAL BONE AUGMENTATION AROUND IMMEDIATE IMPLANTS WITH AND WITHOUT FLAP ELEVATION: A MODIFIED APPROACH

INT J ORAL MAXILLOFAC IMPLANTS, 2008 SEP-OCT; 23(5):841-6

CARDAROPOLI D. CARDAROPOLI G

PRESERVATION OF THE POSTEXTRACTION ALVEOLAR RIDGE: A CLINICAL AND HISTOLOGIC STUDY
INT J PERIODONTICS RESTORATIVE DENT, 2008 OCT; 28(5):469-77

NANNMARK U. SENNERBY L

THE BONE TISSUE RESPONSES TO PREHYDRATED AND COLLAGENATED CORTICO-CANCELLOUS PORCINE BONE GRAFTS: A STUDY IN RABBIT MAXILLARY DEFECTS CLIN IMPLANT DENT RELAT RES, 2008 DEC;10(4):264-70

SCARANO A, PIATTELLI M, CARINCI F, PERROTTI V
REMOVAL, AFTER 7 YEARS, OF AN IMPLANT DISPLACED
INTO THE MAXILLARY SINUS. A CLINICAL AND
HISTOLOGIC CASE REPORT

J OSSEOINTEGR, 2009;1(1):35-40

COVANI U, MARCONCINI S, CRESPI R, BARONE A IMMEDIATE IMPLANT PLACEMENT AFTER REMOVAL OF A FAILED IMPLANT: A CLINICAL AND HISTOLOGICAL CASE REPORT

J ORAL IMPLANTOL, 2009; 35(4):189-95

FIGUEIREDO M, HENRIQUES J, MARTINS G, GUERRA F, JUDAS F, FIGUEIREDO H

PHYSICOCHEMICAL CHARACTERIZATION OF BIOMATERIALS COMMONLY USED IN DENTISTRY AS BONE SUBSTITUTES - COMPARISON WITH HUMAN BONE J BIOMED MATER RES B APPL BIOMATER, 2010FEB; 92(2):409-19

GRENGA PL, REALE G, COFONE C, MEDURI A, CERUTI P, GRENGA R

HESS AREA RATIO AND DIPLOPIA: EVALUATION OF 30 PATIENTS UNDERGOING SURGICAL REPAIR FOR ORBITAL BLOW-OUT FRACTURE

OPHTHAL PLAST RECONSTR SURG, 2009 MAR-APR; 25(2):123-5

CRESPI R, CAPPARÈ P, GHERLONE E

DENTAL IMPLANTS PLACED IN EXTRACTION SITES
GRAFTED WITH DIFFERENT BONE SUBSTITUTES:
RADIOGRAPHIC EVALUATION AT 24 MONTHS
J PERIODONTOL, 2009 OCT; 80(10):1616-1621

RINNA C, REALE G, FORESTA E, MUSTAZZA MC
MEDIAL ORBITAL WALL RECONSTRUCTION WITH SWINE
BONE CORTEX

J CRANIOFAC SURG, 2009 MAY; 20(3): 881-4

CARDAROPOLI D. CARDAROPOLI G

HEALING OF GINGIVAL RECESSIONS USING A COLLAGEN MEMBRANE WITH A THE MINERALIZED XENOGRAFT: A RANDOMIZED CONTROLLED CLINICAL TRIAL

INT J PERIODONTICS RESTORATIVE DENT, 2009 FEB; 29(1):59-67

NANNMARK U. AZARMEHR I

SHORT COMMUNICATION: COLLAGENATED CORTICO-CANCELLOUS PORCINE BONE GRAFTS. A STUDY IN RABBIT MAXILLARY DEFECTS

CLIN IMPLANT DENT RELAT RES, 2010 JUN 1; 12(2):161-3

SCARANO A, PIATTELLI A, ASSENZA B, QUARANTA A, PERROTTI V, PIATTELLI M, IEZZI G

PORCINE BONE USED IN SINUS AUGMENTATION PROCEDURES: A 5-YEAR RETROSPECTIVE CLINICAL EVALUATION

J ORAL MAXILLOFAC SURG, 2010 AUG; 68(8):1869-73

ROSSI R, MORALES RS, FRASCARIA M, BENZI R, SQUADRITO N PLANNING IMPLANTS IN THE ESTHETIC ZONE USING A NEW IMPLANT 3D NAVIGATION SYSTEM

EUR J ESTHETIC DENT, 2010 SUMMER; 5(2):172-88

SCARANO A, CARINCI F, ASSENZA B, PIATTELLI M, MURMURA G, PIATTELLI A

VERTICAL RIDGE AUGMENTATION OF ATROPHIC POSTERIOR MANDIBLE USING AN INLAY TECHNIQUE WITH A XENOGRAFT WITHOUT MINISCREWS AND MINIPLATES: CASE SERIES

CLIN ORAL IMPLANTS RES, 2011 OCT;22(10):1125-30

PAGLIANI L, ANDERSSON P, LANZA M, NAPPO A, VERROCCHI D, VOLPE S, SENNERBY L

A COLLAGENATED PORCINE BONE SUBSTITUTE FOR AUGMENTATION AT NEOSS IMPLANT SITES: A PROSPECTIVE 1-YEAR MULTICENTER CASE SERIES STUDY WITH HISTOLOGY

CLIN IMPLANT DENT RELAT RES, 2012 OCT;14(5):746-58

SANTAGATA M. GUARINIELLO L. TARTARO G

A MODIFIED EDENTULOUS RIDGE EXPANSION (MERE)
TECHNIQUE FOR IMMEDIATE PLACEMENT OF IMPLANTS.
A CASE REPORT

J ORAL IMPLANTOL, 2011 MAR;37 SPEC N°:114-9

SCARANO A, PIATTELLI A, PERROTTI V, MANZON L, IEZZI G MAXILLARY SINUS AUGMENTATION IN HUMANS USING CORTICAL PORCINE BONE: A HISTOLOGICAL AND HISTOMORPHOMETRICAL EVALUATION AFTER 4 AND 6 MONTHS

CLIN IMPLANT DENT RELAT RES, 2011 MAR;13(1):13-18

CRESPI R, CAPPARÈ P, ROMANOS GE, MARIANI E, BENASCIUTTI E, GHERLONE E

CORTICOCANCELLOUS PORCINE BONE IN THE HEALING OF HUMAN EXTRACTION SOCKETS: COMBINING HISTOMORPHOMETRY WITH OSTEOBLAST GENE EXPRESSION PROFILES IN VIVO

INT J ORAL MAXILLOFAC IMPLANTS, 2011 JUL-AUG; 26(4):866-72

HINZE M, VRIELINCK L, THALMAIR T, WACHTEL H, BOLZ W ZYGOMATIC IMPLANT PLACEMENT IN CONJUCTION WITH SINUS BONE GRAFTING: THE "EXTENDED SINUS ELEVATION TECHNIQUE". A CASE-COHORT STUDY ORAL CRANIOFAC TISSUE ENG, 2011; 1:188-197

IEZZI G, DEGIDI M, PIATTELLI A, MANGANO C, SCARANO A, SHIBLI JA, PERROTTI V

COMPARATIVE HISTOLOGICAL RESULTS OF DIFFERENT BIOMATERIALS USED IN SINUS AUGMENTATION PROCEDURES: A HUMAN STUDY AT 6 MONTHS
CLIN ORAL IMPLANTS RES, 2012 DEC;223(12):1369-76

SLOTTE C, LINDFORS N, NANNMARK U
SURGICAL RECONSTRUCTION OF PERI-IMPLANT BONE
DEFECTS WITH PREHYDRATED AND COLLAGENATED
PORCINE BONE AND COLLAGEN BARRIERS: CASE
PRESENTATIONS

CLIN IMPLANT DENT RELAT RES, 2013 OCT; 15(5):714-23

BARONE A, RICCI M, GRASSI RF, NANNMARK U, QUARANTA A, COVANI U

A 6-MONTH HISTOLOGICAL ANALYSIS ON MAXILLARY SINUS AUGMENTATION WITH AND WITHOUT USE OF COLLAGEN MEMBRANES OVER THE OSTEOTOMY WINDOW: RANDOMIZED CLINICAL TRIAL

CLIN ORAL IMPLANTS RES, 2013 JAN; 24(1):1-6

SANTAGATA M, GUARINIELLO L, RAUSO R, TARTARO G
IMMEDIATE LOADING OF DENTAL IMPLANT AFTER
SINUS FLOOR ELEVATION WITH OSTEOTOME
TECHNIQUE: A CLINICAL REPORT AND PRELIMINARY
RADIOGRAPHIC RESULTS

J ORAL IMPLANTOL, 2010 DEC; 36(6):485-489

FESTA VM, ADDABBO F, LAINO L, FEMIANO F, RULLO R
PORCINE-DERIVED XENOGRAFT COMBINED WITH A
SOFT CORTICAL MEMBRANE VERSUS EXTRACTION
ALONE FOR IMPLANT SITE DEVELOPMENT: A CLINICAL
STUDY IN HUMANS

CLIN IMPLANT DENT RELAT RES, 2013 OCT;15(5):707-13

RAMIREZ FERNANDEZ MP, CALVO GUIRADO JL, MATÉ SANCHEZ DE VAL JE, DELGADO RUIZ RA, NEGRI B, BARONA DORADO C

ULTRASTRUCTURAL STUDY BY BACKSCATTERED ELECTRON IMAGING AND ELEMENTAL MICROANALYSIS OF BONE-TO-BIOMATERIAL INTERFACE AND MINERAL DEGRADATION OF PORCINE XENOGRAFTS USED IN MAXILLARY SINUS FLOOR ELEVATION

CLIN ORAL IMPLANTS RES, 2013 MAY;24(5):523-30

CASSETTA M, RICCI L, IEZZI G, DELL'AQUILA D, PIATTELLI A, PERROTTI V

RESONANCE FREQUENCY ANALYSIS OF IMPLANTS INSERTED WITH A SIMULTANEOUS GRAFTING PROCEDURE: A 5-YEAR FOLLOW-UP STUDY IN MAN INT J PERIODONTICS RESTORATIVE DENT, 2012 OCT.32(5):581-9

BARONE A, ORLANDO B, CINGANO L, MARCONCINI S, DERCHI G, COVANI U

A RANDOMIZED CLINICAL TRIAL TO EVALUATE AND COMPARE IMPLANTS PLACED IN AUGMENTED VS. NON-AUGMENTED EXTRACTION SOCKETS. A 3-YEAR EVALUATION

J PERIODONTOL, 2012 JUL;83(7):836-46

Letteratura scientifica pubblicazioni internazionali

ESPOSITO M, CANNIZZARO G, SOARDI E, PISTILLI R, PIATTELLI M, CORVINO V. FELICE P

POSTERIOR ATROPHIC JAWS REHABILITATED WITH PROSTHESES SUPPORTED BY 6 MM-LONG, 4 MM-WIDE IMPLANTS OR BY LONGER IMPLANTS IN AUGMENTED BONE. PRELIMINARY RESULTS FROM A PILOT RANDOMISED CONTROLLED TRIAL

EUR J ORAL IMPLANTOL, 2012 SPRING;5(1):19-33

FELICE P, PIANA L, CHECCHI L, PISTILLI R, PELLEGRINO G VERTICAL RIDGE AUGMENTATION OF THE ATROPHIC POSTERIOR MANDIBLE WITH A 2-STAGE INLAY TECHNIQUE: A CASE REPORT

IMPLANT DENT, 2012 JUN;21(3):190-5

BARONE A, RICCI M, TONELLI P, SANTINI S, COVANI U
TISSUE CHANGES OF EXTRACTION SOCKETS IN HUMANS: A
COMPARISON OF SPONTANEOUS HEALING VS. RIDGE
PRESERVATION WITH SECONDARY SOFT TISSUE HEALING
CLIN ORAL IMPLANTS RES, 2013 NOV;24(11):1231-7

CASSETTA M, RICCI L, IEZZI G, CALASSO S, PIATTELLI A, PERROTTI V

USE OF PIEZOSURGERY DURING MAXILLARY SINUS ELEVATION: CLINICAL RESULTS OF 40 CONSECUTIVE CASES INT J PERIODONTICS RESTORATIVE DENT, 2012 DEC;32(6):E182-8

BRUNELLI G, SOLLAZZO V, CARINCI F, PALMIERI A, GIRARDI A, MONGUZZI R

OSTEOBIOL® INFLUENCES OSTEOGENIC DIFFERENTIATION OF ADIPOSE DERIVED STEM CELLS

EUR J INFLAMMAT, 2011, VOL. 9, NO. 3 (S), 103-107

FELICE P, PIANA L, CHECCHI L, CORVINO V, NANNMARK U, PIATTELLI M

VERTICAL RIDGE AUGMENTATION OF ATROPHIC POSTERIOR MANDIBLE WITH AN INLAY TECHNIQUE AND CANCELLOUS EQUINE BONE BLOCK: A CASE REPORT

INT J PERIODONTICS RESTORATIVE DENT, 2013 MAR;33(2):159-66

FICKL S, JOCKEL-SCHNEIDER Y, LINCKE T, BECHTOLD M, FISCHER KR. SCHLAGENHAUF U

PORCINE DERMAL MATRIX FOR COVERING OF RECESSION TYPE DEFECTS: A CASE SERIES

QUINTESSENCE INT, 2013;44(3):243-6

SILVESTRI M, MARTEGANI P, D'AVENIA F, FARNETI M, CAPRI D, PAOLANTONI G, LANDI L

SIMULTANEOUS SINUS AUGMENTATION WITH IMPLANT PLACEMENT: HISTOMORPHOMETRIC COMPARISON OF TWO DIFFERENT GRAFTING MATERIALS. A MULTICENTER DOUBLE-BLIND PROSPECTIVE RANDOMIZED CONTROLLED CLINICAL TRIAL

INT J ORAL MAXILLOFAC IMPLANTS, 2013 MAR-APR;28(2):543-9

WACHTEL H, FICKL S, HINZE M, BOLZ W, THALMAIR T THE BONE LAMINA TECHNIQUE: A NOVEL APPROACH FOR LATERAL RIDGE AUGMENTATION - A CASE SERIES INT J PERIODONTICS RESTORATIVE DENT, 2013 JUL-AUG;33(4):491-7

RODRIGUEZ JG, ELDIBANY RM

VERTICAL SPLITTING OF THE MANDIBULAR BODY AS AN ALTERNATIVE TO INFERIOR ALVEOLAR NERVE LATERALIZATION

INT J ORAL MAXILLOFAC SURG, 2013 SEP;42(9):1060-6

FIGUEIREDO A, COIMBRA P, CABRITA A, GUERRA F, FIGUEIREDO M

COMPARISON OF A XENOGENEIC AND AN ALLOPLASTIC MATERIAL USED IN DENTAL IMPLANTS IN TERMS OF PHYSICO-CHEMICAL CHARACTERISTICS AND IN VIVO INFLAMMATORY RESPONSE

MATER SCI ENG C, MATER BIOL APP, 2013 AUG 1;33(6):3506-13

FELICE P, PISTILLI R, PIATTELLI M, SOARDI E, CORVINO V, ESPOSITO M

POSTERIOR ATROPHIC JAWS REHABILITATED WITH PROSTHESES SUPPORTED BY 5 X 5 MM IMPLANTS WITH A NOVEL NANOSTRUCTURED CALCIUM-INCORPORATED TITANIUM SURFACE OR BY LONGER IMPLANTS IN AUGMENTED BONE. PRELIMINARY RESULTS FROM A RANDOMISED CONTROLLED TRIAL

EUR J ORAL IMPLANTOL, SUMMER;5(2):149-61

TRAINI T, PIATTELLI A, CAPUTI S, DEGIDI M, MANGANO C, SCARANO A, PERROTTI V, IEZZI G

REGENERATION OF HUMAN BONE USING DIFFERENT BONE SUBSTITUTE BIOMATERIALS

CLIN IMPLANT DENT RELAT RES, 2015 FEB;17(1):150-62

KOLMAS J, SZWAJA M, KOLODZIEJSKI W SOLID-STATE NMR AND IR CHARACTERIZATION OF

COMMERCIAL XENOGENEIC BIOMATERIALS USED AS BONE SUBSTITUTES

J PHARM BIOMED ANAL, 2012 MAR 5;61:136-41

PISTILLI R, FELICE P, PIATTELLI M, GESSAROLI M, SOARDI E, BARAUSSE C, BUTI J, CORVINO V, ESPOSITO M
POSTERIOR ATROPHIC JAWS REHABILITATED WITH PROSTHESES SUPPORTED BY 5 X 5 MM IMPLANTS WITH A NOVEL NANOSTRUCTURED CALCIUM-INCORPORATED TITANIUM SURFACE OR BY LONGER IMPLANTS IN AUGMENTED BONE. ONE-YEAR RESULTS FROM A RANDOMISED CONTROLLED TRIAL

EUR J ORAL IMPLANTOL, 2013 WINTER;6(4):343-357

FICKL S, NANNMARK U, SCHLAGENHAUF U, HÜRZELER M, KEBSCHULL M

PORCINE DERMAL MATRIX IN THE TREATMENT OF DEHISCENCE-TYPE DEFECTS - AN EXPERIMENTAL SPLIT-MOUTH ANIMAL TRIAL

CLIN ORAL IMPLANTS RES, 2015 JUL;26(7):799-805

BARONE A, BORGIA V, COVANI U, RICCI M, PIATTELLI A, IEZZI G

FLAP VERSUS FLAPLESS PROCEDURE FOR RIDGE PRESERVATION IN ALVEOLAR EXTRACTION SOCKETS: A HISTOLOGICAL EVALUATION IN A RANDOMIZED CLINICAL TRIAL

CLIN ORAL IMPLANTS RES, 2015 JUL;26(7):806-13

BARONE A, RICCI M, ROMANOS GE, TONELLI P, ALFONSI F, COVANI U

BUCCAL BONE DEFICIENCY IN FRESH EXTRACTION SOCKETS: A PROSPECTIVE SINGLE COHORT STUDY CLIN ORAL IMPLANTS RES, 2015 JUL;26(7):823-30

BARONE A, TOTI P, QUARANTA A, DERCHI G, COVANI U
THE CLINICAL OUTCOMES OF IMMEDIATE VERSUS
DELAYED RESTORATION PROCEDURES ON IMMEDIATE
IMPLANTS: A COMPARATIVE COHORT STUDY FOR
SINGLE-TOOTH REPLACEMENT

CLIN IMPLANT DENT RELAT RES, 2015 DEC;17(6):1114-26

CASSETTA M, PERROTTI V, CALASSO S, PIATTELLI A, SINJARI B, IEZZI G

BONE FORMATION IN SINUS AUGMENTATION PROCEDURES USING AUTOLOGOUS BONE, PORCINE BONE, AND A 50 : 50 MIXTURE: A HUMAN CLINICAL AND HISTOLOGICAL EVALUATION AT 2 MONTHS CLIN ORAL IMPLANTS RES, 2015 OCT;26(10):1180-4

GHENO E, PALERMO A, BUFFOLI B, RODELLA LF
THE EFFECTIVENESS OF THE USE OF XENOGENEIC
BONE BLOCKS MIXED WITH AUTOLOGOUS
CONCENTRATED GROWTH FACTORS (CGF) IN BONE
REGENERATION TECHNIQUES

J OSSEOINTEGRATION 2014;6(2):37-42

FALISI G, GALLI M, VITTORINI-VELASQUEZ P,
GALLEGOS-RIVERA JC, MINASI R, DE BIASE A, DI PAOLO C
USE OF 3D CARTILAGE SCAFFOLDS FOR THE
STABILIZATION OF IMPLANTS AND BONE
REGENERATION WITH THE FIT-LOCK TECHNIQUE
ACTA ODONTOL LATINOAM 2013;26(3):167-172

FISCHER KR, FICKL S, MARDAS N, BOZEC L, DONOS N STAGE-TWO SURGERY USING COLLAGEN SOFT TISSUE GRAFTS: CLINICAL CASES AND ULTRASTRUCTURAL ANALYSIS

QUINTESSENCE INT, 2014 NOV-DEC; 45(10):853-60

FISCHER KR, STAVROPOULOS A, CALVO GUIRADO JL, SCHNEIDER D, FICKL S

INFLUENCE OF LOCAL ADMINISTRATION OF PAMIDRONATE ON EXTRACTION SOCKET HEALING - A HISTOMORPHOMETRIC PROOF-OF-PRINCIPLE PRE-CLINICAL IN VIVO EVALUATION

CLIN ORAL IMPLANTS RES, 2015 OCT;26(10):1135-42

SCARANO A, MURMURA G, SINJIARI B, ASSENZA B, SOLLAZZO V, SPINELLI G, CARINCI F

EXPANSION OF THE ALVEOLAR BONE CREST WITH ULTRASONIC SURGERY DEVICE: CLINICAL STUDY IN MANDIBLE

INT J IMMUNOPATHOL PHARMACOL, 2011 APR-JUN; 24(2 SUPPL):71-5

SCARANO A, PIATTELLI A, MURMURA G, IEZZI G, ASSENZA B, MANCINO C

DELAYED EXPANSION OF THE ATROPHIC MANDIBLE BY ULTRASONIC SURGERY: A CLINICAL AND HISTOLOGIC CASE SERIES

INT J ORAL MAXILLOFAC IMPLANTS, 2015 JAN-FEB:30(1):144-9

LORENZON G. BUTTARELLO GM. CHESSA G

CASE REPORT: IMPLANT PLACEMENT AND IMMEDIATE LOADING WITH SIMULTANEOUS BONE REGENERATION FOLLOWING JAW ODONTOGENIC CYST ENUCLEATION DENTISTRY, 2015, 5:2

THALMAIR T, FICKL S, SCHNEIDER D, HINZE M, WACHTEL H DIMENSIONAL ALTERATIONS OF EXTRACTION SITES AFTER DIFFERENT ALVEOLAR RIDGE PRESERVATION TECHNIQUES – A VOLUMETRIC STUDY

J CLIN PERIODONTOL, 2013 JUL;40(7):721-7

MANESCU A, GIULIANI A, MOHAMMADI S, TROMBA G, MAZZONI S, DIOMEDE F, ZINI N, PIATTELLI A, TRUBIANI O OSTEOGENIC POTENTIAL OF DUAL-BLOCKS CULTURED WITH HUMAN PERIODONTAL LIGAMENT STEM CELLS: IN VITRO AND SYNCHROTRON

J PERIODONTAL RES, 2016 FEB;51(1):112-24

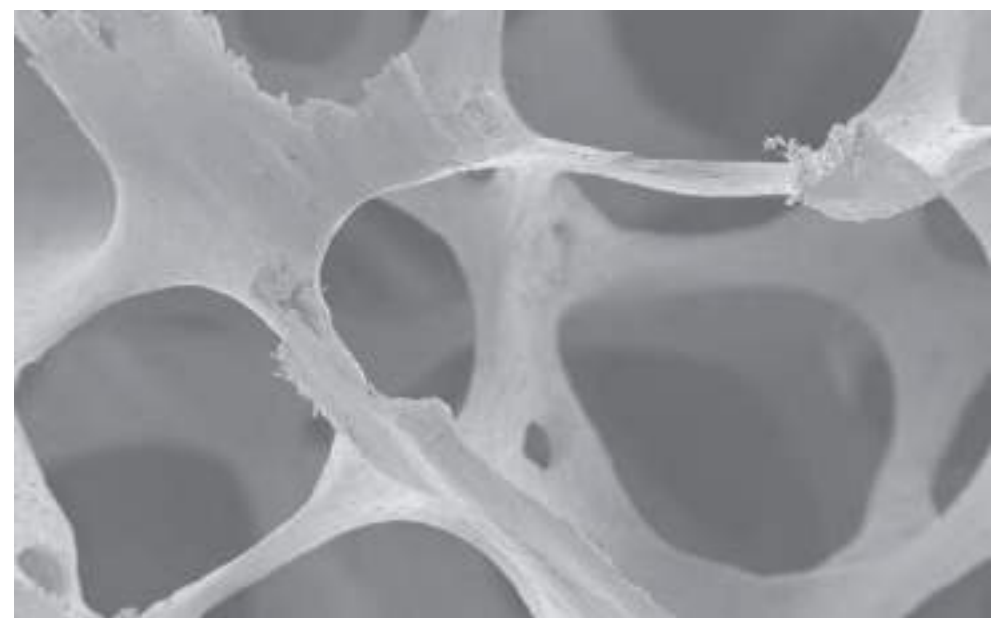


Immagine SEM di blocco spongioso OsteoBiol® Autore: Prof Ulf Nannmark, University of Göteborg, Svezia



Abstracts gratuiti sulla App OsteoBiol®



SCARANO A, PIATTELLI A, IEZZI G, VARVARA G SPONTANEOUS BONE FORMATION ON THE MAXILLARY SINUS FLOOR IN ASSOCIATION WITH SURGERY TO REMOVE A MIGRATED DENTAL IMPLANT: A CASE

MINERVA STOMATOL, 2014 OCT;63(10):351-9

BARONE A, TOTI P, QUARANTA A, ALFONSI F, CUCCHI A, CALVO GUIRADO JL, NEGRI B. DI FELICE R, COVANI U **VOLUMETRIC ANALYSIS OF REMODELLING PATTERN** AFTER RIDGE PRESERVATION COMPARING USE OF TWO TYPES OF XENOGRAFTS. A MULTICENTRE RANDOMIZED **CLINICAL TRIAL**

CLIN ORAL IMPLANTS RES, 2016 NOV;27(11):E105-E115

ESPOSITO M. GRUSOVIN MG. LAMBERT F. MATOS S. PIETRUSKA M, ROSSI R, SALHI L, BUTI J

THE EFFECTIVENESS OF A RESORBABLE BONE SUBSTITUTE WITH A RESORBABLE MEMBRANE IN THE TREATMENT OF PERIODONTAL INFRABONY DEFECT - A MULTICENTER RANDOMISED CONTROLLED TRIAL EUR J ORAL IMPLANTOL, 2015;8(3):233-244

OZEL B. FINDIKCIOGLU K. SEZGIN B. GUNEY K. BARUT I. OZMEN S

A NEW OPTION FOR THE RECONSTRUCTION OF **ORBITAL FLOOR DEFECTS WITH HETEROLOGOUS CORTICAL BONE**

J CRANIOMAXILLOFAC SURG, 2015 OCT:43(8):1583-8

CORBELLA S. TASCHIERI S. WEINSTEIN R. DEL FABBRO M HISTOMORPHOMETRIC OUTCOMES AFTER LATERAL SINUS FLOOR ELEVATION PROCEDURE: A SYSTEMATIC **REVIEW OF THE LITERATURE AND META-ANALYSIS** CLIN ORAL IMPLANTS RES, 2016 SEP;27(9):1106-22

BARONE A, MARCONCINI S, GIAMMARINARO E, MIJIRITSKY E. GELPI F. COVANI U

CLINICAL OUTCOMES OF IMPLANTS PLACED IN EXTRACTION SOCKETS AND IMMEDIATELY RESTORED: A 7-YEAR SINGLE-COHORT PROSPECTIVE STUDY CLIN IMPLANT DENT RELAT RES, 2016 DEC;18(6):1103-1112.

CAKIR M. KARACA IR. AYSEGÜL F. KAYMAZ F. BOZKAYA S **EXPERIMENTAL EVALUATION OF THE EFFECTS OF** ANKAFERD BLOOD STOPPER AND COLLAGENATED HETEROLOGOUS BONE GRAFT ON BONE HEALING IN SINUS FLOOR AUGMENTATION

CLIN ORAL IMPLANTS RES, 2015 MAR-APR;30(2):279-85

LOPEZ MA, ANDREASI BASSI M, CONFALONE L, CARINCI F REGENERATION OF ATROPHIC CRESTAL RIDGES WITH RESORBABLE LAMINA: TECHNICAL NOTE

J BIOL REGUL HOMEOST AGENTS 2015 JUL-SEP;29(3 SUPPL 1):97-100

ETTORRE V. DE MARCO P. ZARA S. PERROTTI V. SCARANO A. DI CRESCENZO A, PETRINI M, HADAD C, BOSCO D, ZAVAN B, VALBONETTI L, SPOTO G, IEZZI G, PIATTELLI A, CATALDI A, FONTANA A

IN VITRO AND IN VIVO CHARACTERIZATION OF GRAPHENE OXIDE COATED PORCINE BONE GRANULES CARBON, JULY 2016, VOLUME 103, PAGES 291-298

ROSSI R, RANCITELLI D, POLI PP, RASIA DAL POLO M, NANNMARK U, MAIORANA C

THE USE OF A COLLAGENATED PORCINE CORTICAL LAMINA IN THE RECONSTRUCTION OF ALVEOLAR RIDGE DEFECTS. A CLINICAL AND HISTOLOGICAL STUDY MINERVA STOMATOL, 2016 OCT;65(5):257-68

SCARANO A, LORUSSO F, RAVERA L, MORTELLARO C, PIATTELLI A

BONE REGENERATION IN ILIAC CRESTAL DEFECTS: AN **EXPERIMENTAL STUDY ON SHEEP**

BIOMED RES INT, 2016;2016:4086870

FELICE P, ZUCCHELLI G, CANNIZZARO G, BARAUSSE C, DIAZZI M. TRULLENQUE-ERIKSSON A. ESPOSITO M IMMEDIATE, IMMEDIATE-DELAYED (6 WEEKS) AND **DELAYED (4 MONTHS) POST-EXTRACTIVE SINGLE** IMPLANTS: 4-MONTH POST-LOADING DATA FROM A RANDOMISED CONTROLLED TRIAL

EUR J ORAL IMPLANTOL, 2016;9(3):233-247

ROMBOUTS C, JEANNEAU C, CAMILLERI J, LAURENT P, ABOUT I CHARACTERIZATION AND ANGIOGENIC POTENTIAL OF XENOGENEIC BONE GRAFTING MATERIALS: ROLE OF PERIODONTAL LIGAMENT CELLS

DENT MATER J, 2016 DEC 1;35(6):900-907

BARONE A, TOTI P, MARCONCINI S, DERCHI G, MARCHIONNI S, COVANI U

ESTHETIC OUTCOME OF IMPLANTS PLACED IN FRESH **EXTRACTION SOCKETS BY CLINICIANS WITH OR** WITHOUT EXPERIENCE: A MEDIUM-TERM RETROSPECTIVE EVALUATION

INT J ORAL MAXILLOFAC IMPLANTS, 2016;31(6)

TALLARICO M, XHANARI E, PISANO M, DE RIU G, TULLIO A,

SINGLE POST-EXTRACTIVE ULTRA-WIDE 7 MM-DIAMETER IMPLANTS VERSUS IMPLANTS PLACED IN MOLAR **HEALED SITES AFTER SOCKET PRESERVATION FOR** MOLAR REPLACEMENT: 6-MONTH POST-LOADING RESULTS FROM A RANDOMISED CONTROLLED TRIAL EUR J ORAL IMPLANTOL, 2016;9(3):263-275

LOPEZ MA, MANZULLI N, CASALE M, ORMIANER Z, CARINCI F

THE USE OF RESORBABLE HETEROLOGOUS CORTICAL LAMINA AS A NEW SINUS LIFT FLOOR: A TECHNICAL

J BIOL REGUL HOMEOST AGENTS, 2016 APR-JUN;30(2 SUPPL 1):75-79

LOPEZ MA, ANDREASI BASSI M, CONFALONE L, CARINCI F, ORMIANER Z. LAURITANO D

THE USE OF RESORBABLE CORTICAL LAMINA AND MICRONIZED COLLAGENATED BONE IN THE **REGENERATION OF ATROPHIC CRESTAL RIDGES: A** SURGICAL TECHNIQUE. CASE SERIES

J BIOL REGUL HOMEOST AGENTS, 2016 APR-JUN;30(2 SUPPL 1):81-85

ESPOSITO M, ZUCCHELLI G, BARAUSSE C, PISTILLI R, TRULLENQUE-ERIKSSON A, FELICE P

FOUR MM-LONG VERSUS LONGER IMPLANTS IN **AUGMENTED BONE IN POSTERIOR ATROPHIC JAWS:** 4-MONTH POST-LOADING RESULTS FROM A RANDOMISED CONTROLLED TRIAL

EUR J ORAL IMPLANTOL, 2016;9(4):393-409

BARONE A, TOTI P, QUARANTA A, ALFONSI F, CUCCHI A, NEGRI B. DI FELICE R. MARCHIONNI S. CALVO GUIRADO JL. COVANI U. NANNMARK U

CLINICAL AND HISTOLOGICAL CHANGES AFTER RIDGE PRESERVATION WITH TWO XENOGRAFTS: PRELIMINARY **RESULTS FROM A MULTICENTER RANDOMIZED** CONTROLLED CLINICAL TRIAL

J CLIN PERIODONTOL, 2017 FEB;44(2):204-214

ALFONSI F. BORGIA V. IEZZI G. PIATTELLI A. COVANI U. TONELLI P. BARONE A

MOLECULAR, CELLULAR AND PHARMACEUTICAL ASPECTS OF FILLING BIOMATERIALS DURING THE MANAGEMENT OF EXTRACTION SOCKETS CURR PHARM BIOTECHNOL, 2017;18(1):64-75

BARONE A, TOTI P, MENCHINI FABRIS GB, MARCHIONNI S, COVANI U **EARLY VOLUMETRIC CHANGES AFTER VERTICAL AUGMENTATION OF THE ATROPHIC POSTERIOR** MANDIBLE WITH INTERPOSITIONAL BLOCK GRAFT **VERSUS ONLAY BONE GRAFT: A RETROSPECTIVE** RADIOLOGICAL STUDY

J CRANIO-MAXILLOFAC, 2017 SEP;45(9):1438-1447

BARONE A, TOTI P, FUNEL N, CAMPANI D, COVANI U EXPRESSION OF SP7, RUNX1, DLX5, AND CTNNB1 IN **HUMAN MESENCHYMAL STEM CELLS CULTURED ON** XENOGENEIC BONE SUBSTITUTE AS COMPARED WITH MACHINED TITANIUM

IMPLANT DENT, 2014 AUG;23(4):407-15

ESPOSITO M. ZUCCHELLI G. CANNIZZARO G. CHECCHI L. BARAUSSE C. TRULLENQUE-ERIKSSON, FELICE P IMMEDIATE, IMMEDIATE-DELAYED (6 WEEKS) AND DELAYED (4 MONTHS) POST-EXTRACTIVE SINGLE IMPLANTS: 1-YEAR POST-LOADING DATA FROM A RANDOMISED CONTROLLED TRIAL

EUR J ORAL IMPLANTOL, 2017:10(1):11-26

SCARANO A. CRINCOLI V. DI BENEDETTO A. COZZOLINO V. LORUSSO F, PODALIRI VULPIANI M, GRANO M, KALEMAJ Z, MORI G. GRASSI FR

BONE REGENERATION INDUCED BY BONE PORCINE **BLOCK WITH BONE MARROW STROMAL STEM CELLS IN** A MINIPIG MODEL OF MANDIBULAR "CRITICAL SIZE" DEFECT STEM CELLS INT, 2017;2017:9082869

SCARANO A

TRADITIONAL POSTEXTRACTIVE IMPLANT SITE PREPARATION COMPARED WITH PRE-EXTRACTIVE INTERRADICULAR IMPLANT BED PREPARATION IN THE MANDIBULAR MOLAR REGION, USING AN ULTRASONIC **DEVICE: A RANDOMAZED PILOT STUDY** INT J ORAL MAXILLOFAC IMPLANTS, 2017 MAY/JUN;32(3):655-660

BARONE A, TOTI P, MENCHINI-FABRIS GB, DERCHI G,

MARCONCINI S. COVANI U

EXTRA ORAL DIGITAL SCANNING AND IMAGING SUPERIMPOSITION FOR VOLUME ANALYSIS OF BONE REMODELING AFTER TOOTH EXTRACTION WITH AND WITHOUT 2 TYPES OF PARTICULATE PORCINE MINERAL **INSERTION: A RANDOMIZED CONTROLLED TRIAL** CLIN IMPLANT DENT RELAT RES, 2017 AUG;19(4):750-759

GIULIANI A, IEZZI G, MAZZONI S, PIATTELLI A, PERROTTI V,

BARONE A REGENERATIVE PROPERTIES OF COLLAGENATED PORCINE

BONE GRAFTS IN HUMAN MAXILLA: DEMONSTRATIVE STUDY OF THE KINETICS BY SYNCHROTRON RADIATION MICROTOMOGRAPHY AND LIGHT MICROSCOPY

CLINICAL ORAL INVESTIGATIONS, 2018 JAN;22(1):505-513

IEZZI G, PIATTELLI A, GIULIANI A, MANGANO C, BARONE A, MANZON L, DEGIDI M, SCARANO A, FILIPPONE A, PERROTTI V MOLECULAR, CELLULAR AND PHARMACEUTICAL

ASPECTS OF FILLING BIOMATERIALS DURING MAXILLARY SINUS-LIFT PROCEDURES. PART 2: DETAILED CHARACTERISTICS OF THE MATERIALS

CURR PHARM BIOTECHNOL, 2017, 18, 33-44

FELICE P, BARAUSSE C, BARONE A, ZUCCHELLI G, PIATTELLI M. PISTILLI R. IPPOLITO DR. SIMION M

INTERPOSITIONAL AUGMENTATION TECHNIQUE IN THE TREATMENT OF POSTERIOR MANDIBULAR ATROPHIES: A **RETROSPECTIVE STUDY COMPARING 129 AUTOGENOUS** AND HETEROLOGOUS BONE BLOCKS WITH 2 TO 7 YEARS FOLLOW-UP

INT J PERIODONTICS RESTORATIVE DENT, 2017 JUL/AUG;37(4):469-480

IIDA T, CARNEIRO MARTINS NETO E, BOTTICELLI D, APAZA ALCCAYHUAMAN KA, LANG NP, XAVIER SP INFLUENCE OF A COLLAGEN MEMBRANE POSITIONED

SUBJACENT THE SINUS MUCOSA FOLLOWING THE **ELEVATION OF THE MAXILLARY SINUS. A** HISTOMORPHOMETRIC STUDY IN RABBITS CLIN IMPLANT DENT RELAT RES. 2017 JUN 7

DE MARCO P, ZARA S, DE COLLI M, RADUNOVIC M, LAZOVIC V, ETTORRE V, DI CRESCENZO A, PIATTELLI A, CATALDI A, FONTANA A

GRAPHENE OXIDE IMPROVES THE BIOCOMPATIBILITY OF COLLAGEN MEMBRANES IN AN IN VITRO MODEL OF **HUMAN PRIMARY GINGIVAL FIBROBLASTS** BIOMED MATER, 2017 SEP 13:12(5):055005

MIJIRITSKY E, FERRONI L, GARDIN C, BRESSAN E, ZANETTE G. PIATTELLI A. ZAVAN B

PORCINE BONE SCAFFOLDS ADSORB GROWTH **FACTORS SECRETED BY MSCS AND IMPROVE BONE** TISSUE REPAIR

MATERIALS, 2017 SEP 8;10(9)

ROSSI R, FOCE E, SCOLAVINO S

THE CORTICAL LAMINA TECHNIQUE: A NEW OPTION FOR ALVEOLAR RIDGE AUGMENTATION. PROCEDURE, PROTOCOL, AND CASE REPORT

J LEBANESE DENTAL ASS, 2017 JAN-JUN; 52(1):35-41

CHECCHI V. FELICE P. ZUCCHELLI G. BARAUSSE C. PIATTELLI M, PISTILLI R, GRANDI G, ESPOSITO M WIDE DIAMETER IMMEDIATE POST-EXTRACTIVE IMPLANTS VS DELAYED PLACEMENT OF NORMAL-DIAMETER IMPLANTS IN PRESERVED SOCKETS IN THE MOLAR REGION: 1-YEAR POST-LOADING **OUTCOME OF A RANDOMISED CONTROLLED TRIAL**

CRESPI R. CAPPARÈ P. GHERLONE E

EUR J ORAL IMPLANTOL, 2017;10(3):263-278

COMPARISON OF MAGNESIUM-ENRICHED HYDROXYAPATITE AND PORCINE BONE IN HUMAN **EXTRACTION SOCKET HEALING: A HISTOLOGIC AND** HISTOMORPHOMETRIC EVALUATION INT J ORAL MAXILLOFAC IMPLANTS, 2011

SEP-OCT;26(5):1057-62

CORBELLA S, TASCHIERI S, FRANCETTI L, WEINSTEIN R, DEL FABBRO M

HISTOMORPHOMETRIC RESULTS AFTER POSTEXTRACTION SOCKET HEALING WITH DIFFERENT **BIOMATERIALS: A SYSTEMATIC REVIEW OF THE** LITERATURE AND META-ANALYSIS

INT J ORAL MAXILLOFAC IMPLANTS, 2017 SEP/OCT;32(5):1001-1017

RADUNOVIC M. DE COLLI M. DE MARCO P. DI NISIO C. FONTANA A, PIATTELLI A, CATALDI A, ZARA S GRAPHENE OXIDE ENRICHMENT OF COLLAGEN MEMBRANES IMPROVES DPSCS DIFFERENTIATION AND CONTROLS INFLAMMATION OCCURRENCE J BIOMED MATER RES A. 2017 AUG:105(8):2312-2320

Letteratura scientifica pubblicazioni internazionali

KILINC A. ATAOL M

HOW EFFECTIVE IS COLLAGEN RESORBABLE MEMBRANE PLACEMENT AFTER PARTIALLY IMPACTED MANDIBULAR THIRD MOLAR SURGERY ON POSTOPERATIVE MORBIDITY? A PROSPECTIVE RANDOMIZED COMPARATIVE STUDY BMC ORAL HEALTH, 2017 OCT 5;17(1):126

TROIANO G, ZHURAKIVSKA K, LO MUZIO L, LAINO L, CICCIÙ M, LO RUSSO L

COMBINATION OF BONE GRAFT AND RESORBABLE MEMBRANE FOR ALVEOLAR RIDGE PRESERVATION: A SYSTEMATIC REVIEW, META-ANALYSIS AND TRIAL **SEQUENTIAL ANALYSIS**

J PERIODONTOL, 2017 SEP 12:1-17. EPUB AHEAD OF PRINT

ROSSI R, LONGO E, MIJIRITSKY E

A NEW INTERPRETATION OF GUIDED IMPLANT SURGERY TO ACHIEVE AN OPTIMAL RESULT IN THE ESTHETIC ZONES MEDICAL RESEARCH ARCHIVES, 2017 APRIL, VOL. 5, ISSUE 4

BOLLE C. FELICE P. BARAUSSE C. PISTILLI V. TRULLENQUE-ERIKSSON A. ESPOSITO M

FOUR MM-LONG VERSUS LONGER IMPLANTS IN AUGMENTED BONE IN POSTERIOR ATROPHIC JAWS: 1-YEAR POST-LOADING RESULTS FROM A MULTICENTRE RANDOMISED CONTROLLED TRIAL

EUR J ORAL IMPLANTOL, 2018;11(1):31-47

ESPOSITO M. DAVÒ R. MARTI PAGES C. FERRER FUENTES A. BARAUSSE C. PISTILLI R. IPPOLITO DR. FELICE P

IMMEDIATELY LOADED ZYGOMATIC IMPLANTS VS CONVENTIONAL DENTAL IMPLANTS IN AUGMENTED ATROPHIC MAXILLAE: 4 MONTHS POST-LOADING RESULTS FROM A MULTICENTRE RANDOMISED CONTROLLED TRIAL EUR J ORAL IMPLANTOL, 2018;11(1):11-28

GASTALDI G, FELICE P, PSTILLI V, BARAUSSE C, IPPOLITO DR,

POSTERIOR ATROPHIC JAWS REHABILITATED WITH PROSTHESES SUPPORTED BY 5 × 5 MM IMPLANTS WITH A NANOSTRUCTURED CALCIUM-INCORPORATED TITANIUM SURFACE OR BY LONGER IMPLANTS IN AUGMENTED BONE. 3-YEAR RESULTS FROM A RANDOMISED CONTROLLED TRIAL EUR J ORAL IMPLANTOL, 2018;11(1):49-61

DIOMEDE F, D'AURORA M, GUGLIANDOLO A, MERCIARO I, ORSINI T. GATTA V. PIATTELLI A. TRUBIANI O. MAZZON E **BIOFUNCTIONALIZED SCAFFOLD IN BONE TISSUE REPAIR** INT J OF MOLECULAR SCIENCES, 2018, 19, 1022

SCARANO A, LORUSSO F, SANTOS DE OLIVEIRA P, MURMURA G, CARINCI F

DENTAL IMPLANTS DISPLACED INTO THE MANDIBULAR CORPUS: CLINICAL NOTE

JOURNAL OF DENTISTRY AND ORAL CARE, 2018, 4(1):8-12

FORABOSCO A. GHENO E. SPINATO S. GARUTI G. FORABOSCO E. CONSOLO U

CONCENTRATED GROWTH FACTORS IN MAXILLARY SINUS FLOOR AUGMENTATION: A PRELIMINARY CLINICAL COMPARATIVE EVALUATION

INT J OF GROWTH FACTORS AND STEM CELLS IN DENTISTRY, 2018;1:2-7

PISTILLI R, FELICE P, CANNIZZARO G, PIATTELLI M, CORVINO V, BARAUSSE C, BUTI J, SOARDI E, ESPOSITO M

POSTERIOR ATROPHIC JAWS REHABILITATED WITH PROSTHESES SUPPORTED BY 6 MM LONG, 4 MM WIDE IMPLANTS OR BY LONGER IMPLANTS IN AUGMENTED BONE. ONE-YEAR POST-LOADING RESULTS FROM A PILOT RANDOMISED CONTROLLED TRIAL

EUR J ORAL IMPLANTOL, 2013;6(4):359-372

FELICE P. BARAUSSE C. PISTILLI V. PIATTELLI M. IPPOLITO DR. ESPOSITO M

POSTERIOR ATROPHIC JAWS REHABILITATED WITH PROSTHESES SUPPORTED BY 6 MM LONG X 4 MM WIDE IMPLANTS OR BY LONGER IMPLANTS IN AUGMENTED **BONE. 3-YEAR POST-LOADING RESULTS FROM A PILOT** RANDOMISED CONTROLLED TRIAL

EUR J ORAL IMPLANTOL, 2018;11(2):175-187

DAVÓ R, FELICE P, PISTILLI R, BARAUSSE C, MARTI PAGES C, FERRER FUERTES A, IPPOLITO DR, ESPOSITO M

IMMEDIATELY LOADED ZYGOMATIC IMPLANTS VS CONVENTIONAL DENTAL IMPLANTS IN AUGMENTED ATROPHIC MAXILLAE: 1-YEAR POST-LOADING RESULTS FROM A MULTICENTRE RANDOMISED CONTROLLED

EUR J ORAL IMPLANTOL, 2018;11(1):145-161

OMORI Y, SILVA ER, BOTTICELLI D, APAZA ALCCAYHUAMAN KA, LANG NP, XAVIER SP

REPOSITION OF THE BONE PLATE OVER THE ANTROSTOMY IN MAXILLARY SINUS AUGMENTATION: A HISTOMORPHOMETRIC STUDY IN RABBITS

CLIN ORAL IMPLANTS RES, 2018 AUG;29(8):821-834

CANULLO L, GENOVA T, NAENNIC N, NAKAJIMA Y, MASUDA K, MUSSANO F

PLASMA OF ARGON ENHANCES THE ADHESION OF MURINE OSTEOBLASTS ON DIFFERENT GRAFT **MATERIALS**

ANN ANAT, 2018 JUL;218:265-270

RAMÍREZ FERNANDEZ MP, MAZÓN P, GEHRKE SA, CALVO GUIRADO JL, DE AZA PN

COMPARISON OF TWO XENOGRAFT MATERIALS USED IN SINUS LIFT PROCEDURES: MATERIAL CHARACTERIZATION AND IN VIVO BEHAVIOR MATERIALS, 2017 JUN 7;10(6)

DIOMEDE F. ZINI N. GATTA V. FULLE S. MERCIARO I. D'AURORA M, LA ROVERE RML, TRAINI T, PIZZICANNELLA J, BALLERINI P. PIATTELLI A. TRUBIANI O

HUMAN PERIODONTAL LIGAMENT STEM CELLS CULTURED ONTO CORTICO-CANCELLOUS SCAFFOLD DRIVE BONE REGENERATIVE PROCESS

EUR CELL MATER, 2016 SEP 16;32:181-201

DEVELIOGLU H, OZCAN G, GULTEKIN SE, SENGUVEN B,

THE SHORT-TERM EFFECTS OF VARIOUS XENOGRAFTS ON BONE HEALING IN RATS CRANIAL DEFECTS

BIOMEDICAL RESEARCH, 2018;29(8); 1598-1602

BRUNELLI G, CARINCI F, GIRARDI A, PALMIERI A, CACCIANIGA GL, SOLLAZZO V

OSTEOBIOL® EFFECT ON DENTAL PULP DERIVED STEM

EUR J INFLAMMATION, VOL. 10, NO. 1 (S), 27-30

MAZZONI S. MOHAMMADI S. TROMBA G. DIOMEDE F. PIATTELLI A, TRUBIANI O, GIULIANI A

ROLE OF CORTICO-CANCELLOUS HETEROLOGOUS BONE IN HUMAN PERIODONTAL LIGAMENT STEM CELLS XENO-FREE CULTURE STUDIED BY SYNCHROTRON RADIATION PHASE-CONTRAST MICROTOMOGRAPHY INT J MOL SCI. 2017:18:364

LAURITANO D, CARINCI F, ZOLLINO I, HASSANIPOUR A, SAGGESE V. PALMIERI A. GIRARDI A. CURA F. PIRAS A. ZAMBONI P. BRUNELLI G

OSTEOBIOL® ENHANCES OSTEOGENIC DIFFERENTIATION IN BONE MARROW DERIVED STEM CELLS

EUR J INFLAMMATION, VOL. 10, NO. 1 (S3), 83-88

MATÉ SANCHEZ DE VAL J, MAZON P, PIATTELLI A, CALVO GUIRADO J, MAREQUE BUENO J, GRANERO MARIN J, DE AZA P

COMPARISON AMONG THE PHYSICAL PROPERTIES OF CALCIUM PHOSPHATE-BASED BONE SUBSTITUTES OF NATURAL OR SYNTHETIC ORIGIN

INT J APPLIED CERAMIC TECHNOL, 2018;15(4);930-937

NAKAJIMA Y, PIATTELLI A, IEZZI G, FORTICH MESA N, FERRI M, BOTTICELLI D

INFLUENCE OF THE PRESENCE OF ALVEOLAR MUCOSA AT IMPLANTS: A HISTOLOGICAL STUDY IN HUMANS IMPLANT DENT, 2018;27(2);193-201

CASCONE P, VELLONE V, RAMIERI V, BASILE E, TARSITANO A, MARCHETTI C

RECONSTRUCTION OF THE ADULT HEMIFACIAL MICROSOMIA PATIENT WITH TEMPOROMANDIBULAR JOINT TOTAL JOINT PROSTHESIS AND ORTHOGNATIC SURGERY

CASE REP SURG, 2018;1-6

AMR AEH, ABDEL GHAFFAR KA, ABUEL-ELA HA, ABD

XENOGENIC FLEXIBLE BONE LAMINA GRAFT: A SUCCESSFUL ALTERNATIVE TO THE AUTOGENOUS ONLAY BONE BLOCK GRAFT IN ALVEOLAR RIDGE AUGMENTATION: A CLINICAL, RADIOGRAPHIC AND HISTOLOGICAL EVALUATION

JOURNAL OF DENTAL TREATMENT AND ORAL CARE, 2017;1(1);104

ATTIA AM

CLINICAL AND RADIOGRAPHIC EVALUATION OF CORTICO-CANCELLOUS BONE MIX XENOGRAFT (OSTEOBIOL GEN-OS) IN THE TREATMENT OF HUMAN PERIODONTAL INTRABONY DEFECTS

EGYPTIAN DENTAL JOURNAL, 2017;63;1-10

BECHARA S, KUBILIUS R, VERONESI G, PIRES JT, SHIBLI JA, MANGANO FG

SHORT (6-MM) DENTAL IMPLANTS VERSUS SINUS FLOOR ELEVATION AND PLACEMENT OF LONGER (>10-MM) DENTAL IMPLANTS: A RANDOMIZED CONTROLLED TRIAL WITH A 3-YEAR FOLLOW-UP CLIN ORAL IMPLANTS RES, 2017;28;1097-1107

CHANDRASEKARAN B. SURESH N. MUTHUSAMY S. PLATELET-RICH FIBRIN WITH BONE GRAFTS FOR REGENERATION OF BONY DEFECT FOLLOWING **EXTRACTION OF SUPERNUMERARY TEETH: A CASE** REPORT

CHIN J DENT RES, 2017;20(4);231-234

CHIRILA L, ROTARU C, FILIPOV I, SANDULESCU M MANAGEMENT OF ACUTE MAXILLARY SINUSITIS AFTER SINUS BONE GRAFTING PROCEDURES WITH SIMULTANEOUS DENTAL IMPLANTS PLACEMENT -A RETROSPECTIVE STUDYBMC INFECT DIS, 2016 MAR 8;16 SUPPL 1:94

EKSTEIN J, TANDELICH M, NART J, CALVO GUIRADO JL, SHAPIRA L

MARGINAL BONE LEVEL AROUND CONICAL CONNECTION TAPERED IMPLANTS WITH PLATFORM SWITCHING: A MULTICENTER RETROSPECTIVE STUDY AT 14 MONTHS FOLLOW-UP

J OSSEOINTEGRATION, 2016 JAN-APR;8(1)

DEL CORSO M, DOHAN EHRENFEST DM

IMMEDIATE IMPLANTATION AND PERI-IMPLANT NATURAL BONE REGENERATION (NBR) IN THE SEVERELY RESORBED POSTERIOR MANDIBLE USING LEUKOCYTE- AND PLATELET-RICH FIBRIN (L-PRF): A 4-YEAR FOLLOW-UP POSEIDO, 2013;1(2);85-92

NOAMI SA, ELMOSY K, ASKAR N

EVALUATION OF PRE-HYDRATED COLLAGENATED CORTICO-CANCELLOUS GRANULES (MP3®) IN AUGMENTATION OF THE MAXILLARY SINUS (PRELIMINARY STUDY)

J OF DENT, ORAL DISORD AND THERAPY, 2014;2(3): 1-8

BARONE A, TOTI P, PIATTELLI A, IEZZI G, DERCHI G, COVANI U **EXTRACTION SOCKET HEALING IN HUMANS AFTER RIDGE** PRESERVATION TECHNIQUES: COMPARISON BETWEEN FLAPLESS AND FLAPPED PROCEDURES IN A RANDOMIZED **CLINICAL TRIAL**

J PERIODONTOL, 2014 JAN;85(1):14-23

LOPEZ MA, LICO S, CASALE M, ORMANIER Z, CARINCI F THE USE OF VARIOUS BIOMATERIALS IN COMPUTER-GUIDED CRESTAL SINUS LIFT PROCEDURES. A REPORT ON TWO CASE STUDIES WITH VOLUME **COMPARISON**

ORAL IMPLANTOL, 2016; APR-JUN 9(2)

MEHL C, BOSCH T

IMPLANTOLOGY AND PROTHODONTICS AT CROSSROADS - CLASSIC VS MODERN TREATMENT CONCEPTS JSM DENTAL SURGERY, 2016:1(1):1003

NEMTOI A, DANILA V, DRAGAN E, PASCA S, NEMTOI A, CONSTANTIN M, SAVA A, HABA D

THE EFFECTS OF INSULIN AND STRONTIUM RANELATE ON **GUIDED BONE REGENERATION IN DIABETIC RATS**

REVISTA DE CHIMIE, 2017;68(4);693-697

RAMIREZ FERNANDEZ MP. GEHRKE SA. ALBACETE MARTINEZ CP, CALVO GUIRADO JL, DE AZA PN

SEM-EDX STUDY OF THE DEGRADATION PROCESS OF TWO XENOGRAFT MATERIALS USED IN SINUS LIFT PROCEDURES MATERIALS, 2017;10;542

ZITA GOMES R, DE VASCONCELOS MR, LOPES GUERRA IM, DE ALMEIDA RAB, DE CAMPOS FELINO AC

IMPLANT STABILITY IN THE POSTERIOR MAXILLA: A CONTROLLED CLINICAL TRIAL BIOMED RES INT, 2017:6825213

COVANI U, CANULLO L, TOTI P, ALFONSI F, BARONE A TISSUE STABILITY OF IMPLANTS PLACED IN FRESH **EXTRACTION SOCKETS: A 5-YEAR PROSPECTIVE** SINGLE-COHORT STUDY

J PERIODONTOL, 2014 SEP;85(9):E323-32

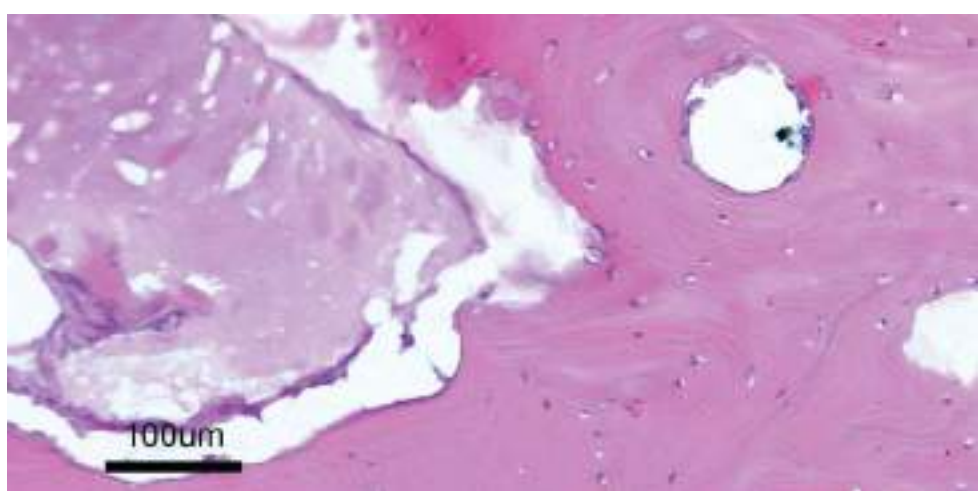
DIOMEDE F. D'AURORA M. GUGLIANDOLO A. MERCIARO I. ETTORRE V, BRAMANTI A, PIATTELLI A, GATTA V, MAZZON E, FONTANA A, TRUBIANI O

A NOVEL ROLE IN SKELETAL SEGMENT REGENERATION OF EXTRACELLULAR VESICLES RELEASED FROM PERIODONTAL-LIGAMENT STEM CELLS INT J NANOMEDICINE, 2018 JUN 29:13:3805-3825









Istologia di un granulo OsteoBiol® mp3® parzialmente riassorbito e in contatto con osso neoformato. Htx-eosine Autore: Prof Ulf Nannmark, University of Götebora, Svezia

KAWAKAMI S, LANG NP, IIDA T, FERRI M, APAZA ALCCAYHUAMAN KA, BOTTICELLI D

INFLUENCE OF THE POSITION OF THE ANTROSTOMY IN SINUS FLOOR ELEVATION ASSESSED WITH CONE-BEAM COMPUTED TOMOGRAPHY: A RANDOMIZED CLINICAL TRIAL

JOURNAL INVESTIG CLIN DENT, 2018 NOV;9(4):E12362

SCARANO A, DE OLIVEIRA PS, TRAINI T, LORUSSO F SINUS MEMBRANE ELEVATION WITH HETEROLOGOUS CORTICAL LAMINA: A RANDOMIZED STUDY OF A NEW SURGICAL TECHNIQUE FOR MAXILLARY SINUS FLOOR AUGMENTATION WITHOUT BONE GRAFT MATERIALS, 2018 AUG 17:11(8)

FIGLIUZZI MM. GIUDICE A. CRISTOFARO MG. PACIFICO D. BIAMONTE P, FORTUNATO L

POSTEXTRACTIVE IMPLANTS IN AESTHETIC AREAS: **EVALUATION OF PERIMPLANT BONE REMODELING** OVER TIME

ANN STOMATOL, 2015 MAY 18;6(1):29-34

KIVOVICS M, SZABÓ BT, NÉMETH O, TARI N, DORI F, NAGY P, DOBÓ-NAGY C, SZABÓ G

MICROARCHITECTURAL STUDY OF THE AUGMENTED **BONE FOLLOWING RIDGE PRESERVATION WITH A** PORCINE XENOGRAFT AND A COLLAGEN MEMBRANE: PRELIMINARY REPORT OF A PROSPECTIVE CLINICAL. HISTOLOGICAL, AND MICRO-COMPUTED **TOMOGRAPHY ANALYSIS**

INT J ORAL MAXILLOFAC SURG, 2017 FEB:46(2):250-260

MARCONCINI S, GIAMMARINARO E, DERCHI G, ALFONSI F, COVANI U. BARONE A

CLINICAL OUTCOMES OF IMPLANTS PLACED IN RIDGE-PRESERVED VERSUS NONPRESERVED SITES: A 4-YEAR RANDOMIZED CLINICAL TRIAL

CLIN IMPL DENT RELAT RES, 2018 DEC;20(6):906-914

MARCONCINI S, COVANI U, GIAMMARINARO E, VELASCO-ORTEGA E. DE SANTIS D. ALFONSI F. BARONE A CLINICAL SUCCESS OF DENTAL IMPLANTS PLACED IN POSTERIOR MANDIBLE AUGMENTED WITH **INTERPOSITIONAL BLOCK GRAFT: 3-YEAR RESULTS** FROM A PROSPECTIVE COHORT CLINICAL STUDY J ORAL MAXILLOFAC SURG. 2019 FEB;77(2):289-298

IIDA T. RICARDO SILVA E. LANG NP. APAZA ALCCAYHUAMAN KA, DANIELE BOTTICELLI D, XAVIER SP

HISTOLOGICAL AND MICRO-COMPUTED TOMOGRAPHY **EVALUATIONS OF NEWLY FORMED BONE AFTER** MAXILLARY SINUS AUGMENTATION USING A XENOGRAFT WITH SIMILAR DENSITY AND MINERAL CONTENT OF BONE: AN EXPERIMENTAL STUDY IN **RABBITS**

CLIN EXP DENT RES, 2018;1-7

BERNARDI S. GATTO R. SEVERINO M. BOTTICELLI G. CARUSO S. RASTELLI C, LUPI E, ROIAS AQ, IACOMINO E, FALISI G SHORT VERSUS LONGER IMPLANTS IN MANDIBULAR ALVEOLAR RIDGE AUGMENTED USING OSTEOGENIC DISTRACTION: ONE-YEAR FOLLOW-UP OF A **RANDOMIZED SPLIT-MOUTH TRIAL**

J ORAL IMPLANTOL, 2018 JUN;44(3):184-191

DIKER N, SARICA H, CUMBUL A, KILIC E **EFFECTS OF SYSTEMIC ERYTHROPOIETIN TREATMENT** AND HETEROGENEOUS XENOGRAFT IN COMBINATION ON BONE REGENERATION OF A CRITICAL-SIZE DEFECT IN AN EXPERIMENTAL MODEL

J CRANIOMAXILLOFAC SURG, 2018 NOV;46(11):1919-1923

SCARANO A. MURMURA G. MASTRANGELO F. LORUSSO F. GRECO LUCCHINA A, CARINCI F

A NOVEL TECHNIQUE TO PREVENT SINUS MEMBRANE COLLAPSE DURING MAXILLARY SINUS FLOOR AUGMENTATION WITHOUT BONE GRAFT: TECHNICAL NOTE

J BIOL REGUL HOMEOST AGENTS, 2018 NOV-DEC;32(6):1589-1592

SENESE O, BOUTREMANS E, GOSSIAUX C, LOEB I, DEQUANTER D **RETROSPECTIVE ANALYSIS OF 79 PATIENTS WITH** ORBITAL FLOOR FRACTURE: OUTCOMES AND PATIENT-REPORTED SATISFACTION

ARCH CRANIOFAC SURG, 2018 JUN;19(2):108-113

GENOVA T, PESCE P, MUSSANO F, TANAKA K, CANULLO L THE INFLUENCE OF BONE-GRAFT **BIO-FUNCTIONALIZATION WITH PLASMA OF ARGON** ON BACTERIAL CONTAMINATION

J BIOMED MATER RES A, 2019 JAN;107(1):67-70

ESPOSITO M, BARAUSSE C, PISTILLI R, PIATTELLI M, DI SIMONE S, IPPOLITO DR, FELICE P POSTERIOR ATROPHIC JAWS REHABILITATED WITH

PROSTHESES SUPPORTED BY 5 X 5 MM IMPLANTS WITH A NOVEL NANOSTRUCTURED

CALCIUM-INCORPORATED TITANIUM SURFACE OR BY LONGER IMPLANTS IN AUGMENTED BONE. FIVE-YEAR RESULTS FROM A RANDOMISED CONTROLLED TRIAL INT J OF ORAL IMPLANTOL, 2019;12(1):39-54

FELICE P, PISTILLI R, BARAUSSE C, PIATTELLI M, BUTI J, ESPOSITO M

POSTERIOR ATROPHIC JAWS REHABILITATED WITH PROSTHESES SUPPORTED BY 6 MM LONG X 4 MM WIDE IMPLANTS OR BY LONGER IMPLANTS IN AUGMENTED BONE, FIVE-YEAR POST-LOADING RESULTS FROM A WITHIN-PERSON RANDOMISED CONTROLLED TRIAL INT J OF ORAL IMPLANTOL, 2019;12(1):57-72

DI CARLO R, ZARA S, VENTRELLA A, SIANI G, DA ROS T, IEZZI G, CATALDI A, FONTANA A

COVALENT DECORATION OF CORTICAL MEMBRANES WITH GRAPHENE OXIDE AS A SUBSTRATE FOR DENTAL **PULP STEM CELLS**

NANOMATERIALS, 2019;9:604

CABALLÉ-SERRANO J, MUNAR-FRAUA A, DELGADO L, PÉREZ R, HERNÁNDEZ-ALFARO F

PHYSICOCHEMICAL CHARACTERIZATION OF BARRIER MEMBRANES FOR BONE REGENERATION J MECH BEHAV BIOMED, 2019;97:13-20

MATOH U, PETELIN M, GASPERISC R

SPLIT-MOUTH COMPARISON OF CORONALLY ADVANCED FLAP WITH CONNECTIVE TISSUE GRAFT OR **COLLAGEN MATRIX FOR TREATMENT OF ISOLATED GINGIVAL RECESSIONS**

INT J PERIODONTICS RESTORATIVE DENT, 2019;39(3):439-446

AMBROZEWICZ E, MUSZYNSKA M, TOKAJUK G, GRYNKIEWICZ G, ŽARKOVIC N, SKRZYDLEWSKA BENEFICIAL EFFECTS OF VITAMINS K AND D3 ON REDOX BALANCE OF HUMAN OSTEOBLASTS CULTURED WITH HYDROXYAPATITE-BASED BIOMATERIALS CELLS, 2019;8:325

POLIS-YANES C. CADENAS-SEBASTIÁN C. GUAL-VAQUÉS P. AYUSO-MONTERO R. MARÍ-ROIG A. LÓPEZ-LÓPEZ J **GUIDED BONE REGENERATION OF AN ATROPHIC** MAXILLA USING HETEROLOGOUS CORTICAL LAMINA CASE REP DENT., 2019: 5216362

KAWAKAMI S. LANG NP. FERRI M. APAZA ALCCAYHUAMAN KA. BOTTICELLI D

INFLUENCE OF THE HEIGHT OF THE ANTROSTOMY IN SINUS FLOOR ELEVATION ASSESSED BY CONE BEAM COMPUTED TOMOGRAPHY- A RANDOMIZED CLINICAL TRIAL

INT J ORAL MAXILLOFAC IMPLANTS, 2019;34(1):223-232

CHECCHI V, GASPARRO R, PISTILLI R, CANULLO L, FELICE P CLINICAL CLASSIFICATION OF BONE AUGMENTATION PROCEDURE FAILURES IN THE ATROPHIC ANTERIOR MAXILLAE: ESTHETIC CONSEQUENCES AND TREATMENT

BIOMED RES INT., 2019:4386709

FISCHER K. R. TESTORI T. WACHTEL H. MÜHLEMANN S. HAPPE A. DEL FABBRO M

SOFT TISSUE AUGMENTATION APPLYING A COLLAGENATED PORCINE DERMAL MATRIX DURING SECOND STAGE SURGERY: A PROSPECTIVE **MULTICENTER CASE SERIES**

CLIN IMPLANT DENT RELAT RES., 2019;1-8

HIROTA A, LANG NP, FERRI M, FORTICH MESA N, APAZA ALCCAYHUAMAN KA, BOTTICELLI D

TOMOGRAPHIC EVALUATION OF THE INFLUENCE OF THE PLACEMENT OF A COLLAGEN MEMBRANE SUBJACENT TO THE SINUS MUCOSA DURING MAXILLARY SINUS FLOOR AUGMENTATION: A RANDOMIZED CLINICAL TRIAL

INT J IMPLANT DENT., 2019; 5(1):31

TANAKA K, IEZZI G, PIATTELLI A, FERRI M, MESA NF, APAZA ALCCAYHUAMAN KA, BOTTICELLI D

SINUS FLOOR ELEVATION AND ANTROSTOMY HEALING: A HISTOMORPHOMETRIC CLINICAL STUDY IN **HUMANS**

IMPLANT DENT., 2019; AUG 14

JEANNEAU C. LE FOURNIS C. ABOUT I

XENOGENEIC BONE FILLING MATERIALS MODULATE MESENCHYMAL STEM CELL RECRUITMENT: ROLE OF THE **COMPLEMENT C5A**

CLIN. ORAL INVESTIG.; 2019 OCT 23

RAMANAUSKAITE A. BORGES T. ALMEIDA BL. CORREIA A **DENTAL IMPLANT OUTCOMES IN GRAFTED SOCKETS: A** SYSTEMATIC REVIEW AND META-ANALYSIS

FARIA-ALMEIDA R. ASTRAMSKAITE-JANUSEVICIENE I. PUISYS A. CORREIA F

EXTRACTION SOCKET PRESERVATION WITH OR WITHOUT MEMBRANES, SOFT TISSUE INFLUENCE ON POST EXTRACTION ALVEOLAR RIDGE PRESERVATION: A SYSTEMATIC REVIEW

J ORAL MAXILLOFAC RES., 2019 SEP 5;10(3):E5

J ORAL MAXILLOFAC RES., 2019 SEP 5;10(3):E8

ADILOGLU S. GIRAY CB. KULAC I. USUBUTUN A. AKTAS A CLINICAL AND HISTOPATHOLOGICAL COMPARATIVE STUDY OF TWO EQUINE-DERIVED BONE GRAFT: A **HUMAN STUDY**

J PAK MED ASSOC., 2019; 69: 1617

ROSSI R. FOCE E

RECONSTRUCTION OF A HORIZONTAL AND VERTICAL BONE DEFECT USING THE CORTICAL LAMINA TECHNIQUE

MED. RES. ARCH, 2019; VOL 7 (11)

CANULLO L. GENOVA T. RAKIC M. SCULEAN A. MIRON R. MUZZI M. CAROSSA S. MUSSANO F

EFFECTS OF ARGON PLASMA TREATMENT ON THE OSTEOCONDUCTIVITY OF BONE GRAFTING MATERIALS CLIN ORAL INVESTIG, 2019 NOV 20

OsteoBiol® codici prodotto



PRODOTTO	CONFEZIONE	TIPOLOGIA	CONTENUTO	CODICE SUINO	CODICE EQUINO
SOSTITUTI OSSEI					
Gen-Os®	1 Flacone	GRANULI ESSICCATI	0.25 g	TGE25	
Gen-Os®	1 Flacone	GRANULI ESSICCATI	0.5 g	TGE05	
Gen-Os®	1 Flacone	GRANULI ESSICCATI	1.0 g	TGE10	
Gen-Os®	1 Flacone	GRANULI ESSICCATI	2.0 g	TGE20	
Gen-Os® 1000-2000	1 Flacone	GRANULI ESSICCATI	2.0 g	TGED20	
TSV Gel	1 Siringa	GEL	0.5 cc	TTS05	
				in kit con TGE05	
TSV Gel	1 Siringa	GEL	1.0 cc	TTS10	
				in kit con TGE10	
mp3®	3 Siringhe	MIX CORTICO-SPONGIOSO	3x0.25 cc (0.75 cc)	TMP25T	
mp3®	3 Siringhe	MIX CORTICO-SPONGIOSO	3x0.5 cc (1.5 cc)	TMP05T	
mp3®	3 Siringhe	MIX CORTICO-SPONGIOSO	3х1.0 сс (3.0 сс)	TMP10T	
GTO [®]	1 Siringa	MIX CORTICO-SPONGIOSO+TSV Gel	0.5 сс	TGT05	
GTO®	1 Siringa	MIX CORTICO-SPONGIOSO+TSV Gel	2.0 сс	TGT20	
Putty	1 Siringa	PASTA D'OSSO	0.5 сс	TPU05	
Putty	3 Siringhe	PASTA D'OSSO	3х0.25 сс (0.75 сс)	TPU25T	
Putty	3 Siringhe	PASTA D'OSSO	3x0.5 cc (1.5 cc)	TPU05T	
Putty	1 Siringa (wide tip)	PASTA D'OSSO	1.0 сс	TPU10	
Gel 40	1 Siringa	GEL D'OSSO	0.5 сс	TG405	
Gel 40	3 Siringhe	GEL D'OSSO	3x0.5 cc (1.5 cc)	TG405T	
Apatos Mix	1 Flacone	GRANULI ESSICCATI	0.5 g	TAP05	
Apatos Mix	1 Flacone	GRANULI ESSICCATI	1.0 g	TAP10	
Apatos Mix	1 Flacone	GRANULI ESSICCATI	2.0 g	TAP20	
Apatos Cortical	1 Flacone	GRANULI ESSICCATI	0.5 g	TAPC05	
Apatos Cortical	1 Flacone	GRANULI ESSICCATI	1.0 g	TAPC10	
Apatos Mix 1000-2000) 1 Flacone	GRANULI ESSICCATI	1.0 g	TAPD10	
Apatos Spongiosa	1 Flacone	GRANULI ESSICCATI	0.5 g	TAPS05	

OsteoBiol® codici prodotto

PRODOTTO	CONFEZION	E TIPOLOGIA	CONTENUTO	CODICE SUINO	CODICE EQUINO
BLOCCHI					
Sp-Block	1 Blister B	BLOCCO ESSICCATO / NORM	10x10x10 mm		TSB1010E
Sp-Block	1 Blister B	BLOCCO ESSICCATO / NORM	10x10x20 mm		TSB1020E
Sp-Block	1 Blister B	BLOCCO ESSICCATO / NORM	10x20x20 mm		TSB2020E
Sp-Block	1 Blister B	BLOCCO ESSICCATO / NORM	35x10x5 mm		TSB3505E
Dual-Block CURVED	1 Blister I	BLOCCO ESSICCATO / SOFT	20x15x5 mm	TDBS	
Dual-Block CURVED	1 Blister B	BLOCCO ESSICCATO / NORM	20x10x5 mm	TDBN	
MEMBRANE E BARRIEF	RE				
Evolution	3 Blister	ESSICCATA / X-FINE	30x30x (0.2) mm	TEVX30T	
Evolution	1 Blister	ESSICCATA / FINE	20x20x (0.3) mm		TEVF20E
Evolution	1 Blister	ESSICCATA / FINE	30x30x (0.3) mm		TEVF30E
Evolution	1 Blister	ESSICCATA / STANDARD	20x20x (0.4) mm	TEVS20	
Evolution	1 Blister	ESSICCATA / STANDARD	30x30x (0.4) mm	TEVS30	
Derma	1 Blister	ESSICCATA	Ovale 12x8x (0.9) mm	TDEF128	
Derma	1 Blister	ESSICCATA	25x25x (0.9) mm	TDEF25	
Derma	1 Blister	ESSICCATA	7x5x (2.0) mm	TDES75	
Derma	1 Blister	ESSICCATA	15x5x (2.0) mm	TDES155	
Derma	1 Blister	ESSICCATA	30x30x (2.0) mm	TDES30	
Lamina Cortical Soft	1 Blister	ESSICCATA	25x25x (0.5) mm	TLMF25	
Lamina Cortical Soft	1 Blister	ESSICCATA	20x40x (1.0) mm	TLMM2040	
Lamina Curva	1 Blister	ESSICCATA	35x35x (1.0) mm	TLMCM35	
Lamina Cortical Soft	1 Blister	ESSICCATA	30x30x (3.0) mm	TLMS30	
Lamina Rigida	1 Blister	ESSICCATA	35x15x (0.7) mm	TLMMF3515R	
Lamina Rigida	1 Blister	ESSICCATA	35x35x (1.0) mm	TLMM35R	
Special	1 Blister	ESSICCATA	20x20x (0.2) mm	TSPX20	TSPX20E
Special	1 Blister	ESSICCATA	30x30x (0.2) mm		TSPX30E











Tecnoss s.r.l. è un'azienda innovativa ed attiva a livello globale impegnata nello sviluppo, nella produzione e nella documentazione scientifica di biomateriali xenogenici di alta qualità commercializzati nel mondo con i marchi Tecnoss® and OsteoBiol®.

Con oltre 20 anni di esperienza nel campo della ricerca, l'azienda utilizza un processo esclusivo e brevettato che garantisce allo stesso tempo sia la neutralizzazione delle componenti antigeniche ed il conseguente raggiungimento della biocompatibilità, che la preservazione della matrice collagenica naturale all'interno del biomateriale.

I prodotti Tecnoss® soddisfano i più alti standard qualitativi come ISO 13485 e leggi europee.

osteobiol.com

Tecnoss® s.r.l.

info@tecnoss.com www.tecnoss.com DISTRIBUITO DA

Roen s.a.s.

info@roen.it - eventi@roen.it www.roen.it

DISTRIBUTORE ESCLUSIVO PER L'ITALIA

BIOMATERIALS ENGINEERING